

TUGAS AKHIR

**ANALISIS HIDROOCEANOGRafi SELAT SEGET
KABUPATEN SORONG**

***HYDROOCEANOGRAPHY ANAL YSIS OF SEGET STRAIT,
SORONG REGENCY***

**HIDAYAT
D111 16 314**



**PROGRAM SARJANA DEPARTEMEN TEKNIK SIPIL
FAKULTAS TEKNIK
UNIVERSITAS HASANUDDIN
2022**

LEMBAR PENGESAHAN (TUGAS AKHIR)

**ANALISIS HIDROOCEANOGRAFI SELAT SEGET
KABUPATEN SORONG**

Disusun dan diajukan oleh:

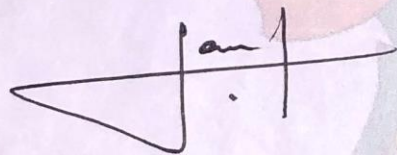
HIDAYAT

D111 16 314

Telah dipertahankan di hadapan Panitia Ujian yang dibentuk dalam rangka Penyelesaian
Studi Program Sarjana Program Studi Teknik Sipil Fakultas Teknik Universitas Hasanuddin
pada tanggal 5 Januari 2022
dan dinyatakan telah memenuhi syarat kelulusan

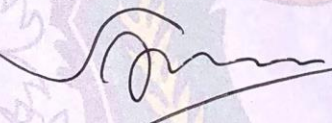
menyetujui,

Pembimbing I,

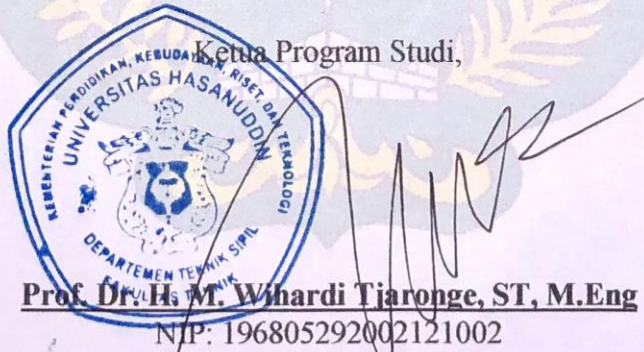


Dr. Eng. H. Farouk Maricar, ST, MT
NIP: 196410201991031002

Pembimbing II,



Silman Pongmanda, ST, MT
NIP: 197210102000031001



PERNYATAAN KEASLIAN KARYA ILMIAH

Yang bertanda tangan di bawah ini, nama Mukarramah Latief, dengan ini menyatakan bahwa skripsi yang berjudul "**ANALISIS HIDROOCEANOGRAFI SELAT SEGET KABUPATEN SORONG**", adalah karya ilmiah penulis sendiri, dan belum pernah digunakan untuk mendapatkan gelar apapun dan dimanapun.

Karya ilmiah ini sepenuhnya milik penulis dan semua informasi yang ditulis dalam skripsi yang berasal dari penulis lain telah diberi penghargaan, yakni dengan mengutip sumber dan tahun penerbitannya. Oleh karena itu semua tulisan dalam skripsi ini sepenuhnya menjadi tanggung jawab penulis. Apabila ada pihak manapun yang merasa ada kesamaan judul dan atau hasil temuan dalam skripsi ini, maka penulis siap untuk diklarifikasi dan mempertanggungjawabkan segala resiko.

Gowa, 29 Juni 2022

Yang membuat pernyataan,



Hidayat
NIM. D111 16 314

KATA PENGANTAR

Sebagai salah satu syarat untuk menyelesaikan studi dan memperoleh gelar Sarjana Teknik pada Departemen Teknik Sipil Fakultas Teknik Universitas Hasanuddin.

Dalam penyusunan tugas akhir ini penulis banyak mengalami hambatan, namun berkat bantuan, bimbingan dan kerjasama yangikhlas dari berbagai pihak, akhirnya tugas akhir ini dapat terselesaikan dengan baik. Untuk itu, dengan segala kerendahan hati penulis mengucapkan banyak terima kasih kepada:

1. Kedua orang tua tercinta, yaitu ayahanda Takdir Patandi dan ibunda Ratna Y atas kasih sayang dan segala dukungan selama ini, baik spiritual maupun materil karena penulis tidak akan mampu sampai di titik ini jika tanpa nasihat, motivasi dan do'a yang tiada hentinya terpanjatkan kepada Tuhan.
2. Bapak Prof. Dr. Eng Ir. Muhammad Isran Ramli, S.T., M.T. selaku Dekan Fakultas Teknik Universitas Hasanuddin Makassar
3. Bapak Prof. Dr. H. Muh. Wihardi Tjaronge, ST. M.Eng , selaku Ketua Departemen Sipil Fakultas Teknik Universitas Hasanuddin dan Bapak Dr. Eng. Ir. Bambang Bakri, S.T., M.T selaku Sekretaris Departemen Sipil Fakultas Teknik Universitas Hasanuddin.
4. Bapak Dr. Eng. Ir. H. Farouk Maricar, M.T. selaku dosen pembimbing I , atas segala arahan dan bimbingan serta waktu yang telah diluangkannya dari dan hingga terselesainya skripsi ini serta

mengajarkan kepada penulis tentang pentingnya kerja keras, gigih, dan teliti dalam mengerjakan sesuatu.

5. Bapak Ir. Silman Pongmanda, S.T., M.T. selaku dosen pembimbing II, yang telah meluangkan waktunya untuk memberikan bimbingan dan pengarahan mulai dari awal penelitian hingga terselesaikannya penulisan tugas akhir ini.
6. Bapak/Ibu Dosen Departemen Sipil Fakultas Teknik atas bimbingan, arahan, didikan, ilmu dan motivasi yang diberikan selama kurang lebih empat tahun perkuliahan.
7. Seluruh staf dan karyawan Departemen Sipil Fakultas Teknik Universitas Hasanuddin atas segala bantuannya selama penulis menempuh perkuliahan.
8. Teman seperjuangan selama perkuliahan Mega, Gian, Iyas, Niels, Rangga, Celvyn, Jordi, Daniel, Rega, Ria, Faje yang senantiasa selalu ada dan setia membantu, selalu menemani dikala susah maupun senang, selalu memberikan dorongan dalam segala hal dan senantiasa memberikan motivasi kepada penulis dalam kehidupan sehari – hari maupun perkuliahan.
9. Teman-teman yang senantiasa memberikan semangat, dorongan, dan dukungan dalam penulisan Tugas Akhir, Mega, Gian, Iyas.
10. Saudara-saudariku seangkatan 2016 PATRON 2017 yang selalu menghadirkan canda tawanya, yang senantiasa memberikan

semangat dan dorongan, yang telah banyak membantu dalam hal apapun, dan telah mewarnai kehidupan perkuliahan.

11. Serta semua pihak yang tidak dapat penulis sebut satu persatu dengan semua bantuan, dan dukungan hingga terselesainya Tugas Akhir ini.

Tiada imbalan yang dapat diberikan penulis selain memohon kepada Tuhan Yang Maha Kuasa agar melimpahkan berkat-Nya kepada kita semua, Amin. Akhir kata penulis menyadari bahwa di dalam tugas akhir ini terdapat banyak kekurangan dan memerlukan perbaikan, sehingga dengan segala keterbukaan penulis mengharapkan masukan dari semua pihak. Semoga karya ini dapat bermanfaat bagi kita semua.

Gowa, 29 Juni 2021

Hidayat

HYDROOCEANOGRAPHIC ANALYSIS OF SEGET STRAIT, SORONG REGENCY

HIDAYAT

D111 16 314

Bachelor Degree Student of Civil Engineering Study Program
Faculty of Engineering, Hasanuddin University
Poros Malino Street Km 6
Bontomarannu, Gowa 92172, South Sulawesi, Indonesia
Email: hidayatpatandi97@gmail.com

Dr. Eng. Ir. H. Farouk Maricar, MT

Ir. Silman Pongmanda, ST,MT

ABSTRACT

When designing a building located on the coast, hydrooceanography must be included as supporting data in the design. This research was conducted to analyze the hydrooceanographic components, namely tides, waves and currents. In this research, the place of study is Seget Strait, Sorong Regency. Tide measurements obtained from this type are mixed tides, doubling daily, with the highest high tide of 251.93 cm and the lowest ebb of 106.37 cm with observations for 30 days and an interval of 1 hour. The results of bathymetric analysis of the waters of Seget Strait, Sorong Regency found the lowest depth from 0.398 m to the deepest 63,873 m. The results of tidal analysis showed that the LWS value was +0.00 at an altitude of 106.37 cm. The results of the analysis of the wave forecast based on wind speed data from the DEO Sorong Station show that the waves that may occur are coming from the south-west direction, with the results of the analysis of the wave height (H_s) = 0.727 meters, wave period (T) = 3.620 seconds, breaking wave height (H_b) = 0.798 meters, breaking wave depth (D_b) = 1.021 meters and current speed = 1.6367 m/second. Currents occurring during spring tides on the results of flow velocity measurements from flowmeters range from 0.1 m/s to 0.4 m/s, while currents occurring at neap tides on flow velocity measurements from flowmeters range from 0.1 m/s up to 0.3 m/s. Bathymetric analysis of the waters of the Seget Strait, Sorong Regency revealed the lowest depth of 0.398m to the deepest 63,873m. The results of the tidal analysis showed that the LWS value was +0.00 at an altitude of 106 .37 cm.

Keywords : *hydrooceanography, Bathymetric, Tides, Wave Forecast*

ANALISIS HIDROOCEANOGRAFI SELAT SEGET

KABUPATEN SORONG

HIDAYAT

D111 16 314

Mahasiswa S1 Departemen Teknik Sipil

Jurusan Teknik Sipil Fakultas Teknik Universitas Hasanuddin

Jl. Poros Malino Km. 6 Bontomarannu, Gowa 92172,Sulawesi Selatan

Email: hidayatpatandi97@gmail.com

Dr. Eng. Ir. H. Farouk Maricar, MT

Ir. Silman Pongmanda, ST,MT

ABSTRAK

Dalam hal merekayasa suatu bangunan yang berada di pesisir pantai maka haruslah diperhatikan hidrooceanografi sebagai data pendukung dalam perencanaannya. Penelitian ini dilakukan untuk menganalisis komponen hidrooceanografi yaitu pasang surut, gelombang dan arus. Pada penelitian ini lokasi studi adalah Selat Seget Kabupaten Sorong. Pengukuran pasang surut didapat dengan tipe adalah Pasang Surut Campuran Condong ke Harian Ganda dengan pasang tertinggi 251,93 cm dan surut terendah 106,37 cm dengan pengamatan selama 30 hari dan interval selama 1 jam. Hasil analisis bathimetri perairan Selat Seget Kabupaten Sorong diperoleh kedalaman terendah 0,398 m hingga terdalam 63,873 m. Hasil analisa pasang surut diperoleh nilai LWS +0,00 berada pada elevasi 106,37 cm peilschaal. Hasil analisis peramalan gelombang berdasarkan data kecepatan angin Stasiun DEO Sorong diperoleh bahwa gelombang yang dapat terjadi berasal dari arah Barat Daya dengan hasil analisis tinggi gelombang (H_s) = 0,727 meter, periode gelombang (T) = 3,620 detik, tinggi gelombang pecah (H_b) = 0,798 meter, kedalaman gelombang pecah (D_b) = 1.021 meter, dan kecepatan arus = 1,6367 m/detik. Arus yang terjadi saat spring tide pada hasil pengukuran kecepatan arus current meter berkisar antara 0,1 m/dt hingga 0,4 m/dt sedangkan arus yang terjadi saat neap tide pada hasil pengukuran kecepatan arus current meter berkisar antara 0,1 m/dt hingga 0,3 m/dt. Hasil analisis bathimetri perairan Selat Seget Kabupaten Sorong diperoleh kedalaman terendah 0,398 m hingga terdalam 63,873 m. Hasil analisa pasang surut diperoleh nilai LWS +0,00 berada pada elevasi 106,37 cm peilschaal.

Kata kunci : *Hidrooceanografi, Bathimetri, Pasang Surut, Peramalan Gelombang*

DAFTAR ISI

LEMBAR PENGESAHAN	ii
PERNYATAAN KEASLIAN KARYA ILMIAH.....	ii
KATA PENGANTAR	iv
ABSTRACT	vii
ABSTRAK	ix
DAFTAR ISI.....	xi
DAFTAR GAMBAR	xiii
DAFTAR TABEL	xv
BAB 1. PENDAHULUAN.....	1
1.1. Latar Belakang	1
1.2. Rumusan Masalah	2
1.3. Tujuan Penelitian	2
1.4. Manfaat Penelitian	3
1.5. Batasan Masalah	3
1.6. Sistematika Penulisan.....	4
BAB 2. TINJAUAN PUSTAKA.....	6
2.1. Tinjauan Umum.....	6
2.2. <i>Hidrooceanografi</i>	8

BAB 3. METODE PENELITIAN.....	29
3.1. Lokasi Penelitian	29
3.2. Survey Bathimetri.....	29
3.3. Pengukuran Pasang Surut	36
BAB 4. HASIL DAN PEMBAHASAN	41
4.1. Pengamatan Pasang Surut	41
4.2. Survey Bathimetri.....	49
4.2.1. Perhitungan Kedalaman Dasar Laut Berdasarkan Hasil Survey Bathimetri	
51	
4.3. Survey Pengukuran Arus	54
4.4. Peramalan Gelombang	58
4.4.1. Distribusi Arah dan Kecepatan Angin.....	58
4.4.2. Perhitungan Panjang Fetch Efektif.....	69
4.4.3. Analisis Peramalan Gelombang.....	72
BAB 5. KESIMPULAN DAN SARAN	79
5.1. KESIMPULAN	79
5.2. SARAN.....	79
DAFTAR PUSTAKA.....	80
LAMPIRAN	81
Lampiran 1 Data Bathimetri.....	81
Lampiran 2 Hasil Perhitungan Kedalaman Dasar Laut.....	103

DAFTAR GAMBAR

Gambar 1. Elevasi Muka Air Rencana (Teknik Pantai, 1999)	11
Gambar 2. <i>Wave set-up dan wave set-down</i>	12
Gambar 3. <i>Wind rose</i>	17
Gambar 4. Hubungan antara kecepatan angin di laut dan darat (Teknik Pantai, 1999).....	18
Gambar 5. Definisi dan karakteristik gelombang di daerah pantai (Teknik Pantai, 1999).....	20
Gambar 6. Grafik peramalan gelombang (Dasar-dasar Perencanaan Bangunan Pantai, 1992)	23
Gambar 7. Grafik SMB.....	24
Gambar 8. Lokasi Penelitian	29
Gambar 9. Metode pembacaan koordinat horizontal dan kedalaman laut	33
Gambar 10. Lintasan pemeruman	33
Gambar 11. Diagram Alir Prosedur Penelitian	40
Gambar 12. Grafik tunggang pasut.....	43
Gambar 13. Ilustrasi identifikasi LWS Benchmark 2 dan koreksi terhadap peilschaal	48
Gambar 14. Grafik pengkoreksi pengamatan pembacaan muka air terhadap hasil pelaksanaan pemeruman	51
Gambar 15. Peta Bathimetri.....	53
Gambar 16. Vektor kecepatan arus tanggal 29 April 2021 (spring tide)...	56
Gambar 17. Vektor kecepatan arus tanggal 23 April 2021 (neap tide)	57

Gambar 18. Mawar Angin Bulan Januari-Juni	61
Gambar 19. Mawar Angin Bulan Juli-Desember.....	62
Gambar 20. Mawar Angin maksimum bulanan tahun 2007-2020, Stasiun Meteorologi Kelas 1 DEO Sorong	64
Gambar 21. Mawar Angin Pengamatan Selama 30 hari.....	65
Gambar 22. Garis Fetch untuk dari arah Barat Daya.....	70
Gambar 23. Ilustrasi arah yang memiliki tinggi dan periode dianggap bernilai 0	75

DAFTAR TABEL

Table 1. Data Persentasi kejadian angin di Kemayoran tahun 1974-1985
	17
Table 2. Tabel Peramalan Gelombang Periode Ulang Metode.....	27
Table 3. Data Pengamatan Pasang Surut	42
Table 4. Konstanta Pasang Surut	43
Table 5. Nilai tunggang pasang surut	47
Table 6. Pembacaan muka air pada peilschaal dengan interval 5 menit selama pelaksanaan pemeruman	50
Table 7. Data pengukuran arus dengan current meter pada saat Spring Tide	54
Table 8. Data pengukuran arus dengan current meter pada saat Neap Tide	55
Table 9. Skala Angin Beaufort (Sir Francis Beaufort U.K. Royal Navy, 1805).....	59
Table 10. Prosentase Frekuensi Kejadian Angin Maksimum bulanan selama 14 tahun pada Stasiun Meteorologi Kelas 1 DEO Sorong	60
Table 11. Hasil analisa kecepatan dan arah mata angin terkoreksi pada ketinggian 10 meter (U10).....	67
Table 12. Hasil analisa kecepatan dan arah mata angin laut terkoreksi dari angin darat (U)	67

Table 13. Hasil analisa kecepatan dan arah mata angin laut untuk peramalan gelombang (UA)	68
Table 14. Analisis panjang fetch arah angin Barat Daya	71
Table 15. Tinggi Gelombang Signifikan (H_s = meter) Tahun 2007 – 2020	76
Table 16. Periode Gelombang Signifikan (T = detik) Tahun 2007 – 2020	76
Table 17. Panjang dan arah Rambat Gelombang Signifikan (L = meter) Tahun 2007 - 2020.....	77
Table 18. Tinggi Gelombang Pecah (H_B = meter) Tahun 2007 - 2020....	77
Table 19. Kedalaman Gelombang Pecah (d_B = meter) Tahun 2007 - 2020	78
Table 20. Kecepatan Arus Sejajar Pantai (V = m/s) Tahun 2007 - 2020..	78
Table 21. Data bathimetri.....	81
Table 22. Hasil perhitungan kedalaman dasar laut	103

BAB 1. PENDAHULUAN

1.1. Latar Belakang

Kabupaten Sorong merupakan salah satu daerah di provinsi Papua Barat yang memiliki wilayah perairan laut. Oleh karena itu memerlukan adanya pintu gerbang bagi transportasi moda penghubung laut yang memadai untuk menunjang aktivitas distribusi barang dan memperlancar roda perekonomian.

Seiring dengan meningkatnya kebutuhan bahan bakar minyak maka untuk menjaga kelancaran supply bahan bakar minyak dari Kabupaten Sorong, maka perlu dipertimbangkan untuk membangun *Jetty* sebagai tempat bersandarnya kapal.

Informasi hidrooceanografi suatu perairan sangatlah dibutuhkan dalam perencanaan bangunan *Jetty*, hal ini akan memberikan besaran tinggi dan periode gelombang serta arah arus dan perbedaan pasang dan surut.

Fenomena pasang surut adalah naik turunnya muka laut secara berulang dengan periode tertentu akibat adanya gaya tarik benda-benda angkasa terutama matahari dan bulan terhadap massa air di bumi. Pasang surut merupakan hasil dari gaya tarik gravitasi dan efek sentrifugal.

Arus laut juga diartikan sebagai pergerakan mengalir suatu massa air yang dikarenakan tiupan angin, beda densitas atau pergerakan gelombang yang panjang.

Gelombang dapat menimbulkan energi untuk membentuk pantai, menimbulkan arus dan transport sedimen dalam arah tegak lurus dan sepanjang pantai serta menyebabkan gaya-gaya yang bekerja pada bangunan pantai

Atas dasar pemikiran di atas, maka penulis bermaksud untuk melakukan penelitian tugas akhir dengan judul “ **ANALISIS HIDROOCEANOGRAFI SELAT SEGET KABUPATEN SORONG** ”

1.2. Rumusan Masalah

Perumusan masalah dalam penelitian ini dapat diuraikan sebagai berikut :

1. Bagaimana hasil survey bathimetri dan pengamatan pasang surut Selat Seget
2. Bagaimana kondisi gelombang di Selat Seget Kabupaten Sorong berdasarkan data kecepatan angin Stasiun DEO Sorong

1.3. Tujuan Penelitian

Berdasarkan rumusan masalah tersebut di atas, maka penelitian ini bertujuan untuk :

1. Analisis hasil survey bathimetri dan pengamatan pasang surut Selat Seget Kabupaten Sorong
2. Analisis kondisi gelombang di Selat Seget Kabupaten Sorong berdasarkan data kecepatan angin Stasiun DEO Sorong

1.4. Manfaat Penelitian

Berdasarkan penelitian yang dilakukan, diharapkan manfaat yang akan diperoleh sebagai berikut:

1. Dapat mengetahui hasil survey bathimetri dan pengamatan pasang surut Selat Seget kabupaten Sorong
2. Dapat mengetahui kondisi gelombang di Selat Seget Kabupaten Sorong berdasarkan data kecepatan angin Stasiun DEO Sorong

1.5. Batasan Masalah

Dalam melakukan penelitian ini, ditetapkan beberapa batasan terhadap tinjauan yang dilakukan agar tidak menyimpang dari tujuan yang akan dicapai. Adapun batasan masalah sebagai berikut:

1. Penelitian ini dilakukan pada perairan Selat Seget untuk menganalisis data hidrooceanografi
2. Data gelombang yang digunakan adalah data yang diambil dari data angin (arah dan kecepatan) yang bersumber dari Badan Meteorologi, Klimatologi dan Geofisika, Stasiun Meteorologi Kelas 1 DEO Sorong.

1.6. Sistematika Penulisan

Dalam penulisan tugas akhir ini penulis mencoba mengikuti aturan penulisan karya ilmiah yang benar, dan mencoba membagi isi dari tugas akhir ini dalam bentuk bab-bab yang merupakan pokok-pokok uraian masalah penelitian yang disusun secara sistematis. Isi per-bab secara garis besar sebagai berikut :

BAB I PENDAHULUAN

Bab ini menguraikan latar belakang masalah, rumusan masalah, maksud dan tujuan penulisan, batasan masalah, dan sistematika penulisan.

BAB II TINJAUAN PUSTAKA

Bab ini menguraikan teori-teori yang berasal dari buku-buku maupun dari tulisan-tulisan lain yang mendukung pencapaian tujuan penelitian dan teori yang mendukung penemuan jawaban dari rumusan masalah.

BAB III METODOLOGI PENELITIAN

Bab ini menguraikan secara rinci tentang tentang metode, bahan penelitian, peralatan penelitian, dan cara pengujian yang dilakukan.

BAB IV HASIL DAN PEMBAHASAN

Bab ini menguraikan hasil penelitian dan pengolahan data serta pembahasannya.

BAB V PENUTUP

Bab ini memberikan kesimpulan dari hasil penelitian secara singkat dan jelas sebagai jawaban dari masalah yang diangkat dalam penelitian serta

memberikan saran-saran sehubungan dengan analisis yang telah dilakukan.

BAB 2. TINJAUAN PUSTAKA

2.1. Tinjauan Umum

Daerah daratan adalah daerah yang terletak di atas dan di bawah permukaan daratan dimulai dari batas garis pasang tertinggi. Daerah lautan adalah daerah yang terletak di atas dan di bawah permukaan laut dimulai dari sisi laut pada garis pasang surut terendah, termasuk dasar laut dan bagian bumi di bawahnya. Garis pantai adalah garis batas pertemuan antara daratan dan air laut, dimana posisinya tidak tetap dan dapat berpindah sesuai dengan pasang surut air laut dan erosi pantai yang terjadi. Sempadan pantai adalah kawasan tertentu sepanjang pantai yang mempunyai manfaat penting untuk mempertahankan kelestarian fungsi pantai. Kriteria sempadan pantai adalah daratan sepanjang tepian yang lebarnya sesuai dengan bentuk dan kondisi fisik pantai, minimal 100 m dari titik pasang tertinggi ke arah daratan.

Ada dua istilah tentang kepantaian dalam bahasa Indonesia yang sering rancu pemakaiannya, yaitu pesisir (*coast*) dan pantai (*shore*). Pesisir adalah daerah darat di tepi laut yang masih mendapat pengaruh laut seperti pasang surut, angin laut, dan perembesan air laut. Sedang pantai adalah daerah di tepi perairan yang dipengaruhi oleh air pasang tertinggi dan air surut terendah.

Pantai selalu menyesuaikan bentuk profilnya sedemikian rupa sehingga menghancurkan energi gelombang yang datang. Penyesuaian

tersebut merupakan tanggapan dinamis pantai terhadap gerak gelombang, yang dibedakan menjadi dua tipe yaitu tanggapan terhadap kondisi gelombang normal dan tanggapan terhadap kondisi gelombang badai. Selain itu bahwa proses dinamis pantai ini sangat dipengaruhi oleh pergerakan sedimen di daerah dekat pantai oleh gelombang dan arus.

Kondisi gelombang normal terjadi dalam waktu yang lebih lama, dan energi gelombang dengan mudah dapat dihancurkan oleh mekanisme pertahanan alami pantai. Pada saat badai terjadi gelombang yang mempunyai energi besar, sering pertahanan alami pantai tidak mampu menahan serangan gelombang sehingga pantai dapat tererosi. Setelah gelombang besar reda, pantai akan kembali ke bentuk semula oleh pengaruh gelombang normal. Tetapi ada kalanya pantai yang tererosi tersebut tidak kembali ke bentuk semula karena material pembentuk pantai terbawa arus ke tempat lain dan tidak kembali ke lokasi semula. Dengan demikian pantai tersebut mengalami erosi. Material yang terbawa arus tersebut di atas akan mengendap di daerah yang lebih tenang, seperti di muara sungai, teluk, pelabuhan, dan sebagainya sehingga mengakibatkan sedimentasi atau akresi di daerah tersebut. Perubahan garis pantai yang berupa akresi maupun abrasi dipengaruhi dua faktor utama yaitu faktor aktif yang berupa parameter hidro- oseanografi serta faktor pasif yang berupa geomorfologi pantai

2.2. *Hidrooceanografi*

Tinjauan hidrooceanografi adalah menyangkut tinjauan pengaruh hidrodinamika perairan laut. Parameter utama yang biasanya diperhitungkan adalah pasang surut, gelombang dan angin.

2.2.1. Pasang Surut

Pasang surut adalah fluktuasi muka air laut karena adanya gaya tarik benda-benda di langit, terutama matahari dan bulan terhadap massa air laut di bumi. Gaya tarik menarik ini tergantung dari jarak bumi dengan benda langit dan massa benda langit itu sendiri. Jadi, meskipun massa bulan jauh lebih kecil dari massa matahari, tetapi karena jaraknya terhadap bumi jauh lebih dekat maka pengaruh gaya tarik bulan terhadap bumi lebih besar daripada pengaruh gaya tarik matahari. Pasang surut merupakan faktor penting dari geomorfologi pantai, dalam hal ini berupa perubahan teratur muka air laut sepanjang pantai dan arus yang dibentuk oleh pasang. Selain itu pengetahuan tentang pasang surut adalah penting di dalam perencanaan bangunan pantai, pelabuhan dan vegetasinya. Proses akresi dan abrasi pantai terjadi selama adanya pasang dan adanya aksi gelombang balik yang mempengaruhi siklus pasang.

Bentuk pasang surut di berbagai daerah tidak sama. Menurut Bambang Triadmodjo (1999) pasang surut yang terjadi di berbagai daerah dibedakan menjadi empat tipe yaitu :

a. Pasang surut harian ganda (*semi diurnal tide*)

Pasang surut tipe ini adalah dalam satu hari terjadi dua kali air pasang dan dua kali air surut dengan tinggi yang hampir sama dan pasang surut terjadi secara berurutan dan teratur. Periode pasang surut rata-rata adalah 12 jam 24 menit

b. Pasang surut harian tunggal (*diurnal tide*)

Pasang surut tipe ini apabila dalam satu hari terjadi satu kali air pasang dan satu kali air surut dengan periode pasang surut 24 jam 50 menit.

c. Pasang surut campuran condong ke harian ganda (*mixed tide prevailing diurnal*)

Pasang surut tipe ini apabila dalam satu hari terjadi dua kali air pasang dan dua kali air surut, tetapi tinggi dan periodenya berbeda.

d. Pasang surut campuran condong ke harian tunggal (*mixed tide prevailing diurnal*)

Pada tipe ini dalam satu hari terjadi satu kali air pasang dan satu kali air surut, tetapi kadang-kadang untuk sementara waktu terjadi dua kali pasang dan dua kali surut dengan tinggi dan periode yang sangat berbeda.

Mengingat elevasi muka air laut selalu berubah setiap saat, maka diperlukan suatu elevasi yang ditentukan berdasarkan data pasang surut

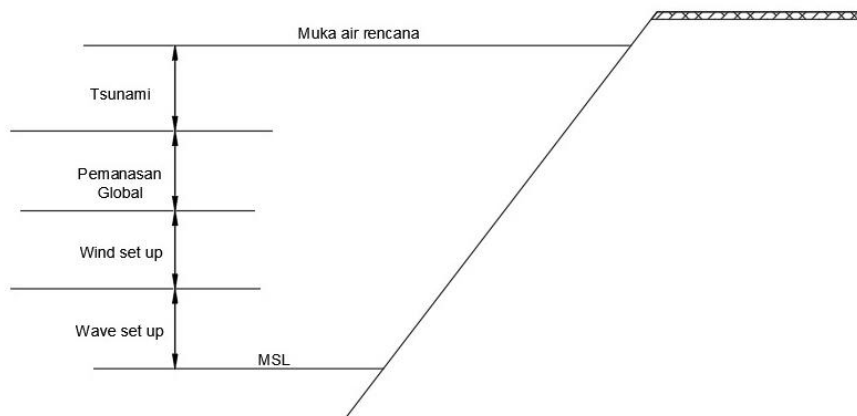
yang dapat digunakan sebagai pedoman di dalam perencanaan suatu bangunan pantai. Beberapa elevasi tersebut adalah sebagai berikut :

- a. Muka air tinggi (*high water level*), yaitu muka air tertinggi yang dicapai pada saat air pasang dalam satu siklus pasang surut
- b. Muka air rendah (*low water level*), yaitu muka air terendah yang dicapai pada saat air surut pada satu siklus pasang surut.
- c. Muka air tinggi rata-rata (*mean high water level*, MHWL), yaitu rata-rata dari muka air tinggi selama periode 19 tahun.
- d. Muka air rendah rata-rata (*mean low water level*, MLWL), yaitu rata-rata dari muka air rendah selama periode 19 tahun.
- e. Muka air laut rata-rata (*mean sea level*, MSL), yaitu muka air rata-rata antara muka air tinggi rata-rata dan muka air rendah rata-rata. Elevasi ini digunakan sebagai referensi untuk elevasi di daratan.
- f. Muka air tinggi tertinggi (*highest high water level*, HHWL), yaitu muka air tertinggi pada saat pasang surut purnama dan pasang surut perbani.
- g. Muka air rendah terendah (*lowest low water level*, LLWL), yaitu muka air terendah pada saat pasang surut purnama dan pasang surut perbani.

Dalam perencanaan suatu bangunan pantai, penentuan muka air laut ditentukan berdasarkan pengukuran pasang surut selama minimal 15

hari. Hal ini disebabkan karena untuk mendapatkan data pengukuran pasang surut selama 19 tahun sulit dilakukan.

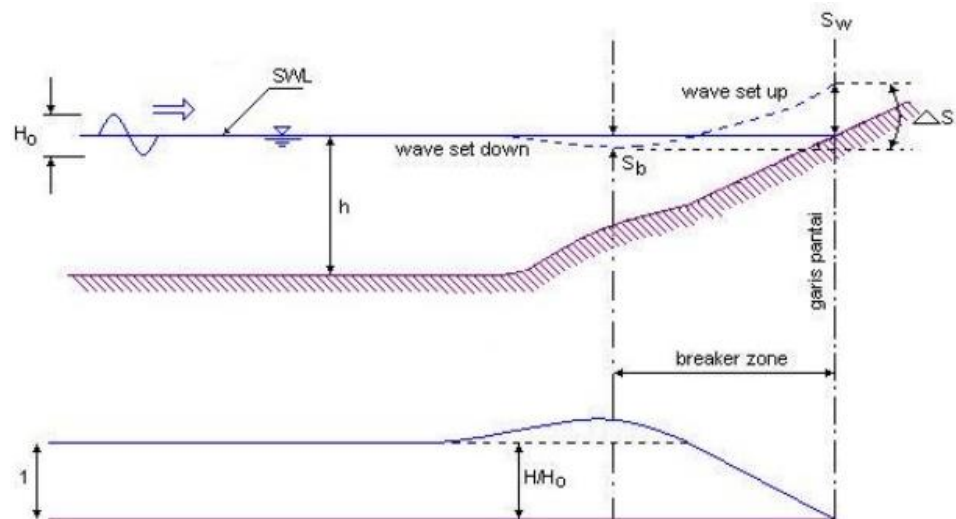
Untuk perencanaan suatu bangunan pantai maka harus ditentukan terlebih dahulu elevasi muka air laut rencana. Elevasi tersebut merupakan penjumlahan dari beberapa parameter. Parameter-parameter tersebut yaitu pasang surut, tsunami. *Wave set-up*, *wind set-up*, dan kenaikan muka air laut karena pemanasan global. Dalam kenyataan kemungkinan terjadi faktor-faktor tersebut secara bersamaan adalah sangat kecil. Oleh karena itu beberapa parameter tersebut dapat digabungkan. Gambar 1. menunjukkan elevasi muka air rencana yang diakibatkan parameter-parameter tersebut di atas.



Gambar 1. Elevasi Muka Air Rencana (Teknik Pantai, 1999)

1. Wave set-up

Gelombang yang datang dari laut menuju pantai menyebabkan fluktuasi muka air di daerah pantai terhadap muka air diam. Pada waktu gelombang pecah akan terjadi penurunan elevasi muka air rerata terhadap elevasi muka air diam disekitar lokasi gelombang pecah. Kemudian dari titik dimana gelombang pecah permukaan air rerata miring ke atas ke arah pantai. Turunnya muka air disekitar lokasi gelombang pecah tersebut akan dikenal sebagai *wave set-down*, sedang naiknya muka air di pantai akibat fluktuasi gelombang disebut *wave set-up* seperti pada gambar 2.



Gambar 2. *Wave set-up dan wave set-down*

Untuk mencari faktor *wave set-up* dapat dihitung dengan menggunakan persamaan 2.1., 2.2., dan 2.3. berikut :

$$S_w = \Delta S - S_b \quad (2.1)$$

$$\Delta S = 0,15 \text{ db} \quad (2.2)$$

$$Sb = - \frac{0.536 Hb^{2/3}}{g^{1/2} T} \quad (2.3)$$

Dengan memasukkan persamaan 2.2. dan 2.3. ke dalam persamaan 2.1. maka akan didapat persamaan 2.4. berikut :

$$Sw = 0,19 \left[1 - 2.82 \sqrt{\frac{Hb}{gT^2}} \right] Hb \quad (2.4)$$

Dimana ;

Sw : kenaikan muka air karena *wave set-up* (m)

ΔS : perbedaan elevasi antara *wave set-up* dan *wave set-down* (m)

Sb : penurunan muka air karena *wave set-down* (m)

T : periode gelombang (dt)

Hb : tinggi gelombang pecah (m)

db : kedalaman gelombang pecah (m)

g : percepatan gravitasi ($9,8 \text{ m/dt}^2$)

2. *Wind set-up*

Angin dengan kecepatan besar (badai) yang terjadi di atas permukaan air laut bisa membangkitkan fluktuasi muka air laut yang besar disepanjang pantai jika badai tersebut cukup kuat dan daerah pantai dangkal dan luas. Naiknya muka air laut yang disebabkan oleh angin di sepanjang pantai disebut dengan *wind set-up*. Kenaikan muka air laut Karen *wind set-up* dapat dihitung dengan menggunakan persamaan 2.5. berikut :

$$\Delta h = FC \frac{V^2}{2gd} \quad (2.5)$$

dimana ;

Δh : kenaikan muka air karena angin atau badai (m)

F : panjang fetch (m)

C : koefisien ($3,5 \times 10^{-6}$)

V : kecepatan angin maksimum (m/dt)

d : kedalaman air (m)

g : percepatan gravitasi ($9,8 \text{ m/dt}^2$)

2.2.2. Angin

Sirkulasi udara yang kurang lebih sejajar dengan permukaan bumi disebut angina. Gerakan udara ini disebabkan oleh perubahan temperatur atmosfer. Pada waktu udara dipanasi, rapat massanya berkurang yang berakibat naiknya udara tersebut yang kemudian diganti oleh udara yang lebih dingin disekitarnya. Perubahan temperatur di atmosfer disebabkan oleh perbedaan penyerapan panas oleh tanah dan air, atau perbedaan panas di gunung dan lembah, atau perubahan yang disebabkan oleh siang dan malam, atau perbedaan suhu pada belahan bumi bagian utara dan selatan karena adanya perbedaan musim dingin dan panas. Daratan lebih cepat menerima panas daripada air (laut) dan sebaliknya daratan juga lebih cepat melepaskan panas. Oleh karena itu pada waktu siang hari daratan lebih panas daripada laut. Udara di atas daratan akan naik dan diganti oleh udara dari laut, sehingga terjadi angin laut. Sebaliknya, pada waktu malam hari daratan lebih dingin daripada laut, udara di atas

laut akan naik dan diganti oleh udara dari daratan sehingga terjadi angin darat.

Angin yang berhembus di atas permukaan air akan memindahkan energinya ke air. Kecepatan angin akan menimbulkan tegangan pada permukaan air laut, sehingga permukaan air yang semula tenang akan terganggu dan timbul riak gelombang kecil di atas permukaan air. Apabila kecepatan angin bertambah, riak tersebut menjadi semakin besar, dan apabila angin berhembus terus akhirnya akan terbentuk gelombang. Semakin lama dan semakin kuat angin berhembus, semakin besar gelombang yang terbentuk. Arah angina masih bisa dianggap konstan apabila perubahannya tidak lebih dari 15° dan perubahan kecepatan angin tidak lebih dari 5 knot (2,5 m/dt) terhadap kecepatan rerata.

Data angin yang digunakan untuk peramalan gelombang adalah data di permukaan laut pada lokasi pembangkitan. Data dapat diperoleh dari pengukuran langsung di atas permukaan laut atau pengukuran di darat di dekat lokasi peramalan yang kemudian dikonversi menjadi data angin di laut. Kecepatan angin diukur dengan *anemometer*, dan biasanya dinyatakan dalam knot dimana $1 \text{ knot} = 1,852 \text{ km/jam} = 0,514 \text{ m/dt}$. Data angin dicatat tiap jam dan biasanya disajikan dalam bentuk table seperti dalam table 4 dengan pencatatan angin jam-jaman tersebut akan dapat diketahui angin dengan kecepatan tertentu dan durasinya, kecepatan

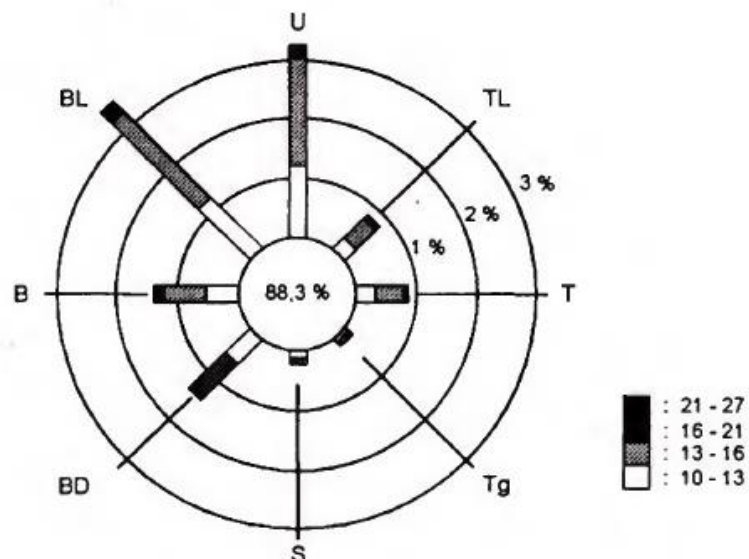
angin maksimum, arah angin dan dapat pula dihitung kecepatan angin rerata harian.

Jumlah data angin seperti yang ditunjukkan dalam tabel untuk beberapa tahun pengamatan adalah sangat besar. Untuk itu data tersebut harus diolah dan disajikan dalam bentuk tabel (ringkasan) atau diagram yang disebut dengan Mawar angin (*Wind rose*). Penyajian dapat diberikan dalam bentuk bulanan, tahunan, atau untuk beberapa tahun pencatatan. Dengan tabel atau mawar angin tersebut maka karakteristik angin dapat dibaca dengan cepat dan akurat. Tabel 1.. adalah contoh penyajian data angin dalam bentuk tabel dari pencatatan angin di Lapangan Terbang kemayoran selama 11 tahun (1974-1985). Sedang gambar 3. adalah contoh mawar angin yang dibuat berdasarkan data dalam tabel 1.

Tabel 1 dan gambar 3 tersebut menunjukkan persentasi kejadian angin dengan kecepatan tertentu dari berbagai arah dalam periode waktu pencatatan. Sebagai contoh, persentasi kejadian angin dengan kecepatan 10-13 knot dari arah utara adalah 1,23% dari 11 tahun pencatatan. Dalam gambar tersebut garis-garis radial adalah arah angin dan tiap lingkaran menunjukkan persentasi kejadian angin dalam periode waktu pengukuran.

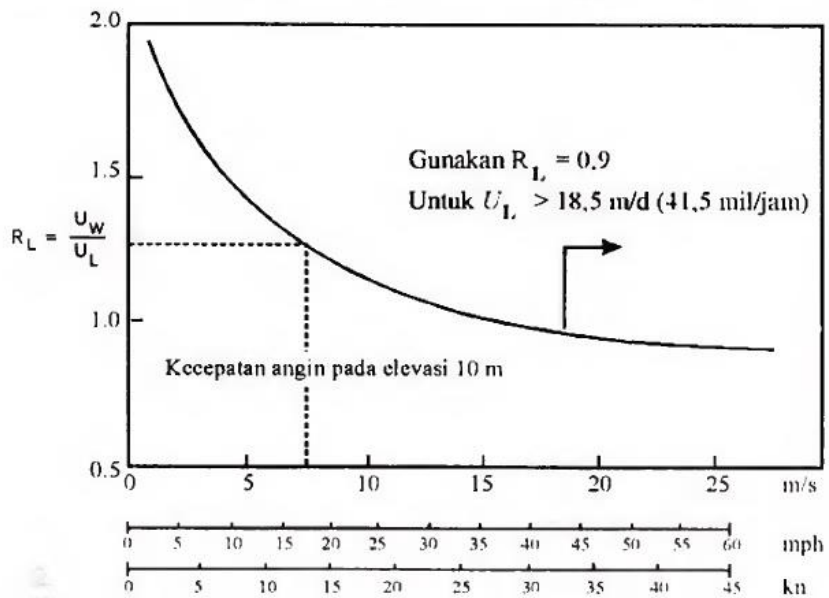
Table 1. Data Persentasi kejadian angin di Kemayoran tahun 1974-1985

Kecepatan	Arah										
	U	T	T	Tg	S	BD	B	B			
0-10				0.88							
10-13	1.23	0.27	0.32	0.06	0.08	0.6	0.56	1.35			
13-16	1.84	0.4	0.48	0.08	0.13	0.7	0.7	2.03			
16-21	0.17	0.07	0.08	0.01	0.01	0.12	0.12	0.2			
21-27	0.01	-	-	-	-	0.03	0.03	-			



Gambar 3. Wind rose

Data angin diperlukan untuk peramalan tinggi dan periode gelombang. Hubungan antara angin di atas permukaan laut dengan angin di atas daratan diberikan oleh $R_L = U_w/U_L$ seperti dalam gambar 4.



Gambar 4. Hubungan antara kecepatan angin di laut dan darat (Teknik Pantai, 1999)

Rumus-rumus dan grafik-grafik pembangkitan gelombang mengandung variable U_A yaitu faktor tegangan angin (*wind stress factor*) yang dapat dihitung dari kecepatan angin. Setelah dilakukan berbagai konversi kecepatan angin, faktor tegangan angin dapat dihitung dengan persamaan 2.6. berikut :

$$U_A = 0,71 U^{1.23} \quad (2.6)$$

dimana ;

U_A : faktor tegangan angin

U : kecepatan angin (m/dt)

3. ***Fetch***

Di dalam tinjauan pembangkitan gelombang di laut, fetch di batasi oleh bentuk daratan yang mengelilingi laut. Di daerah pembentukan gelombang, gelombang tidak hanya dibangkitkan dalam arah yang sama dengan arah angin tetapi juga dalam berbagai sudut terhadap arah angin.

Fetch rata-rata efektif diberikan oleh persamaan 2.7. berikut :

$$F_{eff} = \frac{\Sigma X_i \cos \alpha}{\Sigma \cos \alpha} \quad (2.7)$$

dimana ;

F_{eff} : fetch rata-rata efektif

X_i : panjang segmen fetch yang diukur dari titik observasi gelombang

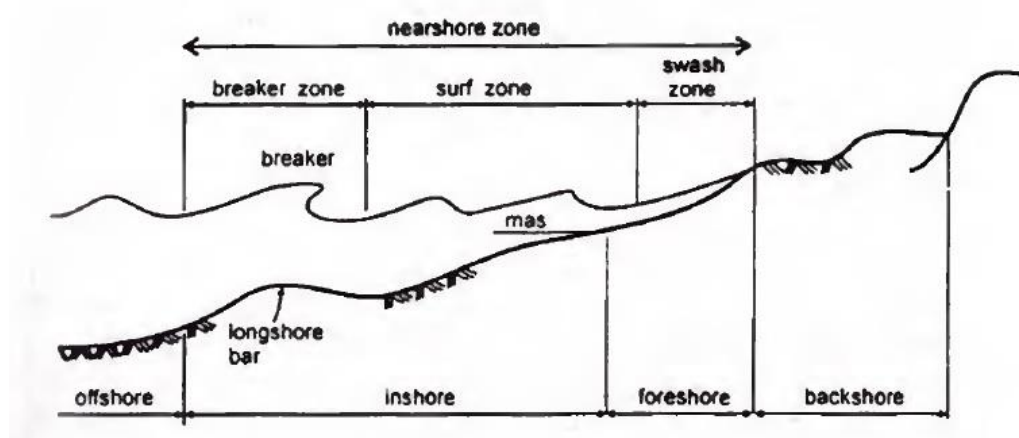
α : deviasi pada kedua sisi dari arah angin, dengan menggunakan pertambahan 6° sampai sudut sebesar 42° pada kedua sisi dari arah angin.

4. **Gelombang**

Gelombang adalah pergerakan naik turunnya air laut disepanjang permukaan air. Gelombang terjadi karena adanya angin yang bertiup di atas permukaan perairan yang menimbulkan gaya tekan ke bawah, gaya ini akan mendorong permukaan air menjadi lebih rendah dibandingkan dengan tempat di sekitarnya yang mengakibatkan ketidakseimbangan sehingga terjadi dorongan massa air yang lebih tinggi untuk mengisi tempat yang lebih rendah. Gelombang dapat juga menimbulkan energi untuk membentuk pantai, menimbulkan arus dan transport sedimen

dalam arah gerak lurus dan sepanjang pantai, serta menyebabkan gaya-gaya yang bekerja pada bangunan pantai. Proses tersebut akan berlangsung terus menerus sesuai dengan energi kecepatan angin yang menekannya. Gelombang merupakan faktor utama di dalam penentuan tata letak (*layout*) pelabuhan, alur pelayaran, perencanaan bangunan pantai dan sebagainya.

Gelombang yang merambat dari laut dalam menuju pantai mengalami perubahan bentuk karena pengaruh perubahan kedalaman laut. Berkurangnya kedalaman laut menyebabkan semakin berkurangnya panjang gelombang dan bertambahnya tinggi gelombang. Pada saat kemiringan gelombang (perbandingan antara tinggi dan panjang gelombang) mencapai batas maksimum, gelombang akan pecah. Gelombang yang telah pecah tersebut merambat terus ke arah pantai sampai akhirnya gelombang bergerak naik turun pada permukaan pantai (*uprush* dan *downrush*). Definisi yang berkaitan dengan karakteristik gelombang di daerah sekitar pantai disajikan dalam gambar 5.



Gambar 5. Definisi dan karakteristik gelombang di daerah pantai (Teknik Pantai, 1999)

Daerah dari garis gelombang pecah ke arah laut disebut dengan *offshore*. Sedang daerah yang terbentang ke arah pantai dari garis gelombang pecah dibedakan menjadi tiga daerah yaitu *breaker zone*, *surf zone* dan *swash zone*. Daerah gelombang pecah (*breaker zone*) adalah daerah dimana gelombang yang datang dari laut (lepas pantai) mencapai ketidakstabilan dan pecah. *Surf zone* adalah daerah yang terbentang antara bagian dalam dari gelombang pecah dan batas naik turunnya gelombang di pantai. Sedangkan *swash zone* adalah daerah yang dibatasi oleh garis batas tertinggi naikknya gelombang dan batas terendah turunnya gelombang di pantai.

Ditinjau dari profil pantai, daerah ke arah pantai dari garis gelombang pecah dibagi menjadi tiga daerah yaitu *inshore*, *foreshore* dan *backshore*. Perbatasan antara *inshore* dan *foreshore* adalah batas antara lain laut pada saat muka air rendah dan permukaan pantai. Proses gelombang pecah di daerah *inshore* sering menyebabkan terbentuknya *longshore bar*, yaitu gumpalan pasir yang memanjang dan kira-kira sejajar dengan garis pantai. *Foreshore* adalah daerah yang terbentang dari garis pantai pada saat muka air rendah sampai batas atas dari *uprush* pada saat air pasang tinggi. Profil pantai di daerah ini mempunyai kemiringan yang lebih curam daripada profil di daerah *inshore* dan *backshore*. *Backshore* adalah daerah yang dibatasi oleh *foreshore* dan garis pantai yang terbentuk pada saat terjadi gelombang badai bersamaan dengan muka air tinggi.

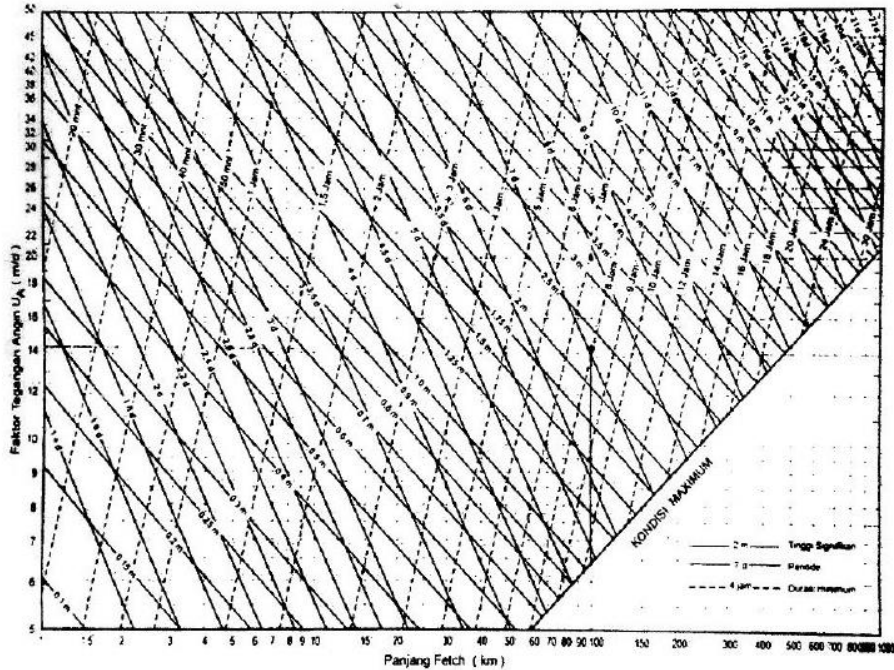
Penentuan besar gelombang dapat dilakukan dengan pengukuran langsung di lapangan atau menggunakan metode peramalan dengan memakai parameter tertentu. Pengukuran gelombang secara langsung jarang dilakukan karena besarnya tingkat kesulitan serta biaya yang tinggi. Oleh karena itu maka gelombang diramalkan dengan menggunakan data angin.

5. Peramalan Tinggi Gelombang

Dalam peramalan gelombang ini ada beberapa parameter yang digunakan, yaitu :

- a. Kecepatan angin (U) di permukaan laut
- b. Arah angin
- c. Panjang daerah pembangkitan angin (fetch)
- d. Lama hembus angin atau durasi angin

Dari parameter di atas dapat diramalkan tinggi gelombang (H) dan periode gelombang (T) yang terjadi dengan menggunakan gambar 6.



Gambar 6. Grafik peramalan gelombang (Dasar-dasar Perencanaan Bangunan Pantai, 1992)

Selain dengan menggunakan grafik di atas, besarnya tinggi gelombang dan periode gelombang juga dapat dicari dengan menggunakan formula-formula empiris berdasarkan spektrum gelombang pada persamaan 2.8., 2.9., dan 2.10. berikut.

$$\frac{gH_{mo}}{U_A^2} = 1,6 \cdot 10^{-3} \left(\frac{gF}{U_A^2} \right)^{\frac{1}{2}} \quad (2.8)$$

$$\frac{gT}{U_A} = 6,88 \cdot 10^{-1} \left(\frac{gF}{U_A^2} \right)^{\frac{1}{3}} \quad (2.9)$$

$$\frac{gT}{U_A} = 6,88 \cdot 10^{-1} \left(\frac{gF}{U_A^2} \right)^{\frac{2}{3}} \quad (2.10)$$

dimana ;

H_{mo} : tinggi gelombang signifikan (m)

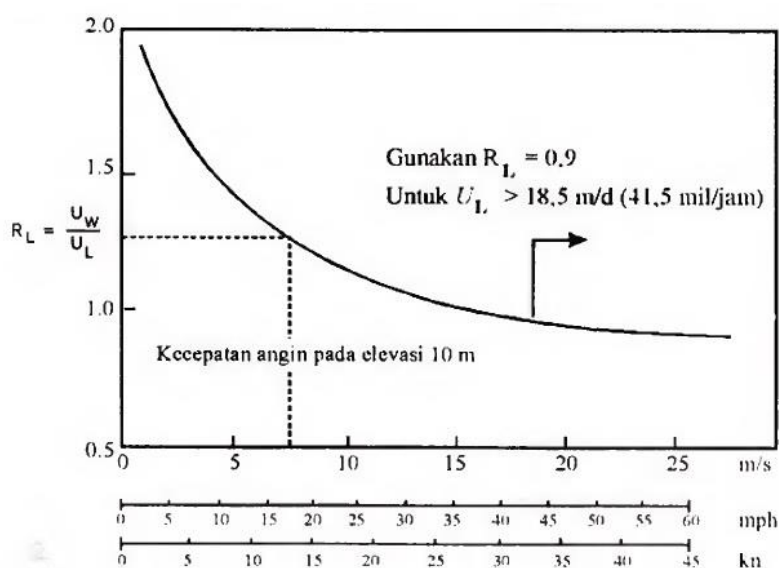
T_m : periode gelombang (m)

F : panjang fetch (m)

t : durasi angin (t)

U_A : faktor tekanan angin

Selain menggunakan cara di atas, periode dan tinggi gelombang dapat dicari dengan metode SMB yaitu dengan menggunakan grafik SMB yang terdapat pada gambar 7.



Gambar 7. Grafik SMB

Untuk keperluan perencanaan bangunan-bangunan pantai perlu dipilih tinggi dan periode gelombang individu (*individual wave*) yang dapat mewakili suatu spektrum gelombang. Gelombang tersebut dikenal dengan gelombang representatif. Apabila tinggi gelombang diurutkan dari nilai tertinggi ke terendah atau sebaliknya, maka akan dapat ditentukan tinggi H_n yang merupakan rata-rata dari n persen gelombang tertinggi.

Bentuk yang paling banyak digunakan adalah H_{33} atau nilai tertinggi dari 33% nilai tertinggi dari pencatatan gelombang yang juga disebut sebagai tinggi gelombang signifikan H_{sig} . sementara bentuk untuk mengetahui periode gelombang signifikan dapat digunakan persamaan 2.11., 2.12., dan 2.13. berikut

$$H_s = 0,24 \frac{U_{10}^2}{g} \quad (2.11)$$

$$\frac{U_{10}}{C_p} = 0,84 \quad (2.12)$$

$$T_p = 1,2 T_m \quad (2.13)$$

$$C_p = \frac{g}{2\pi} T_p \quad (2.14)$$

dimana ;

H_s : tinggi gelombang signifikan (m)

U_{10} : kecepatan angin sekitar 10 meter dari darat

g : percepatan gravitasi ($9,81 \text{ m/dt}^2$)

C_p : perubahan kecepatan puncak

T_p : periode gelombang puncak (dt)

T_m : periode gelombang signifikan (dt)

Gelombang yang menjalar dari laut dalam menuju pantai mengalami perubahan bentuk karena adanya pengaruh kedalaman laut. Di laut dalam profil gelombang adalah sinusoidal, semakin menuju ke perairan yang lebih dangkal puncak permukaan gelombang akan semakin tajam dan lembah gelombang semakin datar. Hal tersebut mengakibatkan terjadinya gelombang pecah karena gelombang tidak stabil. Kedalaman

gelombang pecah ini dapat dihitung dengan persamaan 2.15., 2.16., dan 2.17. di bawah ini

$$\frac{h_b}{H_b} = \frac{1}{C_2 - \left(\frac{C_1 H_b}{g T^2} \right)} \quad (2.15)$$

$$C_1 = 43,75 (1 - e^{-19m}) \quad (2.16)$$

$$C_2 = \frac{1,56}{(1 + e^{-19m})} \quad (2.17)$$

dimana :

h_b : kedalaman gelombang pecah (m)

H_b : ketinggian gelombang pecah (m)

T : periode gelombang (dt)

m : kemiringan pantai

2.2.5.1. Peramalan Tinggi Gelombang dengan periode Ulang Tertentu

Frekuensi gelombang-gelombang besar merupakan faktor yang mempengaruhi perencanaan bangunan pantai. Untuk menetapkan gelombang dengan periode ulang tertentu dibutuhkan data gelombang dalam jangka waktu pengukuran cukup panjang. Data tersebut bisa berupa data pengukuran gelombang atau data gelombang hasil prediksi berdasarkan data angin (Teknik Pantai, 1999). Pada studi ini peramalan tinggi gelombang dengan periode ulang tertentu dilakukan dengan Metode Weibull. Peramalan tinggi gelombang berdasarkan periode ulang dengan Metode Weibull dilakukan dengan menggunakan Tabel 2.

Table 2. Tabel Peramalan Gelombang Periode Ulang Metode

No Urt	H_{sm}	P	Y_m	$H_{sm} \cdot Y_{sm}$	Y_m^2	$(H_{sm} \cdot H_r)^2$	$H_{s_{\bar{m}}}$	$H_{s_m} - H_{s_{\bar{m}}}$

Sumber : *Teknik Pantai 1999*

Keterangan :

Kolom 1 = Nomor urut m

Kolom 2 = Gelombang yang diurutkan dari besar ke kecil sesuai kolom 1

Kolom 3 = P ($H_s[H_{sm}]$) dihitung dengan persamaan 2.18,

$$P(H_s \leq H_{sm}) = 1 - \frac{m-0,44}{N_{r+0,12}} \quad (2.18)$$

dimana :

P ($H_s[H_{sm}]$) : probabilitas tinggi gelombang representatif ke m yang tidak terlampaui

H_{sm} : tinggi gelombang urutan ke m (m)

M : Nomor urut tinggi gelombang signifikan

N_T : Jumlah kejadian selama pencatatan

Kolom 4 = Nilai y_m diperhitungkan dengan persamaan 2.19

$$y_m = -\ln \{-InF(H_s \leq H_{sm})\} \quad (2.19)$$

Kolom 5 dan 6 = Nilai yang digunakan untuk analisis regresi linier

guna menghitung parameter A dan B

Kolom 7 = digunakan menghitung deviasi standar gelombang signifikan

Kolom 8 = perkiraan tinggi gelombang yang dihitung dengan

persamaan linier yang dihasilkan

Kolom 9 = perbedaan antara H_{sm} dan \hat{H}_{sm} yaitu $H_{sm} - \hat{H}_{sm}$

Selanjutnya dihitung tinggi gelombang signifikan dengan beberapa periode ulang dilakukan menggunakan persamaan 2.20., 2.21., 2.22., dan 2.23. berikut

$$H_{sm} = (\hat{A} \times Y_r) + B \quad (2.20)$$

$$\hat{A} = \frac{n \sum H_{sm} Y_m - \sum H_{sm} \sum Y_m}{n \sum y_m^2 - (\sum Y_m)^2} \quad (2.21)$$

$$B = H_r - (\hat{A} \times Y_m) \quad (2.22)$$

$$y_r = - \left\{ -In \left(1 - \frac{1}{LT_r} \right) \right\} \quad (2.23)$$

Keterangan :

H_{sm} : tinggi gelombang berdasarkan kejadian ulang

Tr : periode ulang (tahun)

L : rerata jumlah kejadian per tahun $L = \frac{N_T}{K}$

BAB 3. METODE PENELITIAN

3.1. Lokasi Penelitian

Lokasi pelaksanaan Pekerjaan EPC Pembangunan Open Access di PT.Pertamina RU VII Kasim Sorong – Papua Barat adalah Kecamatan Seget, Kabupaten Sorong, Provinsi Papua Barat.



Gambar 8. Lokasi Penelitian

3.2. Survey Bathimetri

Sebelum pelaksanaan pengumpulan data lapangan dilakukan kalibrasi alat. Kalibrasi alat sounding dilakukan pada kolam dengan kedalaman 1 hingga 4 meter dengan membandingkan hasil pembacaan dengan pengukuran langsung. Hal ini dilakukan mengingat alat yang digunakan menggabungkan lokasi alat menurut satelit dan pembacaan kedalaman menggunakan echo sounding secara simultan dan menyimpan hasil pencatatan pada memori, bukan pada kertas bar check.

Pemeriksaan kondisi kapal motor, baik fisik kapal maupun motor penggerak. Kapal motor sebaiknya masih baru dan dalam kondisi yang baik, tidak terdapat kebocoran maupun rembesan air pada sisi dalam kapal.

Penetapan Bench Mark (BM) yang menjadi dasar penentuan koordinat dipilih yang memiliki identitas dan informasi lengkap (koordinat X,Y dan Z). BM yang digunakan hendaknya berada dalam atau dekat dengan lokasi pengukuran serta jauh dari gangguan dan kemungkinan perubahan akibat manusia atau alam. Pada lokasi studi dimana tidak terdapat BM yang dapat digunakan sebagai acuan/perbandingan, perlu dibangun BM dengan lokal atau menggunakan GPS dengan ketelitian baik untuk menentukan koordinatnya. Posisi titik ukur kedalaman dikendalikan dengan alat Global Positioning System (GPS) dan diikatkan ke suatu titik BM yang telah ditentukan di darat.

Peilschaal (papan duga muka air) dipasang pada tempat yang aman dari gangguan, tidak pernah kering dan mudah dibaca menggunakan alat theodolit/waterpass dan manual.

Elevasi papan duga dibaca menggunakan alat theodolit/waterpass dan diikatkan pada BM yang telah diketahui identitasnya yang ada pada lokasi survei. Pengamatan muka air pada peilschaal saat pelaksanaan pemeruman dengan interval 10 atau 15 menit.

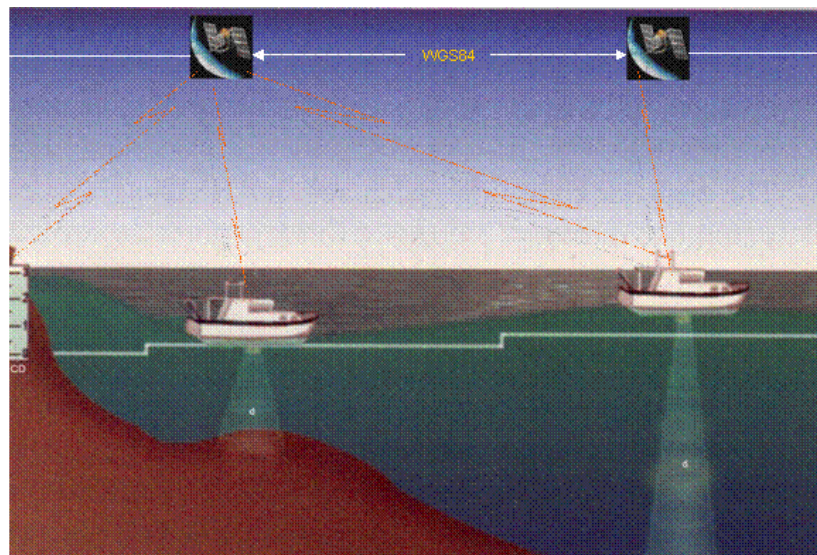
3.2.1. Pelaksanaan Pemeruman

Beberapa kegiatan yang dilakukan saat pelaksanaan pemeruman adalah:

- a. Pemerikasaan terhadap kondisi kapal, kondisi motor dan bahan bakar serta kelengkapan keselamatan termasuk jaket pelampung harus dikenakan oleh seluruh anggota tim.
- b. Setting peralatan di atas kapal motor. Sebelum kapal berangkat peralatan diletakkan pada tempat yang tepat. Untuk alat perekam data ditempatkan pada lokasi yang paling aman dari kemungkinan hembusan air. Transducer untuk memancarkan pulsa suara (sounding) dan penerima pantulan suara dari dasar pantai diletakkan pada tempat yang selalu terendam. Antena GPS ditempatkan pada lokasi paling tinggi dari kapal motor dan tanpa halangan (dapat digunakan tiang).
- c. Uji coba pengukuran pada lokasi yang tenang dan dapat dibandingkan hasilnya dengan papan skala atau alat pengukur kedalaman berupa handload yang dilengkapi pita ukur. Jika terdapat perbedaan maka perlu dicatat untuk koreksi.
- d. Pemeruman dilakukan dengan interval berkisar 15 m sampai 25 m, pemeruman dilakukan dengan lebih rapat pada posisi dekat dengan garis pantai, hal ini dilakukan dengan mengatur interval waktu pembacaan kedalaman dan kecepatan kapal motor tempel. Pemeruman yang lebih rapat pada daerah pantai dilakukan karena perencanaan bangunan pantai dan pelabuhan biasanya sangat dekat

dengan pantai sehingga perhitungan ketelitian dan volume pekerjaan bangunan akan lebih baik.

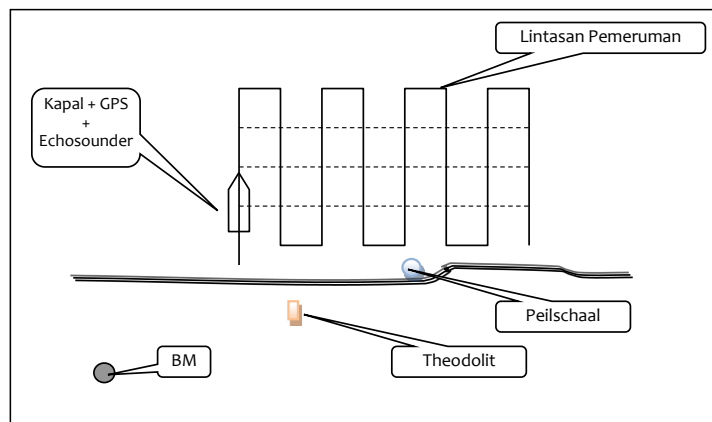
- e. Pada lokasi tertentu dilakukan pengukuran menggunakan handload dan pita ukur untuk mendapatkan data pembanding yang dapat digunakan sebagai bahan koreksi jika terjadi kesalahan.
- f. Daerah dangkal/dekat pinggir laut yang tidak dapat dijangkau dengan kapal sounding dan kedalaman tidak mencukupi, pengambilan data dilakukan dengan pengukuran sifat datar dan dikoreksi dengan elevasi pasang surut pada saat itu.
- g. Pencatatan terhadap muka air laut yang terbaca pada peilschaal dilakukan secara simultan dengan pelaksanaan pemeruman dengan interval waktu setiap 15 menit untuk mendapatkan koreksi elevasi kapal dan elevasi alat pemeruman.



Gambar 9. Metode pembacaan koordinat horizontal dan kedalaman laut

3.2.2. Haluan Pemeruman

Haluan pemeruman yang dilaksanakan semaksimal mungkin tegak lurus dengan garis air tepi laut atau antar lintasan sejajar serta dikontrol menggunakan alat theodolit dan alat komunikasi. Pada daerah di darat yang mudah terlihat dari kapal/sekoci ditempatkan patok-patok dengan bendera untuk membantu pengemudi kapal mengarahkan haluan. Sketsa contoh haluan pemeruman tersebut dapat dilihat pada Gambar 10.



Gambar 10. Lintasan pemeruman

3.2.3. Alat Apung (Kapal Perum atau Sekoci Perum)

Kapal perum yang digunakan diusahakan supaya:

- a. Ruangan cukup untuk peralatan (echosounder, letak transducer, tempat power Accu) dan personil
- b. Kecepatan dapat dipertahankan konstan selama pemeruman berlangsung
- c. Berada dalam kondisi baik, tidak mengalami kebocoran dan tidak ada rembesan air yang masuk kedalam badan kapal dan dilengkapi dengan alat keselamatan (jaket pelampung).

3.2.4. Analisa Bathimetri

Data hasil pemeruman yang tersimpan pada GPS Map Sounding diunggah ke komputer yang dilengkapi dengan Software Map Source. Analisa terhadap hasil pemeruman dan pengukuran dengan theodolit serta pembacaan fluktuasi muka air pada peilschaal dilakukan menggunakan software Microsoft Excel, sedangkan untuk penggambaran dilakukan menggunakan software AutoCAD Land Development.

Data kedalaman bathimetri yang diperoleh dari alat echosounding adalah data kedalaman dari peletakan tranduser terhadap dasar laut saat pengukuran, sehingga untuk mendapatkan elevasi dasar laut, dimana elevasi tersebut telah memiliki referensi yang sama dengan data topografi maka data terukur dari echosounding harus dikoreksi dengan tinggi pasang surut saat pengukuran. Untuk keperluan tersebut syarat utama

pengukuran echosounding adalah dilakukan juga pengukuran pasang surut pada saat yang bersamaan. Untuk keperluan analisa tersebut menggunakan persamaan 3.1 dan 3.2 di bawah ini :

$$Z_{kr} = -(d_{echo} + d_{trand} - DF(t)) \quad (3.1)$$

$$DF(t) = Ma(t) - LWS \quad (3.2)$$

dengan :

Z_{kr} = elevasi dasar laut terhadap LWS

d_{echo} = kedalaman terbaca dari echosounder

d_{trand} = Jarak peletakan tranduser terhadap muka air.

$DF(t)$ = Faktor koreksi pasang surut saat t

$Ma(t)$ = Tinggi muka air saat t

LWS = Angka Peilschaal pada saat surut terendah (LWS)

Bilamana menginginkan referensi elevasi berdasarkan MSL maka persamaan tersebut berubah menjadi persamaan 3.3 di bawah ini:

$$Z_{kr} (MSL) = Z_{kr} + \Delta h (MSL-LWS) \quad (3.3)$$

dengan :

$\Delta h (MSL-LWS)$ = beda tinggi antara MSL dan LWS

3.3. Pengukuran Pasang Surut

Pengukuran dilakukan dengan mengamati fluktuasi muka air laut selama 15 atau 30 hari berturut-turut dengan interval waktu 30 menit dengan cara memasang peilschaal dengan interval skala 1 cm di laut. Jika pada saat air surut, titik nol peilschaal tidak terendam (kering), maka dipasang lagi peilschaal lebih ke tengah agar pada saat kondisi tersebut elevasi muka air dapat terbaca. Di samping itu, juga dilakukan pengikatan elevasi nol peilschaal terhadap BM dengan menggunakan waterpass untuk memperoleh hubungan antara perubahan tinggi muka air yang dibaca dengan ketinggian referensi (LWS). Pengukuran topografi, bathimetri dan pasang surut mempunyai datum (bidang referensi) yang sama. Pembacaan ini selanjutnya dianalisis untuk mendapatkan konstanta-konstanta pasang-surutnya, dari hasil analisis ini dapat dihitung tinggi muka air seperti MHWS, MSL dan MLWS.

3.3.1. Analisa Pasang Surut

Analisa pasang surut dilakukan untuk memperoleh elevasi muka air penting yang dapat menentukan dalam perencanaan. Analisa pasang surut dilakukan dengan urutan sebagai berikut:

- a. Menguraikan komponen-komponen pasang surut.
- b. Meramalkan fluktuasi muka air akibat pasang surut.
- c. Menghitung elevasi muka air penting.

Menguraikan komponen-komponen pasang surut adalah menguraikan fluktuasi muka air akibat pasang surut menjadi komponen-komponen harmonik penyusunannya. Besaran yang diperoleh adalah amplitudo dan fasa setiap komponen. Metode yang biasa digunakan untuk menguraikan komponen-komponen pasang surut adalah Metode Admiralty dan Least Square.

Metoda admiralty merupakan metoda empiris berdasarkan tabel-tabel pasang surut yang dikembangkan pada awal abad ke 20. Metoda ini terbatas untuk menguraikan data pasang surut selama 15 atau 29 hari dengan interval pencatat 1 jam.

Metoda Least Square menggunakan analisa matematika dimana komponen pasang surut yang diperoleh akan memberikan harga jumlah kuadrat kesalahan peramalan yang kecil. Analisa Harmonik dengan Metoda Least Square didasarkan pada asumsi bahwa perubahan muka air akibat benda-benda langit bersifat harmonik. Selanjutnya dengan mengabaikan faktor meteorologi, persamaan fluktuasi muka air laut dapat dituliskan sebagai persamaan 3.4 berikut:

$$\eta(t_n) = S_0 + \sum_{r=1}^k A_r \cos \omega_r t_n + \sum_{r=1}^k B_r \sin \omega_r t_n \quad (3.4)$$

Ar dan Br adalah konstanta harmonik, k jumlah komponen pasut dan tn menujukkan waktu pengamatan tiap jam. Nilai hasil perhitungan $\eta(t_n)$ akan mendekati nilai $\eta(t_n)$ hasil pengamatan jika:

$$\mu^2 = \sum_{t_n=-n}^n \eta(t_n) + \eta t_n = \min$$

dan fungsi μ^2 minimum jika memenuhi hubungan berikut ini:

$$\frac{\partial \mu^2}{\partial S_0} = 0; \quad \frac{\partial \mu^2}{\partial A_s} = 0; \quad \frac{\partial \mu^2}{\partial B_s} = 0$$

dengan menguraikan persamaan di atas, akan diperoleh $2k+1$ persamaan dan selanjutnya dapat ditentukan nilai S_0 , A_s dan B_s . Dengan menguraikan persamaan-persamaan awal akan diperoleh konstanta pasut.

Peramalan pasang surut akan dilakukan untuk kurun waktu yang cukup panjang yaitu selama 18,5 tahun, dimana dalam kurun waktu tersebut diyakini semua variasi harmonik yang ada telah tercakup seluruhnya. Hasil peramalan tersebut kemudian dianalisa lebih lanjut untuk memperoleh beberapa elevasi penting dalam perencanaan sebagai berikut :

- a. HHWL : highest hight water level, muka air tertinggi
- b. MHWS : mean high water spring, rata-rata muka air tinggi saat purnama
- c. MHWL : mean high water level, rata-rata seluruh muka air tinggi
- d. MSL : mean sea level, rata-rata seluruh muka air yang terjadi
- e. MLWL : mean low water level, rata-rata seluruh muka air rendah

- f. MLWS : mean low water spring, rata-rata muka air rendah saat purnama
- g. LLWL : lowest low water level, muka air terendah

Secara khusus angka elevasi rata-rata muka air saat purnama (spring), yaitu MHWS dan MLWS diperoleh dari merata-ratakan pasang tertinggi dan surut terendah setiap periode waktu purnama (pada umumnya terjadi satu kali dalam kurun waktu selama 15 hari).

Tipe pasang surut dapat diketahui berdasarkan nilai Formzal dengan persamaan 3.5 :

$$F = \frac{AK_1 + AO_1}{AM_2 + AS_2} \quad (3.5)$$

$F \leq 0.25$: Pasang harian ganda

$F \geq 3$: Pasang harian tunggal

$0.25 < F < 1.5$: Pasang campuran condong harian ganda

$1.5 < F < 3$: Pasang campuran condong harian tunggal

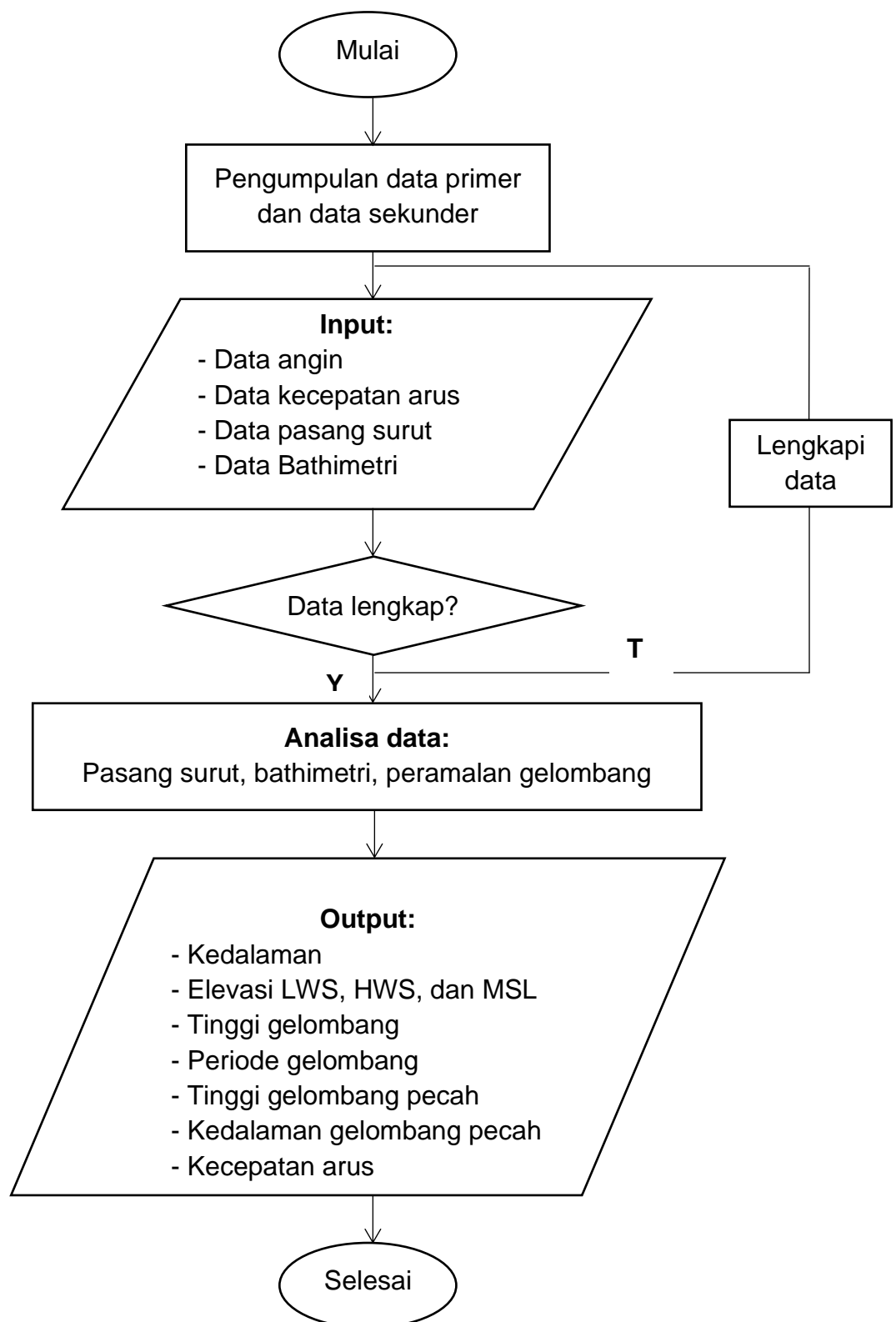
Dari konstanta tersebut didapatkan referensi ketinggian:

$$MHWS = MSL + (K_1 + 01)$$

$$HHWS = MSL + (M_2 + S_2 + K_1 + 01)$$

$$MLWS = MSL - (K_1 + 01)$$

$$LLWS = MSL - (M_2 + S_2 + K_1 + 01)$$



Gambar 11. Diagram Alir Prosedur Penelitian

BAB 4. HASIL DAN PEMBAHASAN

4.1. Pengamatan Pasang Surut

Data hasil pengamatan pasang surut berupa data fluktuasi muka air dalam interval 1 jam disajikan dalam bentuk tabulasi sebagaimana terlampir pada Tabel 3 berikut ini.

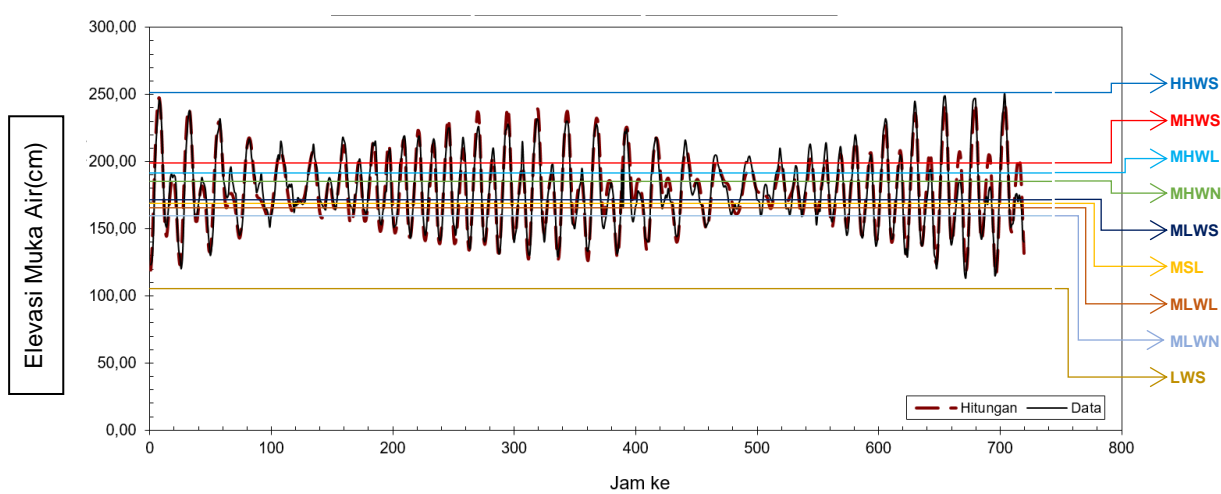
Table 3. Data Pengamatan Pasang Surut

Hari ke	Pukul	01	02	03	04	05	06	07	08	09	10	11	12	13	14	15	16	17	18	19	20	21	22	23	24	Tanggal	Bulan
01		123	126	141	175	207	224	237	246	242	225	196	169	154	151	159	172	187	191	188	190	189	179	150	134	2	April
02		129	120	127	151	184	208	222	235	238	228	208	187	160	159	160	167	173	180	188	185	183	179	168	151	3	April
03		139	130	135	145	163	192	215	221	225	232	221	198	186	181	175	173	176	192	196	187	182	177	176	159	4	April
04		150	145	147	150	161	178	198	211	213	217	214	203	199	192	188	177	179	183	185	191	179	171	165	165	5	April
05		163	159	151	159	163	168	176	188	200	205	202	215	211	200	199	195	182	180	183	181	183	174	162	170	6	April
06		167	173	172	171	169	168	169	170	178	186	194	197	204	206	213	203	199	194	184	173	170	168	166	165	7	April
07		164	177	185	188	186	181	172	168	164	169	179	191	195	209	218	216	213	203	188	175	168	166	165	162	8	April
08		174	176	185	198	202	195	181	165	164	161	163	178	188	198	209	214	212	215	199	175	162	154	153	162	9	April
09		168	177	178	202	207	209	175	159	151	152	153	163	178	198	201	210	218	219	209	179	159	148	143	155	10	April
10		167	182	197	208	217	219	210	188	164	151	145	150	166	184	185	201	213	217	212	191	161	145	141	143	11	April
11		154	176	195	207	220	225	225	202	175	155	151	145	155	173	184	195	207	218	212	201	178	149	137	135	12	April
12		150	168	190	204	215	224	226	212	187	161	143	140	145	160	171	183	193	205	210	199	179	153	135	131	13	April
13		138	157	178	206	223	224	228	225	201	183	154	140	145	150	165	175	182	194	215	196	180	159	139	131	14	April
14		130	145	175	201	215	227	232	230	211	185	160	150	140	149	162	175	181	187	197	198	183	164	142	129	15	April
15		134	138	165	190	215	223	230	230	225	201	169	154	153	150	157	164	173	181	185	195	185	169	150	134	16	April
16		133	140	150	175	205	221	225	228	224	204	180	163	152	150	155	160	168	175	180	184	180	172	152	138	17	April
17		131	135	148	165	194	166	222	221	224	208	194	175	160	155	159	166	169	178	177	175	171	170	164	143	18	April
18		142	140	141	157	189	194	209	215	218	215	200	188	174	165	168	171	175	173	180	175	170	169	167	158	19	April
19		146	144	145	152	168	191	200	208	216	212	202	196	185	178	175	177	180	185	184	178	170	168	167	162	20	April
20		155	151	153	155	165	175	188	199	204	205	204	198	195	190	188	183	181	182	180	175	168	163	160	163	21	April
21		165	168	165	165	168	171	175	181	190	196	200	199	203	204	200	195	190	186	181	172	171	170	160	161	22	April
22		170	180	183	182	175	175	173	171	171	180	187	192	194	200	210	203	195	193	181	165	165	165	160	164	23	April
23		172	183	191	197	195	181	175	168	159	165	174	180	188	200	210	213	206	193	188	170	153	160	164	163	24	April
24		180	183	197	208	214	204	182	170	158	155	162	168	177	185	198	207	211	200	187	170	153	145	148	160	25	April
25		181	186	196	212	220	215	198	173	156	145	143	150	160	168	180	195	202	205	193	169	146	137	140	147	26	April
26		166	189	198	221	227	232	228	201	165	146	142	143	155	166	175	190	198	205	202	175	145	131	135	129	27	April
27		147	179	202	218	233	245	239	217	180	154	140	137	142	155	164	172	180	192	194	185	156	131	128	120	28	April
28		131	153	180	217	236	248	249	238	210	178	148	138	141	148	156	167	174	183	186	183	171	136	117	113	29	April
29		125	133	170	210	230	245	247	247	224	195	167	147	142	148	153	168	174	168	178	181	175	154	139	115	30	April
30		118	130	158	182	217	232	240	251	236	216	191	162	151	153	154	165	175	176	170	175	171	164	142	140	1	Mei

Penguraian konstanta pasang surut dengan analisa harmonik menggunakan Software La Kipas yang menggunakan Metode Least Square (buatan Dr. Ir. Djoko Luknanto, Dosen UGM Yogyakarta). Konstanta pasut di lokasi studi hasil analisa dengan Metode Least Square dapat dilihat pada Tabel 4 berikut ini, adapun perbandingan grafik tunggang pasut antara hasil pengamatan dengan peramalan disajikan pada Gambar 12 di bawah ini.

Table 4. Konstanta Pasang Surut

No	Komponen	Simbol	Keterangan	Periode (jam)	ω (rad/jam)	Amplitudo (cm)	Phase	
							radian	derajad
1.	Utama bulan	M ₂		12,4206	0,5059	24,27275	2,37425	136,0346
2.	Utama matahari	S ₂	semi diurnal (tengah harian)	12,0000	0,5236	28,98580	3,49437	200,2126
3.	Bulan, karena jarak bumi-bulan	N ₂		12,6582	0,4964	4,70951	4,57361	262,0485
4.	Matahari-bulan, karena perubahan deklinasi	K ₂		11,9673	0,5250	9,28866	2,37571	136,1179
5.	Matahari-bulan	K ₁		23,9346	0,2625	6,44196	3,08350	176,6716
6.	Utama bulan	O ₁	diurnal (harian)	25,8194	0,2434	13,07937	4,51879	258,9074
7.	Utama matahari	P ₁		24,0658	0,2611	15,35713	0,84979	48,6897
8.	Utama bulan	M ₄	seperempat harian	6,2103	1,0117	3,02300	0,57099	32,7155
9.	Matahari-bulan	MS ₄		6,1033	1,0295	2,48091	1,28432	73,5863



Gambar 12. Grafik tunggang pasut

Nilai Formzal untuk lokasi studi adalah:

$$F = \frac{A(K1) + A(O1)}{A(M2) + A(S2)}$$

$$F = \frac{6,44 + 13,08}{24,27 + 28,99}$$

$$F = 0,3665$$

Berdasarkan nilai Formzal tersebut, maka tipe pasut untuk daerah studi adalah Pasang Surut Campuran Condong ke Harian Ganda (Mixed Tide Prevelling Semidiurnal), berarti dalam satu hari terjadi dua kali pasang dan dua kali surut, tetapi tinggi dan periodenya berbeda.

Besaran tunggang pasang surut dapat dihitung menggunakan konstanta pasang surut yang ada pada Tabel Konstanta Pasang Surut di atas. Adapun beberapa nilai tunggang pasang surut adalah sebagai berikut:

1. HHWS (Highest High Water Spring) atau HWS (High Water Spring), muka air tertinggi yang dicapai pada saat air pasang dalam satu siklus pasang surut.

$$\begin{aligned} \text{HHWS} &= \text{MSL} + (S2 + M2 + K1 + O1) \\ &= 179,15 + (28,99 + 24,27 + 6,44 + 13,08) \\ &= 251,93 \text{ cm (peilschaal)} = 145.56 \text{ cm} \end{aligned}$$

2. MHWS (Mean High Water Spring), tinggi rata-rata dari dua air tinggi berturut-turut selama periode purnama, yaitu jika tunggang (range) pasut itu tertinggi

$$\begin{aligned} \text{MHWS} &= \text{MSL} + (K1 + O1) \\ &= 179,15 + (6,44 + 13,08) \end{aligned}$$

$$= 198,67 \text{ cm (peilschaal)} = 92.3 \text{ cm}$$

3. MHWN (Mean High Water Neap), tinggi rata-rata dari dua air tinggi berturut-turut selama periode pasut perbani (neap tides), yaitu jika tunggang (range) pasut paling kecil

$$\text{MHWN} = \text{MSL} + (\text{O}_1 - \text{K}_1)$$

$$= 179,15 + (13,08 - 6,44)$$

$$= 185,79 \text{ cm (peilschaal)} = 79.42 \text{ cm}$$

4. MHWL (Mean High Water Level), rerata dari muka air tinggi selama periode 19 tahun.

$$\text{MHWL} = (\text{MHWS} + \text{MHWN})/2$$

$$= (198,67 + 185,79)/2$$

$$= 192,23 \text{ cm (peilschaal)} = 85.86 \text{ cm}$$

5. MSL (Mean Sea Level), muka air rerata antara muka air tinggi rerata dan muka air rendah rerata.

$$\text{MSL} = 179,15 \text{ cm (peilschaal)} = 72.78 \text{ cm}$$

6. MLWL (Mean Low Water Level), rerata dari muka air rendah selama periode 19 tahun.

$$\text{MLWL} = (\text{MLWS} + \text{MLWN})/2$$

$$= (172,51 + 159,63)/2$$

$$= 166,07 \text{ cm (peilschaal)} = 59.7 \text{ cm}$$

7. MLWN (Mean Low Water Neap), tinggi rata-rata yang dihitung dari dua air berturut-turut selama periode pasut perbani

$$\text{MLWN} = \text{MSL} - (\text{K}_1 + \text{O}_1)$$

$$= 179,15 \ (6,44 + 13,08)$$

$$= 159,63 \text{ cm (peilschaal)} = 53,26 \text{ cm}$$

8. MLWS (Mean Low Water Spring), tinggi rata-rata yang diperoleh dari dua air rendah berturut-turut selama periode pasang purnama

$$\text{MLWS} = \text{MSL} - (\text{O}_1 - \text{K}_1)$$

$$= 179,15 - (13,08 - 6,44)$$

$$= 172,51 \text{ cm (peilschaal)} = 66,14 \text{ cm}$$

9. LLWS (Lowest Low Water Spring) atau LWS (Low Water Spring), kedudukan air terendah yang dicapai pada air surut dalam satu siklus pasang surut.

$$\text{LLWS} = \text{MSL} - (\text{S}_2 + \text{M}_2 + \text{K}_1 + \text{O}_1)$$

$$= 179,15 - (28,99 + 24,27 + 6,44 + 13,08)$$

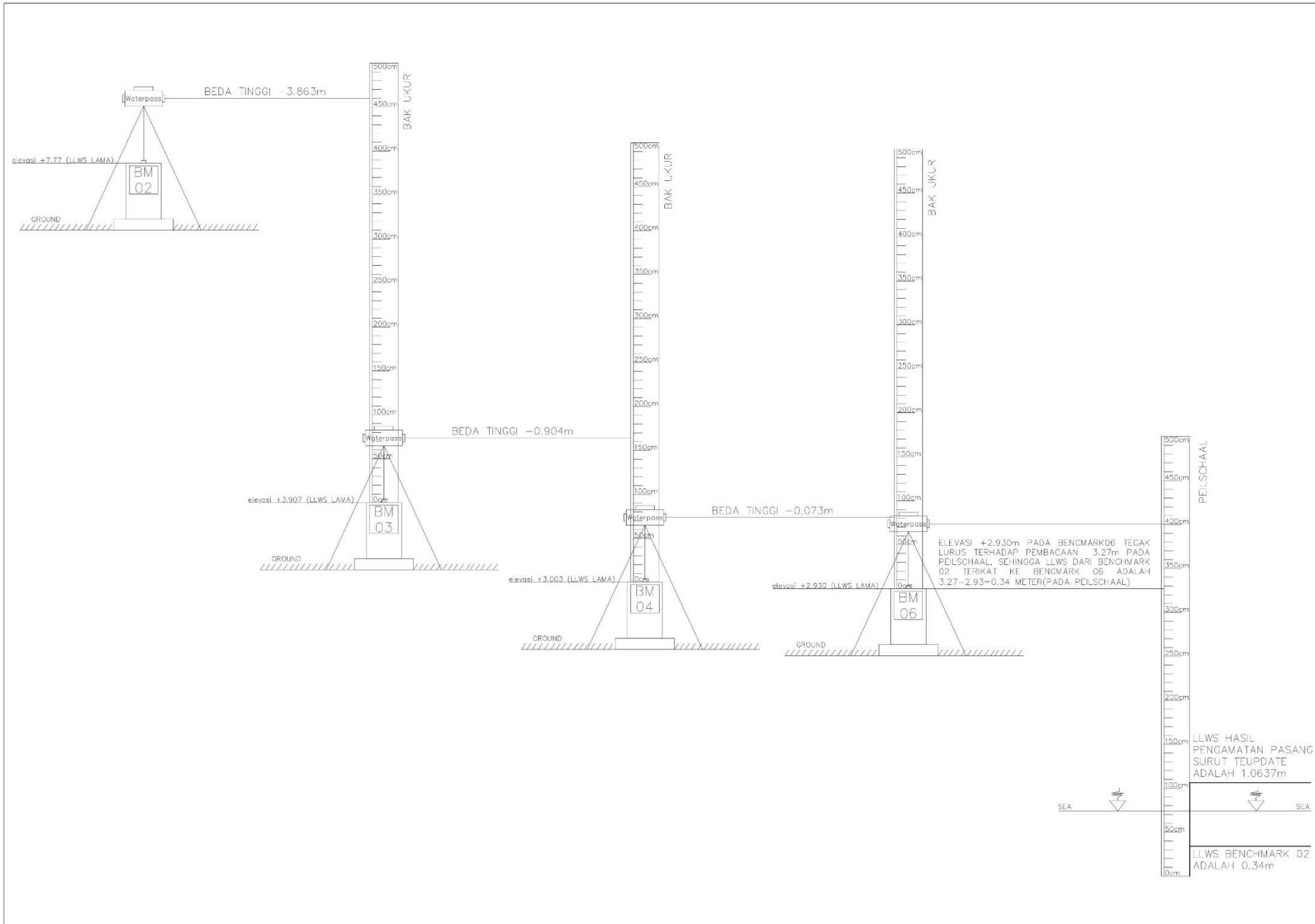
$$= 106,37 \text{ cm (peilschaal)} = 0 \text{ cm}$$

Dengan menjadikan LWS menjadi elevasi referensi $\pm 0,00$, maka diperoleh hasil pasang surut sebagai berikut:

Table 5. Nilai tunggang pasang surut

Elevation Type	Elevation	
Highest High Water Spring (HHWS)/High Water Spring (HWS)	145.56	cm
Mean High Water Spring (MHWS)	92.3	cm
Mean High Water Neap (MHWN)	79.42	cm
Mean High Water Level (MHWL)	85.86	cm
Mean Sea Level (MSL)	72.78	cm
Mean Low Water Level (MLWL)	59.7	cm
Mean Low Water Neap (MLWN)	53.26	cm
Mean Low Water Spring (MLWS)	66.14	cm
Lowes Low Water Spring (LLWS)/Low Water Spring (LWS)	0	cm

Terdapat perbedaan LWS terdahulu dikarenakan waktu pengambilan data yang berbeda. Elevasi LWS $\pm 0,00$ pada Benchmark Existing berada pada angka 34 cm peilschaal (pengambilan beda tinggi antara benchmark 06 dengan peilschaal pengamatan terbaru). Jadi selisih elevasi LWS 0 pada Benchmark Existing dengan LWS pengamatan pasang surut sekarang sebesar $106,37\text{ cm} - 34\text{ cm} = 72,37\text{ cm}$ lebih tinggi. Karena pengukuran topografi dan pengukuran batimetri harus terikat (beda tinggi antara offshore dan offshore terkoreksi), Elevasi pengukuran topografi mengikat pada elevasi LWS terbaru. Ilustrasi gambar pada gambar 13.



Gambar 13. Ilustrasi identifikasi LWS Benchmark 2 dan koreksi terhadap peilschaal

4.2. Survey Bathimetri

Hasil pemeruman direkam oleh alat Echo Sounder Garmin GPS Map type 178C secara simultan bersama dengan data koordinat (X dan Y) dan waktu (t). Data ini selanjutnya diunduh ke komputer yang telah dilengkapi Software Map Source. Selanjutnya data diolah menggunakan Software Microsoft Excel untuk melakukan koreksi akibat pasang surut yang terjadi saat pemeruman dan posisi transducer alat yang dipasang pada sisi perahu (ditempat yang selalu terendam air).

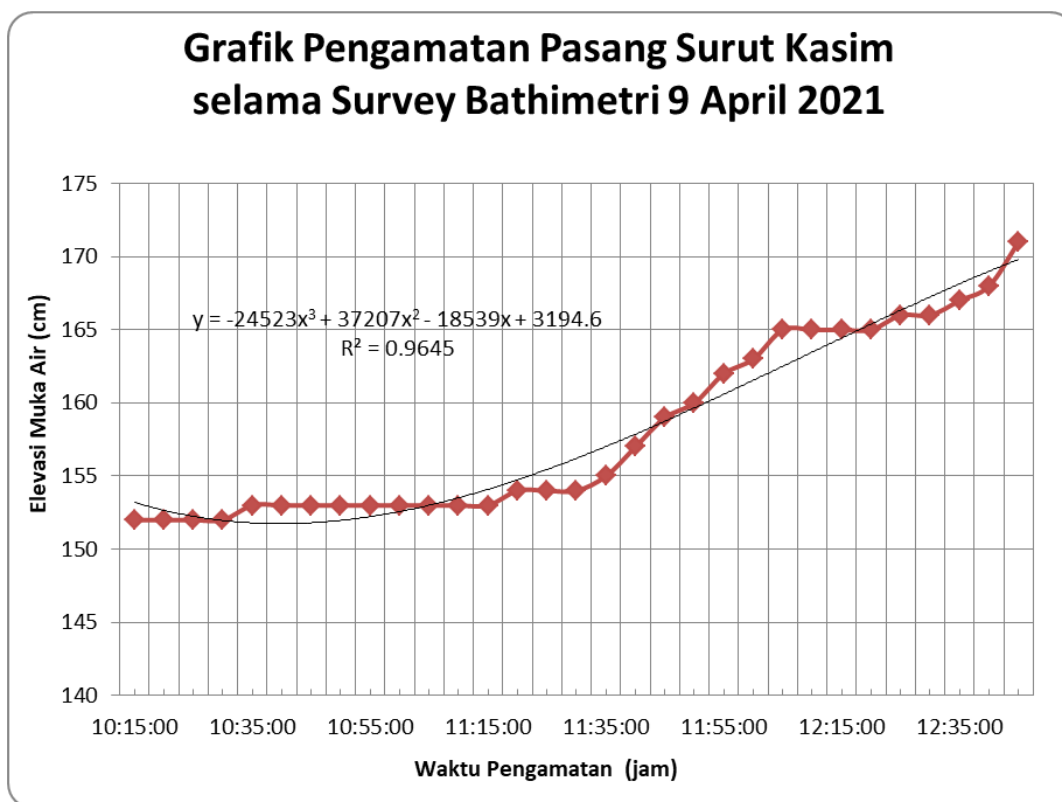
Pengikatan antara hasil Bathimetri dan hasil topografi, terkoreksi dengan mengambil elevasi dari peilchaal menggunakan waterpass melalui Benchmark 06 dekat Dermaga. Sehingga diperoleh elevasi perbandingan antara BM06 dan Peilschaal.

Elevasi dasar laut tersebut merupakan elevasi terkoreksi (z_{kr}), yaitu hubungan antara kedalaman hasil pemeruman (decho), koreksi elevasi muka air akibat pasang surut pada saat survey (kr) dan elevasi tranducer dari muka air saat pengukuran (d_{tran}) sebagaimana diuraikan pada persamaan 1.

Hasil pengamatan pasang-surut pada tanggal 9 April 2021 disajikan pada Tabel 6 berikut ini :

Table 6. Pembacaan muka air pada peilschaal dengan interval 5 menit selama pelaksanaan pemeruman

No.	Tanggal dan Jam Pengamatan		Elevasi Muka Air (cm)			
			Tinggi	Tengah	Rendah	Rata-Rata
1	9-Apr-21	10:15:00	152	152	152	152
2	9-Apr-21	10:20:00	152	152	152	152
3	9-Apr-21	10:25:00	152	152	152	152
4	9-Apr-21	10:30:00	152	152	152	152
5	9-Apr-21	10:35:00	153	153	153	153
6	9-Apr-21	10:40:00	153	153	153	153
7	9-Apr-21	10:45:00	153	153	153	153
8	9-Apr-21	10:50:00	153	153	153	153
9	9-Apr-21	10:55:00	153	153	153	153
10	9-Apr-21	11:00:00	153	153	153	153
11	9-Apr-21	11:05:00	153	153	153	153
12	9-Apr-21	11:10:00	153	153	153	153
13	9-Apr-21	11:15:00	153	153	153	153
14	9-Apr-21	11:20:00	154	154	154	154
15	9-Apr-21	11:25:00	154	154	154	154
16	9-Apr-21	11:30:00	154	154	154	154
17	9-Apr-21	11:35:00	155	155	155	155
18	9-Apr-21	11:40:00	157	157	157	157
19	9-Apr-21	11:45:00	159	159	159	159
20	9-Apr-21	11:50:00	160	160	160	160
21	9-Apr-21	11:55:00	162	162	162	162
22	9-Apr-21	12:00:00	163	163	163	163
23	9-Apr-21	12:05:00	165	165	165	165
24	9-Apr-21	12:10:00	165	165	165	165
25	9-Apr-21	12:15:00	165	165	165	165
26	9-Apr-21	12:20:00	165	165	165	165
27	9-Apr-21	12:25:00	166	166	166	166
28	9-Apr-21	12:30:00	166	166	166	166
29	9-Apr-21	12:35:00	167	167	167	167
30	9-Apr-21	12:40:00	168	168	168	168
31	9-Apr-21	12:45:00	171	171	171	171



Gambar 14. Grafik pengoreksi pengamatan pembacaan muka air terhadap hasil pelaksanaan pemeruman

4.2.1. Perhitungan Kedalaman Dasar Laut Berdasarkan Hasil Survey Bathimetri

Kedalaman dasar laut ditentukan dari data kedalaman hasil pengukuran bathimetri dengan menggunakan GPS Map Sounder.

Kedalaman dasar laut tersebut merupakan kedalaman koreksi (zkr), yaitu hubungan antara kedalaman hasil pengukuran bathimetri (z), koreksi elevasi muka air (kr) dan kedalaman tranducer dari muka air saat pemeruman (h).

LWS yang digunakan adalah hasil pasang surut selama 30 hari yang dilakukan serta telah terikat dengan Benchmark 06, melalui pengikatan BM 06 dan Peilschaal

Dari hasil pengukuran pasang-surut, didapatkan fungsi polinomial pangkat tiga, yang digunakan untuk perhitungan elevasi muka air.

Untuk Pengukuran pada tanggal 9 April 2021

$$y = -24523x^3 + 37207x^2 - 18539x + 3194.6$$

Selain itu, diperoleh pula muka air surut terendah selama 30 hari pengamatan pasang surut :

$$\text{LWS} = 1.064 \text{ m (pada Peilschaal)}$$

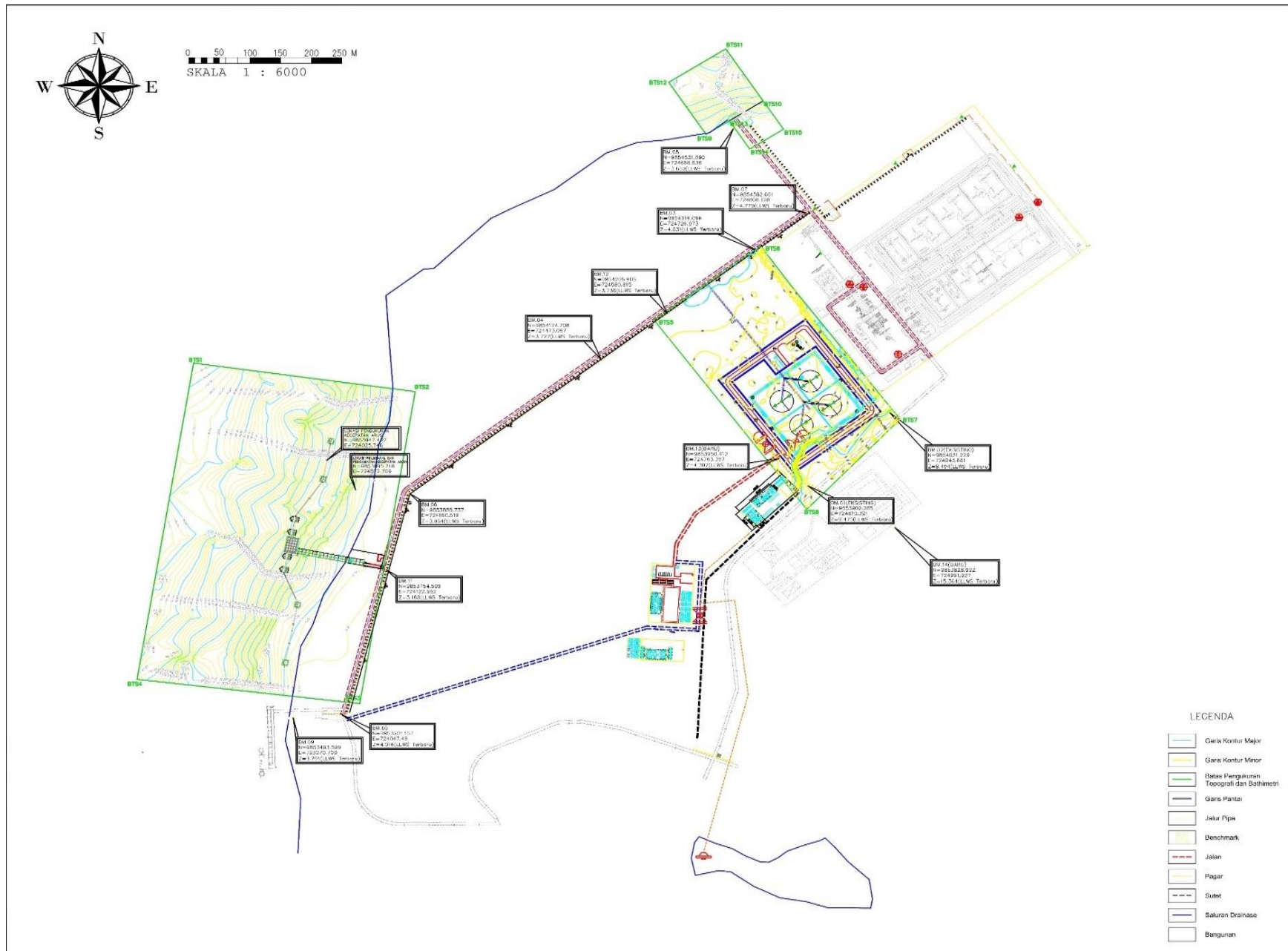
Pada saat pengukuran bathimetri juga diukur pula elevasi tranducer dari muka air, dan diperoleh :

$$h = 0.490 \text{ m}$$

$$\text{Kemudian diperoleh : } kr = y - \text{LWS}$$

$$zkr = z + h - kr$$

Demikian gambar bathimetri ditampilkan pada gambar 15.



Gambar 15. Peta Bathimetri

4.3. Survey Pengukuran Arus

Hasil survey pengukuran arus adalah data dari current meter disajikan berikut ini, adapun hasil lengkap pengukuran arus disajikan pada Tabel 7 dan Tabel 8 di bawah ini.

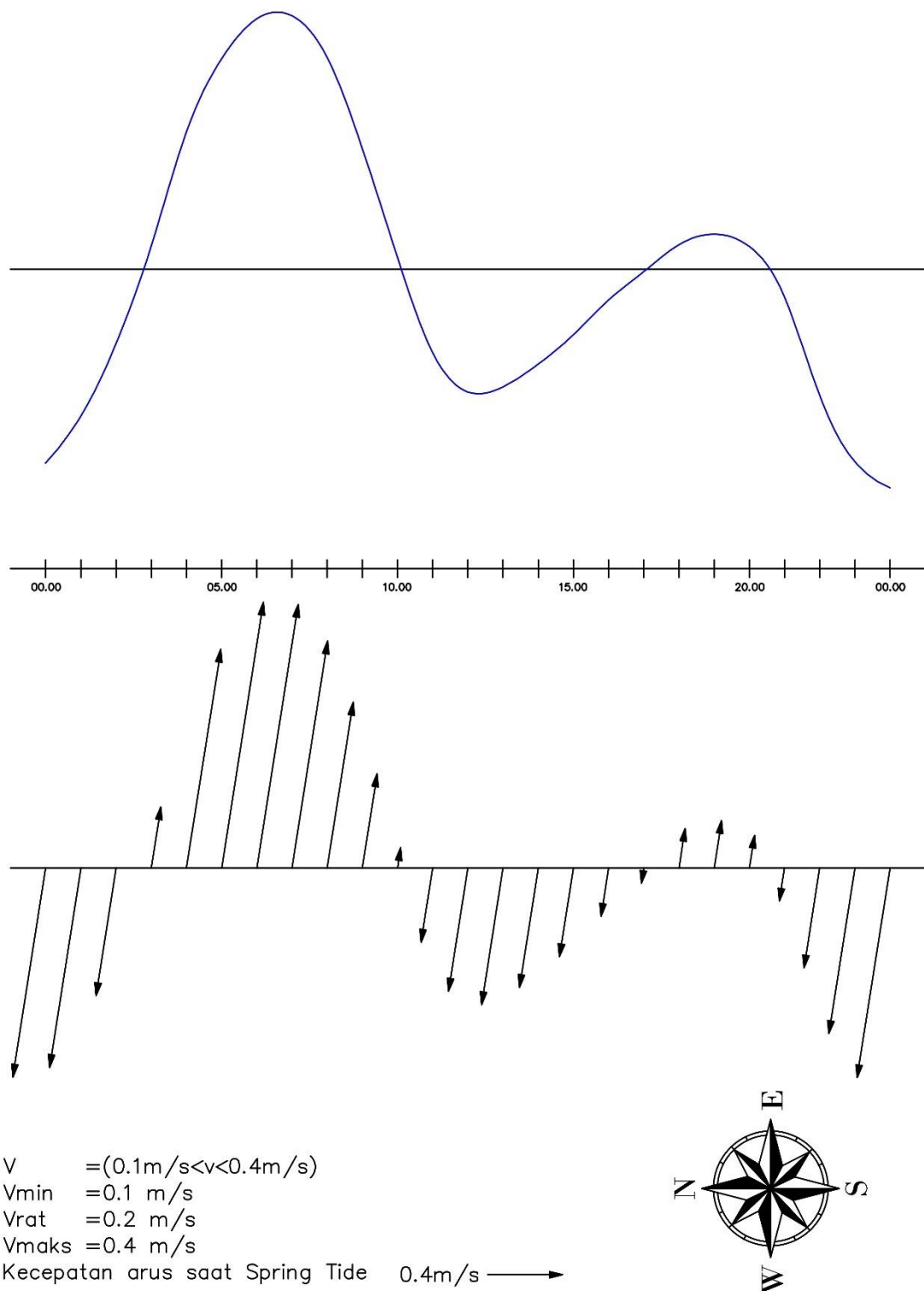
Table 7. Data pengukuran arus dengan current meter pada saat Spring Tide

Tanggal	Jam	Bacaan Pasut	Kecepatan arus	Arah arus (N...E)
29/4/2021	00:00	120	0.3	0
	01:00	131	0.1	0
	02:00	153	0.0	
	03:00	180	0.0	
	04:00	217	0.0	
	05:00	236	0.2	0
	06:00	248	0.0	
	07:00	249	0.0	
	08:00	238	0.2	0
	09:00	210	0.0	0
	10:00	178	0.3	0
	11:00	148	0.1	0
	12:00	138	0.1	0
	13:00	141	0.0	
	14:00	148	0.2	315
	15:00	156	0.4	315
	16:00	167	0.1	315
	17:00	174	0.2	315
	18:00	183	0.3	315
	19:00	186	0.2	0
	20:00	183	0.0	
	21:00	171	0.0	
	22:00	136	0.2	0
	23:00	117	0.2	0
	00:00	113	0.3	90

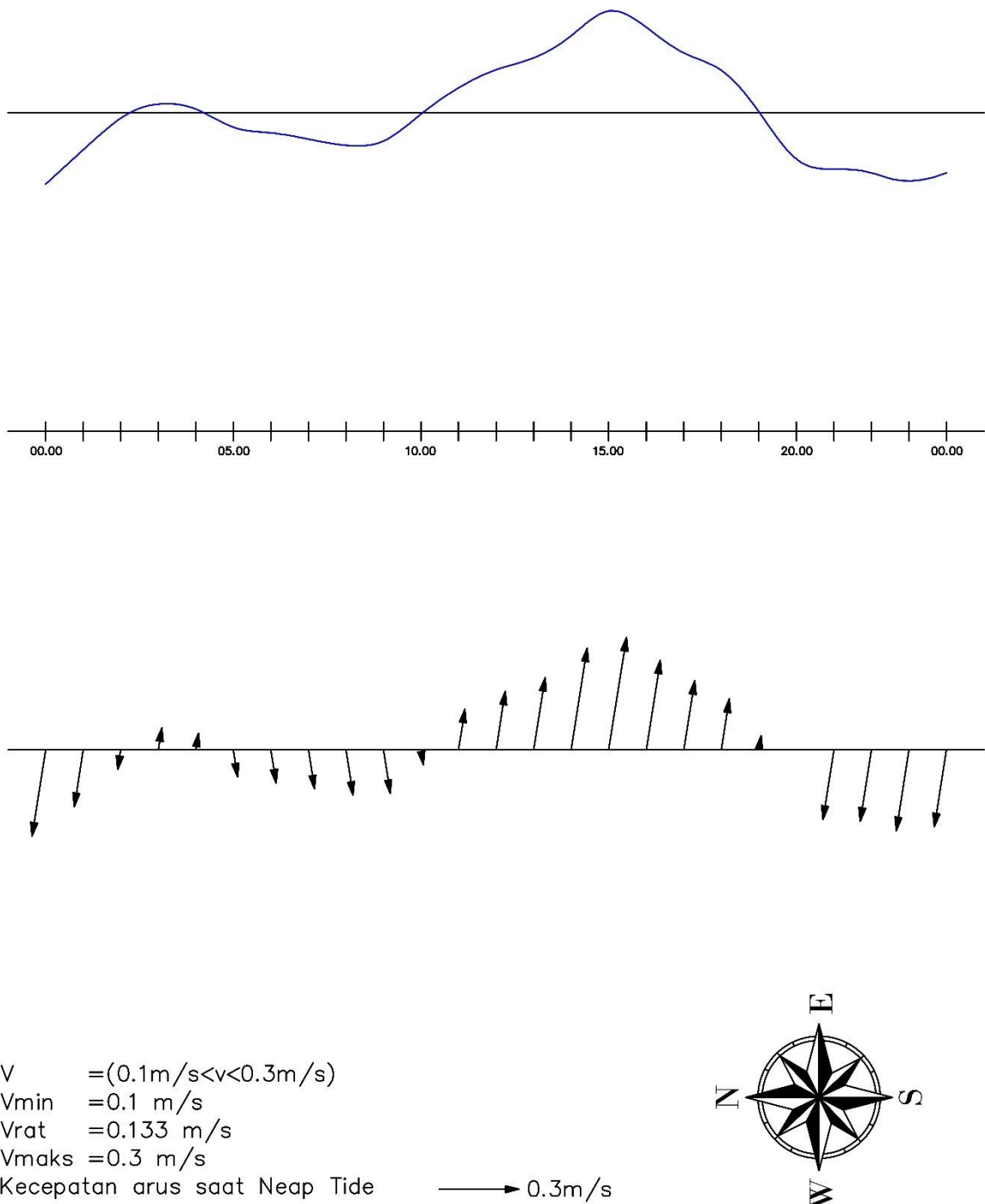
Table 8. Data pengukuran arus dengan current meter pada saat Neap Tide

Tanggal	Jam	Bacaan Pasut	Kecepatan arus	Arah arus (N...E)
23/4/2021	00:00	56	0.3	0
	01:00	170	0.3	0
	02:00	180	0.2	225
	03:00	183	0.2	225
	04:00	182	0.2	225
	05:00	175	0.1	225
	06:00	175	0.2	225
	07:00	173	0.1	225
	08:00	171	0.1	45
	09:00	171	0.1	0
	10:00	180	0.1	0
	11:00	187	0.0	225
	12:00	192	0.3	225
	13:00	194	0.0	225
	14:00	200	0.0	225
	15:00	210	0.1	225
	16:00	203		
	17:00	195	0.1	225
	18:00	193		
	19:00	181		
	20:00	165	0.1	135
	21:00	165	0.1	135
	22:00	165		
	23:00	160	0.1	90
	00:00	164	0.1	90

Vektor kecepatan arus yang terjadi pada lokasi studi untuk tanggal 29 April 2021 (spring tide) dan 23 April 2021 (neap tide) dapat dilihat pada gambar 16 dan gambar 17 berikut.



Gambar 16. Vektor kecepatan arus tanggal 29 April 2021 (spring tide)



Gambar 17. Vektor kecepatan arus tanggal 23 April 2021 (neap tide)

Hasil survey menunjukkan bahwa arus yang terjadi relatif kecil. Arus yang terjadi saat spring tide pada hasil pengukuran kecepatan arus current meter berkisar antara 0,1 m/dt hingga 0,4 m/dt sedangkan arus yang terjadi saat neap tide pada hasil pengukuran kecepatan arus current meter berkisar antara 0,1 m/dt hingga 0,3 m/dt.

4.4. Peramalan Gelombang

4.4.1. Distribusi Arah dan Kecepatan Angin

Data angin dibutuhkan untuk melakukan peramalan gelombang. Data angin yang dibutuhkan adalah data angin dari lokasi terdekat dan memiliki rentang waktu yang cukup panjang. Dalam studi ini diperoleh data 14 tahun dari Badan Meteorologi, Klimatologi dan Geofisika, Stasiun Meteorologi Kelas 1 DEO Sorong, koordinat Lintang -0,89118 dan Bujur 131,28575.

Data ini selanjutnya dianalisis untuk mengetahui distribusi angin yang terjadi di lokasi studi dan selanjutnya menjadi input untuk penggambaran mawar angin menggunakan Sofware WRPlot. Klasifikasi kecepatan (knot) menggunakan skala angin Beaufort. Dibatasi hanya klasifikasi kelas kecepatan berdasarkan maksimum dan minimal data BMKG Deo Sorong.

Table 9. Skala Angin Beaufort (Sir Francis Beaufort U.K. Royal Navy, 1805)

Force	Wind	WMO	Appearance of Wind Effects	
	(Knots)	Classification	On the Water	On Land
0	Less than 1	Calm	Sea surface smooth and mirror-like	Calm, smoke rises vertically
1	1-3	Light Air	Scaly ripples, no foam crests	Smoke drift indicates wind direction, still wind vanes
2	4-6	Light Breeze	Small wavelets, crests glassy, no breaking	Wind felt on face, leaves rustle, vanes begin to move
3	7-10	Gentle Breeze	Large wavelets, crests begin to break, scattered whitecaps	Leaves and small twigs constantly moving, light flags extended
4	11-16	Moderate Breeze	Small waves 1-4 ft. becoming longer, numerous whitecaps	Dust, leaves, and loose paper lifted, small tree branches move
5	17-21	Fresh Breeze	Moderate waves 4-8 ft taking longer form, many whitecaps, some spray	Small trees in leaf begin to sway
6	22-27	Strong Breeze	Larger waves 8-13 ft, whitecaps common, more spray	Larger tree branches moving, whistling in wires
7	28-33	Near Gale	Sea heaps up, waves 13-19 ft, white foam streaks off breakers	Whole trees moving, resistance felt walking against wind
8	34-40	Gale	Moderately high (18-25 ft) waves of greater length, edges of crests begin to break into spindrift, foam blown in streaks	Twigs breaking off trees, generally impedes progress
9	41-47	Strong Gale	High waves (23-32 ft), sea begins to roll, dense streaks of foam, spray may reduce visibility	Slight structural damage occurs, slate blows off roofs
10	48-55	Storm	Very high waves (29-41 ft) with overhanging crests, sea white with densely blown foam, heavy rolling, lowered visibility	Seldom experienced on land, trees broken or uprooted, "considerable structural damage"
11	56-63	Violent Storm	Exceptionally high (37-52 ft) waves, foam patches cover sea, visibility more reduced	
12	64+	Hurricane	Air filled with foam, waves over 45 ft, sea completely white with driving spray, visibility greatly reduced	

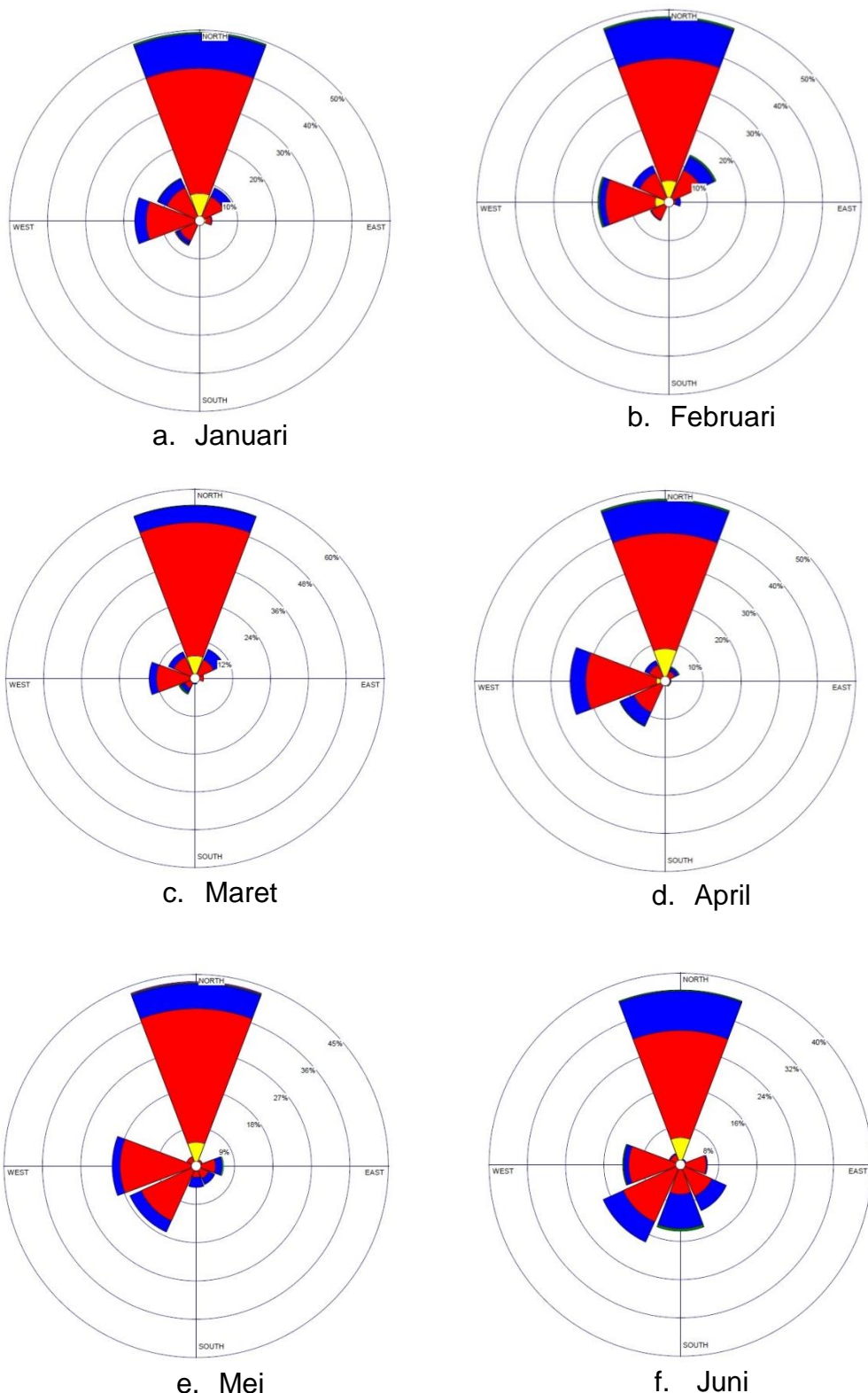
Table 10. Persentase Frekuensi Kejadian Angin Maksimum bulanan selama 14 tahun pada Stasiun Meteorologi Kelas 1 DEO Sorong

Rekapitulasi Persentase Frekuensi Kejadian Angin (%)							
Arah	Kecepatan (knot)						Jumlah
	4 - 6	7 - 10	11 - 16	17 - 21	22 - 27	28 - 33	
Utara	0.60%	0.00%	10.12%	1.79%	0.00%	0.00%	12.50%
Timur Laut	0.00%	0.00%	8.33%	0.60%	0.60%	0.00%	9.52%
Timur	0.00%	0.00%	18.45%	2.98%	0.00%	0.00%	21.43%
Tenggara	0.00%	0.00%	2.98%	1.19%	0.00%	8.33%	4.76%
Selatan	0.00%	0.00%	11.31%	3.57%	0.00%	0.00%	14.88%
Barat Daya	0.00%	0.60%	15.48%	1.19%	0.00%	0.00%	17.26%
Barat	0.60%	1.19%	10.71%	1.79%	0.00%	0.00%	14.29%
Barat Laut	0.00%	0.00%	4.17%	1.19%	0.00%	0.00%	5.36%
Jumlah Angin Maksimum Bulanan							100.00%

Tinggi dan periode gelombang yang dibangkitkan oleh angin, sangat tergantung pada kecepatan angin (U), lama hembus angin (D), arah angin dan Fetch.

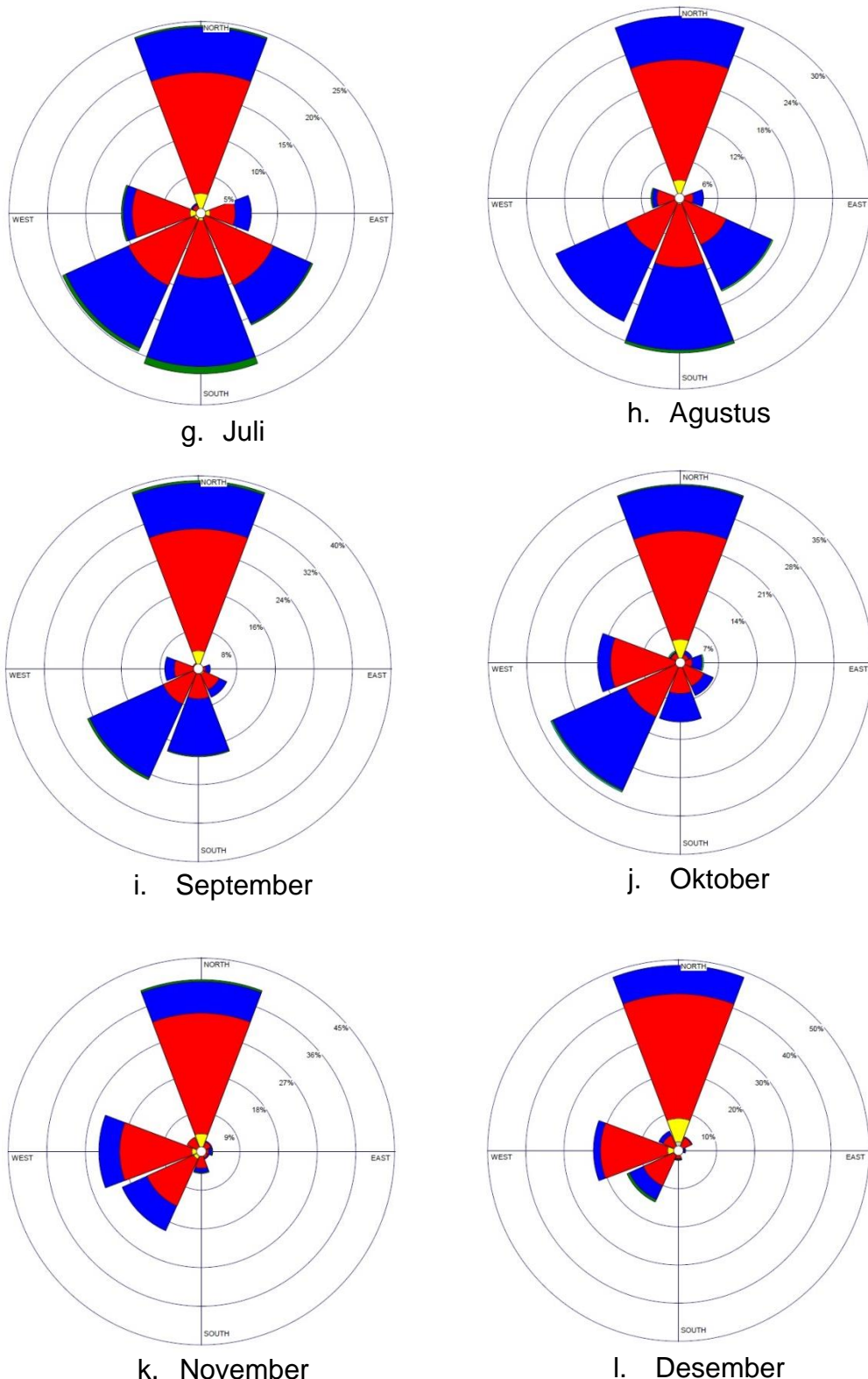
Data angin diperoleh dari data BMKG Stasiun Meteorologi Kelas 1 DEO Sorong sebagai stasiun terdekat dengan wilayah tinjauan. Tipe data angin yang digunakan adalah data angin bulanan maksimum dengan pencatatan selama 14 tahun terakhir (2007 – 2020).

Dari data angin diperlukan data kecepatan dan arah angin dalam bentuk Microsoft Excel CSV kemudian diinput dalam software *Windrose*. Dari data angin tersebut kemudian diolah dengan *Windrose* untuk mendapatkan distribusi kecepatan dan arah angin. Hasil output dari *Windrose* tampak seperti pada gambar 18 dan gambar 19.



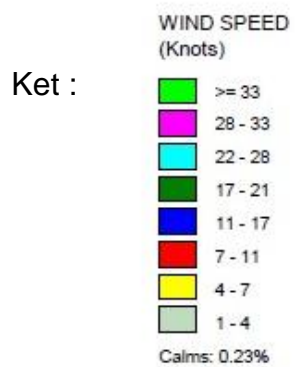
Gambar 18. Mawar Angin Bulan Januari-Juni

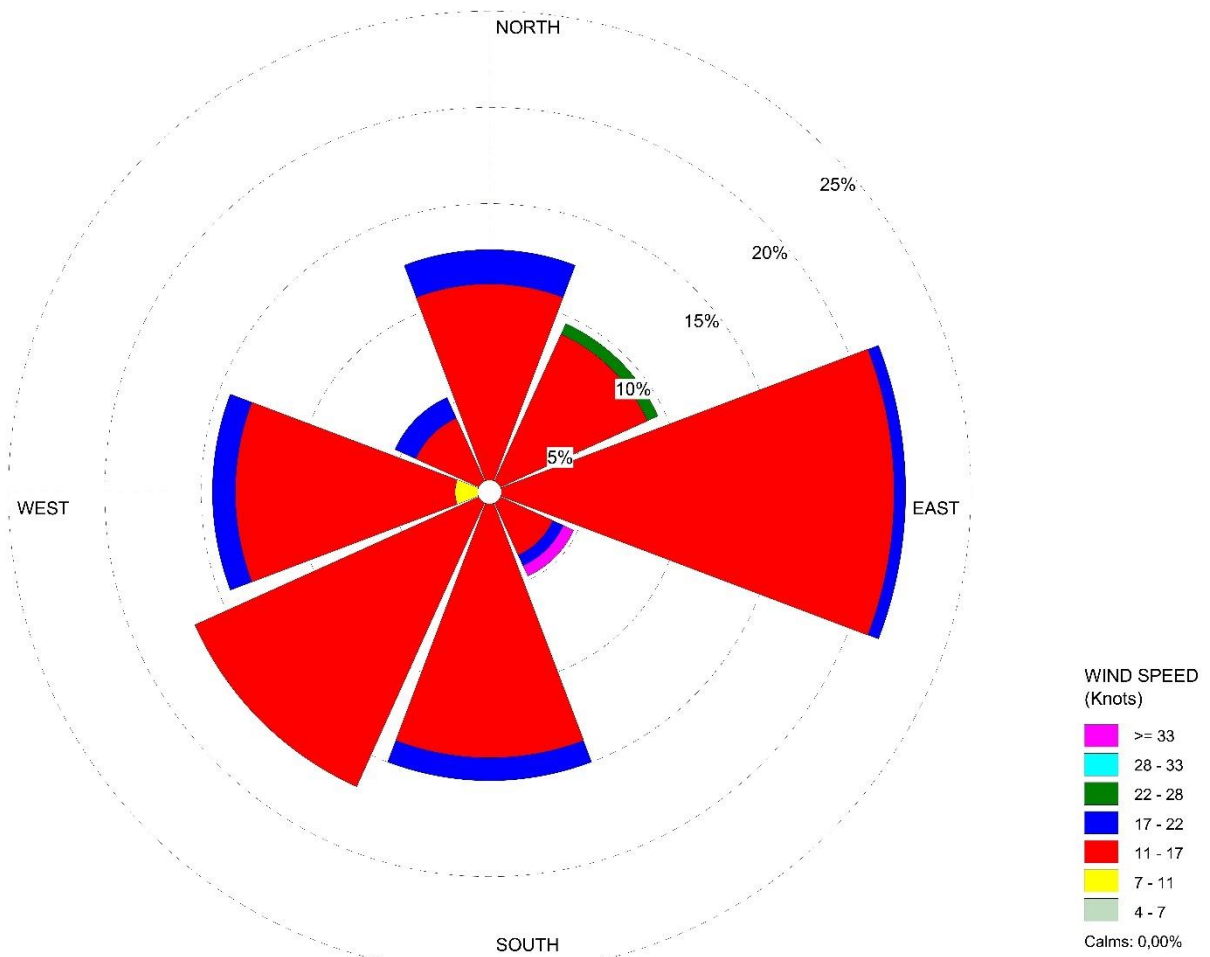
Stasiun Meteorologi Kelas 1 DEO Sorong



Gambar 19. Mawar Angin Bulan Juli-Desember

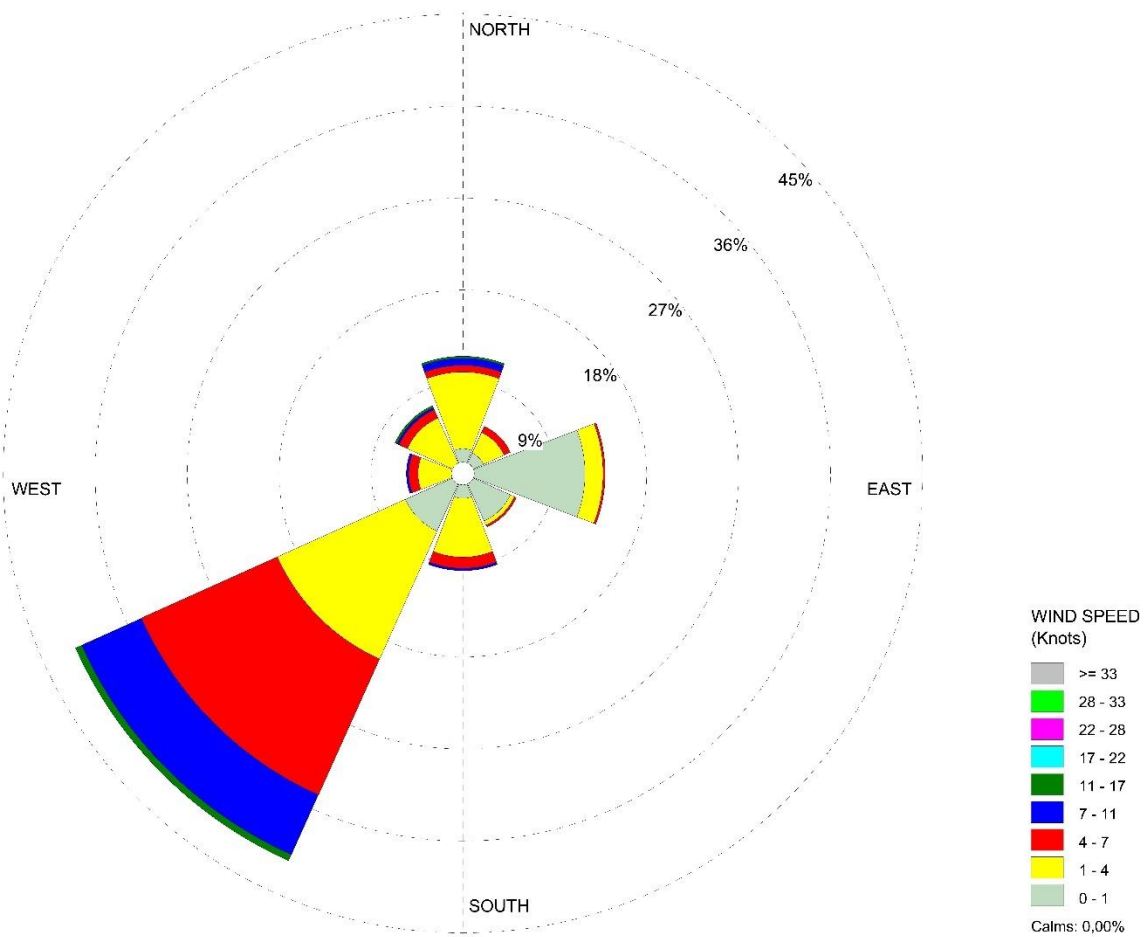
Stasiun Meteorologi Kelas 1 DEO Sorong





Gambar 20. Mawar Angin maksimum bulanan tahun 2007-2020, Stasiun Meteorologi

Kelas 1 DEO Sorong



Gambar 21. Mawar Angin Pengamatan Selama 30 hari

Data angin hasil analisis ini merupakan data angin terkoreksi untuk digunakan sebagai angin di laut yang dapat membangkitkan gelombang di laut dalam dan laut dangkal.

Data selengkapnya diberikan pada tabel berikut

Table 11. Hasil analisa kecepatan dan arah mata angin terkoreksi pada ketinggian 10 meter (U10)

Bulan	Kecepatan dan Arah Mata Angin Terkoreksi Ketinggian 10 m, pada Tahun :																											
	2007		2008		2009		2010		2011		2012		2013		2014		2015		2016		2017		2018		2019		2020	
Jan	6.144	U	5.671	BL	5.671	BL	6.144	U	6.144	B	7.562	T	7.562	T	6.616	BL	6.616	BL	7.089	U	8.979	TG	2.836	U	7.562	TL	6.616	TL
Feb	5.671	B	8.507	U	9.452	BL	6.616	TL	8.507	T	5.199	T	5.199	T	7.562	TL	6.616	BL	5.199	TL	8.979	U	2.836	B	6.616	U	5.671	U
Mar	7.089	U	6.144	BD	5.671	BL	6.144	U	6.616	T	6.616	T	5.199	B	6.616	TL	7.562	TL	6.144	TL	6.616	U	11.815	TL	8.979	B	6.616	BL
Apr	5.199	B	7.089	U	5.199	BD	4.726	B	5.671	B	5.671	T	7.089	T	7.562	B	6.616	T	7.089	TG	8.979	U	7.562	BD	5.671	TL	6.616	U
May	7.089	U	5.671	U	7.089	BD	5.199	B	7.089	BD	8.034	T	5.671	B	7.089	T	6.616	T	5.199	T	5.671	T	7.562	TL	6.616	T	7.562	T
Jun	7.089	U	8.034	BD	6.616	BD	8.507	B	7.562	S	7.562	TG	6.616	BD	7.562	BD	7.089	S	5.671	T	5.671	T	8.034	TG	7.562	T	8.034	T
Jul	7.089	B	6.144	BD	7.089	BD	4.726	B	6.616	S	5.671	TG	5.199	T	6.616	S	7.562	S	8.034	T	8.034	S	7.562	T	8.034	S	5.671	TG
Aug	7.562	S	5.671	BD	6.616	BD	6.616	B	7.562	S	7.089	S	6.144	T	7.089	S	8.507	S	7.089	TG	6.616	T	15.596	TG	7.562	S	6.616	T
Sep	7.089	S	6.616	BD	7.089	BD	6.616	B	7.562	T	8.034	S	6.144	TG	7.562	S	7.562	S	7.562	U	7.562	S	8.979	S	4.726	BD		
Oct	7.089	S	8.034	BD	7.089	BD	8.034	B	5.671	B	7.562	S	6.616	BD	7.562	BD	8.034	S	7.089	BD	7.562	BD	7.562	T	6.616	S	6.616	T
Nov	7.089	B	5.671	BD	5.199	BD	7.089	T	7.562	B	5.671	B	7.089	TG	5.671	BD	6.144	T	7.089	B	6.616	TL	7.562	T	7.562	BD	8.034	T
Dec	7.089	U	7.562	BD	5.199	BD	5.671	U	5.199	T	7.089	B	6.144	T	5.671	BD	5.199	TL	5.671	B	7.562	S	9.925	BL	5.671	U	8.034	TL

Table 12. Hasil analisa kecepatan dan arah mata angin laut terkoreksi dari angin darat (U)

Bulan	Kecepatan dan Arah Mata Angin Laut Terkoreksi Angin Darat, pada Tahun :																											
	2007		2008		2009		2010		2011		2012		2013		2014		2015		2016		2017		2018		2019		2020	
Jan	6.758	U	6.238	BL	6.238	BL	6.758	U	6.758	B	8.318	T	8.318	T	7.278	BL	7.278	BL	7.798	U	9.877	TG	3.119	U	8.318	TL	7.278	TL
Feb	6.238	B	9.358	U	10.397	BL	7.278	TL	9.358	T	5.718	T	5.718	T	8.318	TL	7.278	BL	5.718	TL	9.877	U	3.119	B	7.278	U	6.238	U
Mar	7.798	U	6.758	BD	6.238	BL	6.758	U	7.278	T	7.278	T	5.718	B	7.278	TL	8.318	TL	6.758	TL	7.278	U	12.997	TL	9.877	B	7.278	BL
Apr	5.718	B	7.798	U	5.718	BD	5.199	B	6.238	B	6.238	T	7.798	T	8.318	B	7.278	T	7.798	TL	9.877	U	8.318	BD	6.238	TL	7.278	U
May	7.798	U	6.238	U	7.798	BD	5.718	B	7.798	BD	8.838	T	6.238	B	7.798	T	7.278	T	5.718	T	6.238	T	8.318	TL	7.278	T	8.318	T
Jun	7.798	U	8.838	BD	7.278	BD	9.358	B	8.318	S	8.318	TG	7.278	BD	8.318	BD	7.798	S	6.238	T	6.238	T	8.838	TG	8.318	T	8.838	T
Jul	7.798	B	6.758	BD	7.798	BD	5.199	B	7.278	S	6.238	TG	5.718	T	7.278	S	8.318	S	8.838	T	8.838	S	8.318	T	8.838	S	6.238	TG
Aug	8.318	S	6.238	BD	7.278	BD	7.278	B	8.318	S	7.798	S	6.758	T	7.798	S	9.358	S	7.798	TG	7.278	T	17.155	TG	8.318	S	7.278	T
Sep	7.798	S	7.278	BD	7.798	BD	7.278	B	8.318	T	8.838	S	6.758	TG	8.318	S	8.318	S	8.318	U	8.318	S	9.877	S	5.199	BD		
Oct	7.798	S	8.838	BD	7.798	BD	8.838	B	6.238	B	8.318	S	7.278	BD	8.318	BD	8.838	S	7.798	BD	8.318	BD	8.318	T	7.278	S	7.278	T
Nov	7.798	B	6.238	BD	5.718	BD	7.798	T	8.318	B	6.238	B	7.798	TL	6.238	BD	6.758	T	7.798	B	7.278	TL	8.318	T	8.318	BD	8.838	T
Dec	7.798	U	8.318	BD	5.718	BD	6.238	U	5.718	T	7.798	B	6.758	T	6.238	BD	5.718	TL	6.238	B	8.318	S	10.917	BL	6.238	U	8.838	TL

Table 13. Hasil analisa kecepatan dan arah mata angin laut untuk peramalan gelombang (UA)

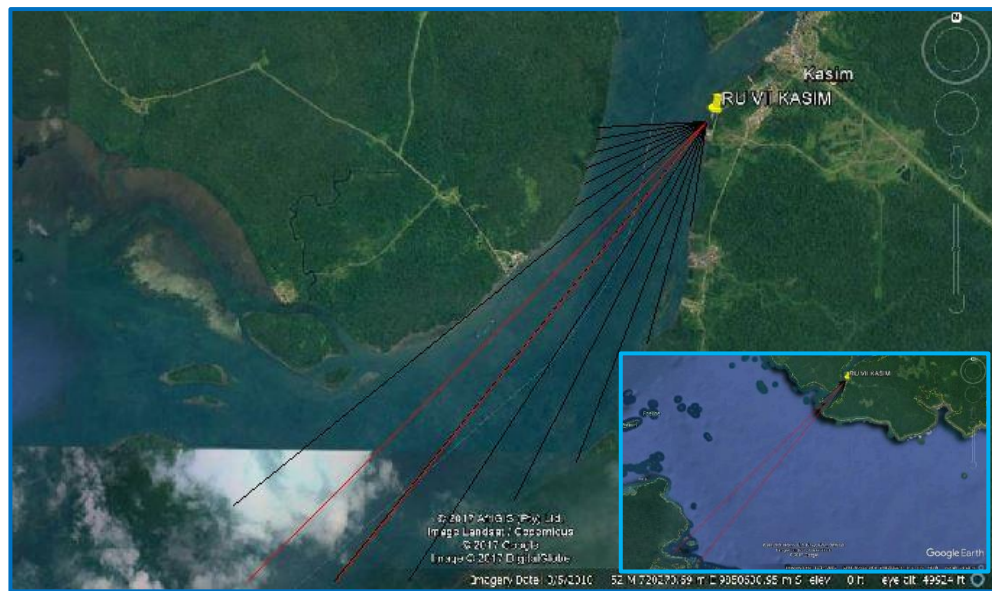
Bulan	Kecepatandan Arah Mata Angin untuk Peramalan Gelombang, pada Tahun :																											
	2007		2008		2009		2010		2011		2012		2013		2014		2015		2016		2017		2018		2019		2020	
Jan	7.446	U	6.748	BL	6.748	BL	7.446	U	7.446	B	9.613	T	9.613	T	8.157	BL	8.157	BL	8.880	U	11.876	TG	2.877	U	9.613	TL	8.157	TL
Feb	6.748	B	11.112	U	12.649	BL	8.157	TL	11.112	T	6.063	T	6.063	T	9.613	TL	8.157	BL	6.063	TL	11.876	U	2.877	B	8.157	U	6.748	U
Mar	8.880	U	7.446	BD	6.748	BL	7.446	U	8.157	T	8.157	T	6.063	B	8.157	TL	9.613	TL	7.446	TL	8.157	U	16.644	TL	11.876	B	8.157	BL
Apr	6.063	B	8.880	U	6.063	BD	5.393	B	6.748	B	6.748	T	8.880	T	9.613	B	8.157	T	8.880	TL	11.876	U	9.613	BD	6.748	TL	8.157	U
May	8.880	U	6.748	U	8.880	BD	6.063	B	8.880	BD	10.357	T	6.748	B	8.880	T	8.157	T	6.063	T	6.748	T	9.613	TL	8.157	T	9.613	T
Jun	8.880	U	10.357	BD	8.157	BD	11.112	B	9.613	S	9.613	TG	8.157	BD	9.613	BD	8.880	S	6.748	T	6.748	T	10.357	TG	9.613	T	10.357	T
Jul	8.880	B	7.446	BD	8.880	BD	5.393	B	8.157	S	6.748	TG	6.063	T	8.157	S	9.613	S	10.357	T	10.357	S	9.613	T	10.357	S	6.748	TG
Aug	9.613	S	6.748	BD	8.157	BD	8.157	B	9.613	S	8.880	S	7.446	T	8.880	S	11.112	S	8.880	TG	8.157	T	23.419	TG	9.613	S	8.157	T
Sep	8.880	S	8.157	BD	8.880	BD	8.157	B	9.613	T	10.357	S	7.446	S	7.446	TG	9.613	S	9.613	S	9.613	U	9.613	S	11.876	S	5.393	BD
Oct	8.880	S	10.357	BD	8.880	BD	10.357	B	6.748	B	9.613	S	8.157	BD	9.613	BD	10.357	S	8.880	BD	9.613	BD	9.613	T	8.157	S	8.157	T
Nov	8.880	B	6.748	BD	6.063	BD	8.880	T	9.613	B	6.748	B	8.880	TL	6.748	BD	7.446	T	8.880	B	8.157	TL	9.613	T	9.613	BD	10.357	T
Dec	8.880	U	9.613	BD	6.063	BD	6.748	U	6.063	T	8.880	B	7.446	T	6.748	BD	6.063	TL	6.748	B	9.613	S	13.432	BL	6.748	U	10.357	TL

4.4.2. Perhitungan Panjang Fetch Efektif

Dalam meramalkan gelombang menggunakan data angin, dibutuhkan penentuan jarak seret angin yang dikenal sebagai Fetch. Panjang fetch dibatasi oleh durasi angin (lamanya angin bertiup) dan halangan geografis, yang dapat berupa pulau atau gusung dan gugusan karang yang muncul ke permukaan saat air surut. Mengingat data angin yang digunakan tidak memiliki data durasi, maka panjang fetch ditentukan dengan menggunakan peta dengan skala. Peta diperoleh dari Software Google Earth. koordinat titik pengambilan fetch adalah UTM X = 724072,709 dan Y = 9853895,218.

Dengan memperhatikan peta, diketahui bahwa arah angin yang dapat membangkitkan gelombang adalah yang dari arah Barat Daya saja. Untuk kecepatan angin dari arah Utara, Timur Laut, Timur, Tenggara, Selatan, Barat dan Barat Laut cenderung tidak membangkitkan gelombang karena berasal dari daratan dan lokasi pekerjaan berada di selat yang dikelilingi oleh pulau.

Berdasarkan perhitungan panjang fetch efektif angin dari Barat Daya adalah 18,87 km. Perhitungan panjang fetch efektif angin dari arah Barat Daya dapat dilihat pada tabel 14 di bawah ini



Gambar 22. Garis Fetch untuk dari arah Barat Daya

Table 14. Analisis panjang fetch arah angin Barat Daya

α (°)	$\cos \alpha$	X_i (km)	$X_i \cos \alpha$
42	0,74314	2,000	1,4863
36	0,80902	2,050	1,6585
30	0,86603	2,175	1,8836
24	0,91355	2,380	2,1742
18	0,95106	2,650	2,5203
12	0,97815	2,950	2,8855
6	0,99452	11,500	11,4370
0	1	96.500	96,5000
6	0,99452	103,600	103,0325
12	0,97815	11,600	11,3465
18	0,95106	8,980	8,5405
24	0,91355	7,160	6,5410
30	0,86603	4,100	3,5507
36	0,80902	1,700	1,3753
42	0,74314	0	0,0000
Total	13.5109		254,9319

$$\begin{aligned}
 F_{eff} &= \frac{\sum X_i \cos \alpha}{\sum \cos \alpha} = \frac{254.9319415}{13.51091739} \\
 &= 18.86858858 \text{ km} &= 18868.6 \text{ m}
 \end{aligned}$$

(Bambang Triadmodjo,hal. 155, 1999)

4.4.3. Analisis Peramalan Gelombang

untuk meramalkan gelombang, diperlukan data angin (arah, kecepatan dan durasinya/lama hembusan angin) serta fetch efektif. Peramalan gelombang harus memperhatikan batasan durasi hembusan angin dan panjang fetch efektif yang menjadi batasan tinggi gelombang yang dapat dibangkitkan pada lautan. Periode dan tinggi gelombang diramalkan menggunakan Metode Shore Protection Manual pada peramalan gelombang yang dibatasi fetch pada perairan dalam (deep water) (US Army Cerc,1984). Hasil peramalan tinggi dan periode gelombang disajikan pada Tabel 15 dan Tabel 16.

- a. Periode Gelombang (perairan dalam)

$$T = 6,238 \times 10^{-2} (U_A \cdot F)^{1/3}$$

- b. Tinggi Gelombang (perairan dalam)

$$H = 5,112 \times 10^{-4} U_A \cdot F^{1/2}$$

- c. Panjang Gelombang

$$L = \frac{g \cdot T^2}{2 \cdot \pi}$$

- d. Tinggi Gelombang Pecah

$$\frac{H_b}{H_0} = 0,563 \left(\frac{H_0}{L} \right)^{-0,2}$$

- e. Kedalaman Gelombang Pecah

$$\frac{d_b}{H_b} = 1,28$$

f. Kecepatan Arus akibat gelombang

$$V = 1,17(gH_b)^{\frac{1}{2}} \cdot \sin\alpha_b \cos\alpha_b$$

Dimana:

- F = panjang fetch (m)
- g = percepatan gravitasi bumi (m/dt²)
- H = tinggi gelombang (m)
- H₀ = tinggi gelombang di laut dalam (m)
- H_b = tinggi gelombang pecah (m)
- d_b = Kedalaman Gelombang Pecah (m)
- L = panjang gelombang (m)
- T = periode gelombang (dt)
- U_A = Kecepatan angin di laut (m)
- V = Kecepatan arus sejajar pantai (m/s)
- α_b = sudut datang gelombang pecah
- L = Panjang Gelombang (m)

Hasil analisis peramalan gelombang berdasarkan data kecepatan angin Stasiun DEO Sorong diperoleh bahwa gelombang yang dapat terjadi berasal dari arah Barat Daya dengan hasil analisis sebagai berikut :

Tinggi Gelombang (Hs)	= 0,727 meter
Periode Gelombang (T)	= 3,620 detik
Tinggi Gelombang Pecah (Hb)	= 0,798 meter
Kedalaman Gelombang Pecah (Db)	= 1.021 meter
Kecepatan Arus	= 1,6367 m/detik

Berdasarkan analisa fetch untuk arah selain Barat Daya dianggap 0 untuk tinggi gelombang serta periode. Karena arah barat, barat laut dan utara memiliki Panjang fetch kurang memadai sehingga menghasilkan gelombang yang kurang signifikan. Untuk Timur laut, timur, tenggara dan selatan tidak memiliki fetch karena merupakan daratan.



Gambar 23. Ilustrasi arah yang memiliki tinggi dan periode dianggap bernilai 0

Data selengkapnya diberikan pada tabel berikut.

Table 15. Tinggi Gelombang Signifikan (Hs = meter) Tahun 2007 – 2020

Bulan	Tinggi dan Arah Rambat Gelombang Signifikan, pada Tahun :																													
	2007		2008		2009		2010		2011		2012		2013		2014		2015		2016		2017		2018		2019		2020			
Jan	0.000	U	0.000	BL	0.000	BL	0.000	U	0.000	B	0.000	T	0.000	T	0.000	BL	0.000	BL	0.000	U	0.000	TG	0.000	U	0.000	TL	0.000	TL		
Feb	0.000	B	0.000	U	0.000	BL	0.000	TL	0.000	T	0.000	T	0.000	T	0.000	TL	0.000	BL	0.000	TL	0.000	U	0.000	B	0.000	U	0.000	U		
Mar	0.000	U	0.523	BD	0.000	BL	0.000	U	0.000	T	0.000	T	0.000	B	0.000	TL	0.000	TL	0.000	U	0.000	TL	0.000	B	0.000	BL				
Apr	0.000	B	0.000	U	0.426	BD	0.000	B	0.000	B	0.000	T	0.000	T	0.000	B	0.000	T	0.000	TL	0.000	U	0.675	BD	0.000	TL	0.000	U		
May	0.000	U	0.000	U	0.624	BD	0.000	B	0.624	BD	0.000	T	0.000	B	0.000	T	0.000	T	0.000	T	0.000	T	0.000	TL	0.000	T	0.000	T		
Jun	0.000	U	0.727	BD	0.573	BD	0.000	B	0.000	S	0.000	TG	0.573	BD	0.675	BD	0.000	S	0.000	T	0.000	T	0.000	TG	0.000	T	0.000	T		
Jul	0.000	B	0.523	BD	0.624	BD	0.000	B	0.000	S	0.000	TG	0.000	T	0.000	S	0.000	S	0.000	T	0.000	S	0.000	T	0.000	S	0.000	TG		
Aug	0.000	S	0.474	BD	0.573	BD	0.000	B	0.000	S	0.000	TG	0.000	T	0.000	S	0.000	S	0.000	TG	0.000	T	0.000	S	0.000	S	0.000	T		
Sep	0.000	S	0.573	BD	0.624	BD	0.000	B	0.000	T	0.000	S	0.000	S	0.000	TG	0.000	S	0.000	S	0.000	U	0.000	S	0.000	S	0.379	BD		
Oct	0.000	S	0.727	BD	0.624	BD	0.000	B	0.000	S	0.573	BD	0.675	BD	0.000	S	0.624	BD	0.675	BD	0.000	T	0.000	S	0.000	T	0.000	S	0.000	T
Nov	0.000	B	0.474	BD	0.426	BD	0.000	T	0.000	B	0.000	TL	0.474	BD	0.000	T	0.000	B	0.000	TL	0.000	T	0.675	BD	0.000	T	0.000	T		
Dec	0.000	U	0.675	BD	0.426	BD	0.000	U	0.000	T	0.000	B	0.000	T	0.474	BD	0.000	TL	0.000	B	0.000	S	0.000	BL	0.000	U	0.000	TL		

Table 16. Periode Gelombang Signifikan (T = detik) Tahun 2007 – 2020

Bulan	Periode dan Arah Rambat Gelombang Signifikan, pada Tahun :																													
	2007		2008		2009		2010		2011		2012		2013		2014		2015		2016		2017		2018		2019		2020			
Jan	0.000	U	0.000	BL	0.000	BL	0.000	U	0.000	B	0.000	T	0.000	T	0.000	BL	0.000	BL	0.000	U	0.000	TG	0.000	U	0.000	TL	0.000	TL		
Feb	0.000	B	0.000	U	0.000	BL	0.000	TL	0.000	T	0.000	T	0.000	T	0.000	TL	0.000	BL	0.000	TL	0.000	U	0.000	B	0.000	U	0.000	U		
Mar	0.000	U	3.243	BD	0.000	BL	0.000	U	0.000	T	0.000	T	0.000	B	0.000	TL	0.000	TL	0.000	U	0.000	TL	0.000	B	0.000	BL				
Apr	0.000	B	0.000	U	3.028	BD	0.000	B	0.000	B	0.000	T	0.000	T	0.000	B	0.000	T	0.000	TL	0.000	U	3.531	BD	0.000	TL	0.000	U		
May	0.000	U	0.000	U	3.439	BD	0.000	B	3.439	BD	0.000	T	0.000	B	0.000	T	0.000	T	0.000	T	0.000	T	0.000	TL	0.000	T	0.000	T		
Jun	0.000	U	3.620	BD	3.343	BD	0.000	B	0.000	S	0.000	TG	3.343	BD	3.531	BD	0.000	S	0.000	T	0.000	T	0.000	TG	0.000	T	0.000	T		
Jul	0.000	B	3.243	BD	3.439	BD	0.000	B	0.000	S	0.000	TG	0.000	T	0.000	S	0.000	S	0.000	T	0.000	S	0.000	T	0.000	S	0.000	TG		
Aug	0.000	S	3.138	BD	3.343	BD	0.000	B	0.000	S	0.000	TG	0.000	T	0.000	S	0.000	S	0.000	TG	0.000	T	0.000	S	0.000	S	0.000	T		
Sep	0.000	S	3.343	BD	3.439	BD	0.000	B	0.000	S	0.000	TG	0.000	S	0.000	TG	0.000	S	0.000	U	0.000	S	0.000	S	0.000	S	2.912	BD		
Oct	0.000	S	3.620	BD	3.439	BD	0.000	B	0.000	S	3.343	BD	3.531	BD	0.000	S	3.439	BD	3.531	BD	0.000	T	0.000	S	0.000	T	0.000	S	0.000	T
Nov	0.000	B	3.138	BD	3.028	BD	0.000	T	0.000	B	0.000	TL	3.138	BD	0.000	T	0.000	B	0.000	TL	0.000	T	3.531	BD	0.000	T	0.000	T		
Dec	0.000	U	3.531	BD	3.028	BD	0.000	U	0.000	T	0.000	B	0.000	T	3.138	BD	0.000	TL	0.000	B	0.000	S	0.000	BL	0.000	U	0.000	TL		

Table 17. Panjang dan arah Rambat Gelombang Signifikan (L = meter) Tahun 2007 - 2020

Bulan	Panjang dan Arah Rambat Gelombang Signifikan, pada Tahun :																			
	2007	2008	2009	2010	2011	2012	2013	2014	2015	2016	2017	2018	2019	2020	2007	2008	2009	2010	2011	2012
Jan	0.000	U	0.000	BL	0.000	BL	0.000	U	0.000	B	0.000	T	0.000	T	0.000	BL	0.000	BL	0.000	U
Feb	0.000	B	0.000	U	0.000	BL	0.000	TL	0.000	T	0.000	T	0.000	T	0.000	TL	0.000	BL	0.000	U
Mar	0.000	U	16.403	BD	0.000	BL	0.000	U	0.000	T	0.000	T	0.000	B	0.000	TL	0.000	TL	0.000	BL
Apr	0.000	B	0.000	U	14.303	BD	0.000	B	0.000	B	0.000	T	0.000	T	0.000	B	0.000	TL	0.000	U
May	0.000	U	0.000	U	18.446	BD	0.000	B	18.446	BD	0.000	T	0.000	B	0.000	T	0.000	T	0.000	T
Jun	0.000	U	20.439	BD	17.431	BD	0.000	B	0.000	S	0.000	TG	17.431	BD	19.448	BD	0.000	S	0.000	T
Jul	0.000	B	16.403	BD	18.446	BD	0.000	B	0.000	S	0.000	TG	0.000	T	0.000	S	0.000	T	0.000	TG
Aug	0.000	S	15.361	BD	17.431	BD	0.000	B	0.000	S	0.000	S	0.000	T	0.000	S	0.000	TG	0.000	S
Sep	0.000	S	17.431	BD	18.446	BD	0.000	B	0.000	T	0.000	S	0.000	TG	0.000	S	0.000	U	0.000	S
Oct	0.000	S	20.439	BD	18.446	BD	0.000	B	0.000	B	0.000	S	17.431	BD	19.448	BD	0.000	S	18.446	BD
Nov	0.000	B	15.361	BD	14.303	BD	0.000	T	0.000	B	0.000	B	0.000	TL	15.361	BD	0.000	T	0.000	T
Dec	0.000	U	19.448	BD	14.303	BD	0.000	U	0.000	T	0.000	B	0.000	T	15.361	BD	0.000	TL	0.000	BL

Table 18. Tinggi Gelombang Pecah (HB = meter) Tahun 2007 - 2020

Bulan	Tinggi gelombang pecah, pada Tahun :																			
	2007	2008	2009	2010	2011	2012	2013	2014	2015	2016	2017	2018	2019	2020	2007	2008	2009	2010	2011	2012
Jan	0.000	U	0.000	BL	0.000	BL	0.000	U	0.000	B	0.000	T	0.000	T	0.000	BL	0.000	BL	0.000	U
Feb	0.000	B	0.000	U	0.000	BL	0.000	TL	0.000	T	0.000	T	0.000	T	0.000	BL	0.000	BL	0.000	U
Mar	0.000	U	0.586	BD	0.000	BL	0.000	U	0.000	T	0.000	T	0.000	B	0.000	TL	0.000	U	0.000	BL
Apr	0.000	B	0.000	U	0.484	BD	0.000	B	0.000	B	0.000	T	0.000	T	0.000	BL	0.000	U	0.744	BD
May	0.000	U	0.000	U	0.691	BD	0.000	B	0.000	BD	0.000	T	0.000	B	0.000	T	0.000	T	0.000	T
Jun	0.000	U	0.798	BD	0.639	BD	0.000	B	0.000	S	0.000	TG	0.639	BD	0.744	BD	0.000	S	0.000	T
Jul	0.000	B	0.586	BD	0.691	BD	0.000	B	0.000	S	0.000	TG	0.000	T	0.000	S	0.000	T	0.000	TG
Aug	0.000	S	0.535	BD	0.639	BD	0.000	B	0.000	S	0.000	TG	0.000	T	0.000	S	0.000	TG	0.000	T
Sep	0.000	S	0.639	BD	0.691	BD	0.000	B	0.000	T	0.000	S	0.000	TG	0.000	S	0.000	U	0.000	S
Oct	0.000	S	0.798	BD	0.691	BD	0.000	B	0.000	B	0.000	S	0.639	BD	0.744	BD	0.000	S	0.691	BD
Nov	0.000	B	0.535	BD	0.484	BD	0.000	T	0.000	B	0.000	TL	0.535	BD	0.000	T	0.000	BL	0.744	BD
Dec	0.000	U	0.744	BD	0.484	BD	0.000	U	0.000	T	0.000	B	0.000	T	0.535	BD	0.000	TL	0.744	BD
MIN	0.000	0.000	0.000	0.000	0.000	0.000	0.000	0.000	0.000	0.000	0.000	0.000	0.000	0.000	0.000	0.000	0.000	0.000	0.000	
MAX	0.000	0.798	0.691	0.000	0.000	0.000	0.000	0.639	0.744	0.000	0.000	0.691	0.744	0.000	0.744	0.000	0.744	0.000	0.434	

Table 19. Kedalaman Gelombang Pecah (dB = meter) Tahun 2007 - 2020

Bulan	Kedalaman gelombang pecah, pada Tahun :																												
	2007		2008		2009		2010		2011		2012		2013		2014		2015		2016		2017		2018		2019		2020		
Jan	0.000	U	0.000	BL	0.000	BL	0.000	U	0.000	B	0.000	T	0.000	T	0.000	BL	0.000	BL	0.000	U	0.000	TG	0.000	U	0.000	TL	0.000	TL	
Feb	0.000	B	0.000	U	0.000	BL	0.000	TL	0.000	T	0.000	T	0.000	T	0.000	TL	0.000	BL	0.000	TL	0.000	U	0.000	B	0.000	U	0.000	U	
Mar	0.000	U	0.751	BD	0.000	BL	0.000	U	0.000	T	0.000	T	0.000	B	0.000	TL	0.000	TL	0.000	U	0.000	TL	0.000	B	0.000	BL	0.000	BL	
Apr	0.000	B	0.000	U	0.620	BD	0.000	B	0.000	B	0.000	T	0.000	T	0.000	B	0.000	T	0.000	TL	0.000	U	0.953	BD	0.000	TL	0.000	U	
May	0.000	U	0.000	U	0.885	BD	0.000	B	0.000	BD	0.000	T	0.000	B	0.000	T	0.000	T	0.000	T	0.000	T	0.000	TL	0.000	T	0.000	T	
Jun	0.000	U	1.021	BD	0.817	BD	0.000	B	0.000	S	0.000	TG	0.817	BD	0.953	BD	0.000	S	0.000	T	0.000	T	0.000	TG	0.000	T	0.000	T	
Jul	0.000	B	0.751	BD	0.885	BD	0.000	B	0.000	S	0.000	TG	0.000	T	0.000	S	0.000	S	0.000	T	0.000	S	0.000	T	0.000	S	0.000	TG	
Aug	0.000	S	0.685	BD	0.817	BD	0.000	B	0.000	S	0.000	S	0.000	T	0.000	S	0.000	S	0.000	TG	0.000	T	0.000	TG	0.000	S	0.000	T	
Sep	0.000	S	0.817	BD	0.885	BD	0.000	B	0.000	T	0.000	S	0.000	S	0.000	TG	0.000	S	0.000	U	0.000	S	0.000	S	0.555	BD	0.000	BD	
Oct	0.000	S	1.021	BD	0.885	BD	0.000	B	0.000	B	0.000	S	0.817	BD	0.953	BD	0.000	S	0.885	BD	0.953	BD	0.000	T	0.000	S	0.000	T	
Nov	0.000	B	0.685	BD	0.620	BD	0.000	T	0.000	B	0.000	TL	0.685	BD	0.000	T	0.000	B	0.000	TL	0.000	T	0.953	BD	0.000	T	0.000	T	
Dec	0.000	U	0.953	BD	0.620	BD	0.000	U	0.000	T	0.000	B	0.000	T	0.685	BD	0.000	TL	0.000	B	0.000	S	0.000	BL	0.000	U	0.000	TL	
MIN	0.000		0.000		0.000		0.000		0.000		0.000		0.000		0.000		0.000		0.000		0.000		0.000		0.000		0.000		0.000
MAX	0.000		1.021		0.885		0.000		0.000		0.000		0.817		0.953		0.000		0.885		0.953		0.953		0.555		0.000		0.555

Table 20. Kecepatan Arus Sejajar Pantai (V = m/s) Tahun 2007 - 2020

Bulan	Kecepatan arus akibat gelombang, pada Tahun :																												
	2007		2008		2009		2010		2011		2012		2013		2014		2015		2016		2017		2018		2019		2020		
Jan	0	U	0	BL	0	BL	0	U	0	B	0	T	0	T	0	BL	0	BL	0	U	0	TG	0	U	0	TL	0	TL	
Feb	0	B	0	U	0	BL	0	TL	0	T	0	T	0	T	0	TL	0	BL	0	TL	0	U	0	B	0	U	0	U	
Mar	0	U	1.4031	BD	0	BL	0	U	0	T	0	T	0	B	0	TL	0	TL	0	TL	0	U	0	TL	0	B	0	BL	
Apr	0	B	0	U	1.2748	BD	0	B	0	B	0	T	0	T	0	B	0	T	0	TL	0	U	1.58075	BD	0	TL	0	U	
May	0	U	0	U	1.5233	BD	0	B	0	1.5233	BD	0	T	0	B	0	T	0	T	0	T	0	T	0	TL	0	T	0	T
Jun	0	U	1.6367	BD	1.4641	BD	0	B	0	S	0	TG	1.4641	BD	1.5808	BD	0	S	0	T	0	T	0	TG	0	T	0	T	
Jul	0	B	1.4031	BD	1.5233	BD	0	B	0	S	0	TG	0	T	0	S	0	S	0	T	0	S	0	T	0	S	0	TG	
Aug	0	S	1.3401	BD	1.4641	BD	0	B	0	S	0	S	0	T	0	S	0	S	0	TG	0	T	0	TG	0	S	0	T	
Sep	0	S	1.4641	BD	1.5233	BD	0	B	0	T	0	S	0	S	0	TG	0	S	0	S	0	U	0	S	0	S	1.207	BD	
Oct	0	S	1.6367	BD	1.5233	BD	0	B	0	B	0	S	1.4641	BD	1.5808	BD	0	S	1.5233	BD	1.58075	BD	0	T	0	S	0	T	
Nov	0	B	1.3401	BD	1.2748	BD	0	T	0	B	0	B	0	TL	1.3401	BD	0	T	0	B	0	TL	0	T	1.5808	BD	0	T	
Dec	0	U	1.5808	BD	1.2748	BD	0	U	0	T	0	B	0	T	1.3401	BD	0	TL	0	B	0	S	0	BL	0	U	0	TL	

BAB 5. KESIMPULAN DAN SARAN

5.1. KESIMPULAN

Berdasarkan penelitian yang telah dilakukan dapat disimpulkan bahwa :

1. Hasil analisis bathimetri perairan Selat Seget Kabupaten Sorong diperoleh kedalaman terendah 0,398 m hingga terdalam 63,873 m. Hasil analisa pasang surut diperoleh nilai LWS +0,00 berada pada elevasi 106,37 cm peilschaal.
2. Hasil analisis peramalan gelombang berdasarkan data kecepatan angin Stasiun DEO Sorong diperoleh bahwa gelombang yang dapat terjadi berasal dari arah Barat Daya dengan hasil analisis tinggi gelombang (H_s) = 0,727 meter, periode gelombang (T) = 3,620 detik, tinggi gelombang pecah (H_b) = 0,798 meter, kedalaman gelombang pecah (D_b) = 1.021 meter, dan kecepatan arus = 1,6367 m/detik

5.2. SARAN

Berdasarkan hasil penelitian, diusulkan beberapa saran sebagai berikut:

1. Saat melakukan survei Bathimetri sebaiknya kecepatan perahu tidak lebih dari 10 km/jam agar pembacaan alat Bathimetri lebih maksimal.

DAFTAR PUSTAKA

- Mamoto, J. D., M. Ihsan, Jasin., Agitha, P. Kurniawan. 2019. *Analisis Data Pasang Surut di Pantai Sindulang Kota Manado*. Jurnal Sipil Statik Vol.7 No.5, Universitas Sam Ratulangi. Manado
- Pasomba', Theodorus., Tommy, Jansen., M. Ihsan, Jasin. 2019. *Analisis Pasang Surut Pada Daerah Pantai Tobolo Kelurahan Tobolo Kota Ternate Provinsi Maluku Utara*. Jurnal Sipil Statik Vol.7 No.11, Universitas Sam Ratulangi. Manado
- Praktikto, W.A 2000. Perencanaan *Fasilitas Pantai dan Laut*. BPFE-Yogyakarta, Yogyakarta.
- Suryoputro., Riki, Tristanto., Purwanto., Mukti, Trenggono., Gentur, Handoyo., Agus, Anugroho, Dwi. 2020. *Analisis Peramalan dan Periode Ulang Gelombang di Perairan Bagian Timur Pulau Lirang, Maluku Barat Daya*. Indonesian Journal of Oceanography Vol 02, Universitas Diponegoro.
- Triadmodjo, Bambang. 1999. *Teknik Pantai*. Penerbit Beta Offset.Yogyakarta.
- Triadmodjo, Bambang. 1992. *Dasar-dasar dan Perencanaan Bangunan Pantai*. Penerbit FTTGM., Yogyakarta

LAMPIRAN

Lampiran 1 Data Bathimetri

Table 21. Data bathimetri

No.	Easting	Northing	Elevasi	Deskripsi
1	724511.000	9854535.000	-17.706	BatimetriJet1
2	724521.000	9854542.000	-15.906	BatimetriJet1
3	724528.000	9854547.000	-15.506	BatimetriJet1
4	724537.000	9854556.000	-14.806	BatimetriJet1
5	724545.000	9854564.000	-14.706	BatimetriJet1
6	724550.000	9854573.000	-15.005	BatimetriJet1
7	724551.000	9854581.000	-16.205	BatimetriJet1
8	724551.000	9854590.000	-18.005	BatimetriJet1
9	724552.000	9854596.000	-17.805	BatimetriJet1
10	724554.000	9854603.000	-17.705	BatimetriJet1
11	724556.000	9854611.000	-17.704	BatimetriJet1
12	724566.000	9854620.000	-17.904	BatimetriJet1
13	724579.000	9854630.000	-18.804	BatimetriJet1
14	724587.000	9854636.000	-18.704	BatimetriJet1
15	724596.000	9854643.000	-18.003	BatimetriJet1
16	724606.000	9854650.000	-16.903	BatimetriJet1
17	724615.000	9854657.000	-15.403	BatimetriJet1
18	724624.000	9854665.000	-12.703	BatimetriJet1
19	724633.000	9854672.000	-11.603	BatimetriJet1
20	724643.000	9854680.000	-11.303	BatimetriJet1
21	724652.000	9854687.000	-11.502	BatimetriJet1
22	724661.000	9854693.000	-11.702	BatimetriJet1
23	724668.000	9854700.000	-11.202	BatimetriJet1
24	724675.000	9854705.000	-11.102	BatimetriJet1
25	724684.000	9854706.000	-11.102	BatimetriJet1
26	724691.000	9854704.000	-9.702	BatimetriJet1
27	724698.000	9854700.000	-9.701	BatimetriJet1
28	724708.000	9854690.000	-11.301	BatimetriJet1
29	724707.000	9854685.000	-17.401	BatimetriJet1
30	724704.000	9854679.000	-17.401	BatimetriJet1
31	724691.000	9854674.000	-18.700	BatimetriJet1
32	724677.000	9854672.000	-5.300	BatimetriJet1

No.	Easting	Northing	Elevasi	Deskripsi
33	724664.000	9854670.000	-5.200	BatimetriJet1
34	724653.000	9854668.000	-6.699	BatimetriJet1
35	724644.000	9854664.000	-8.999	BatimetriJet1
36	724634.000	9854659.000	-11.199	BatimetriJet1
37	724626.000	9854653.000	-13.399	BatimetriJet1
38	724621.000	9854645.000	-16.299	BatimetriJet1
39	724613.000	9854639.000	-18.898	BatimetriJet1
40	724606.000	9854630.000	-20.098	BatimetriJet1
41	724600.000	9854621.000	-19.098	BatimetriJet1
42	724593.000	9854612.000	-20.298	BatimetriJet1
43	724587.000	9854603.000	-19.597	BatimetriJet1
44	724579.000	9854594.000	-18.897	BatimetriJet1
45	724573.000	9854585.000	-17.497	BatimetriJet1
46	724569.000	9854577.000	-15.897	BatimetriJet1
47	724570.000	9854572.000	-14.097	BatimetriJet1
48	724670.000	9854602.000	-17.694	BatimetriJet1
49	724680.000	9854606.000	-18.293	BatimetriJet1
50	724716.000	9854643.000	-19.492	BatimetriJet1
51	724722.000	9854650.000	-20.092	BatimetriJet1
52	724728.000	9854656.000	-20.592	BatimetriJet1
53	724735.000	9854661.000	-20.392	BatimetriJet1
54	724778.000	9854638.000	-14.787	BatimetriJet1
55	724750.000	9854628.000	-20.981	BatimetriJet1
56	724777.000	9854639.000	-15.281	BatimetriJet1
57	724762.000	9854623.000	-15.380	BatimetriJet1
58	724753.000	9854630.000	-21.280	BatimetriJet1
59	724755.000	9854636.000	-21.680	BatimetriJet1
60	724740.000	9854639.000	-21.280	BatimetriJet1
61	724731.000	9854636.000	-21.079	BatimetriJet1
62	724719.000	9854628.000	-20.679	BatimetriJet1
63	724706.000	9854623.000	-20.278	BatimetriJet1
64	724696.000	9854617.000	-18.978	BatimetriJet1
65	724686.000	9854611.000	-17.878	BatimetriJet1
66	724677.000	9854606.000	-17.978	BatimetriJet1
67	724668.000	9854599.000	-17.577	BatimetriJet1
68	724659.000	9854592.000	-17.677	BatimetriJet1
69	724622.000	9854574.000	-15.276	BatimetriJet1
70	724613.000	9854568.000	-14.476	BatimetriJet1
71	724604.000	9854563.000	-13.576	BatimetriJet1

No.	Easting	Northing	Elevasi	Deskripsi
72	724594.000	9854558.000	-12.775	BatimetriJet1
73	724586.000	9854558.000	-12.875	BatimetriJet1
74	724587.000	9854551.000	-12.175	BatimetriJet1
75	724590.000	9854543.000	-3.574	BatimetriJet1
76	724599.000	9854544.000	-3.774	BatimetriJet1
77	724719.000	9854587.000	-10.372	BatimetriJet1
78	724728.000	9854591.000	-10.871	BatimetriJet1
79	724737.000	9854594.000	-10.671	BatimetriJet1
80	724745.000	9854600.000	-11.671	BatimetriJet1
81	724754.000	9854602.000	-14.171	BatimetriJet1
82	724759.000	9854604.000	-14.071	BatimetriJet1
83	724761.000	9854606.000	-14.971	BatimetriJet1
84	724764.000	9854603.000	-8.870	BatimetriJet1
85	724761.000	9854591.000	-1.170	BatimetriJet1
86	724711.000	9854569.000	-0.966	BatimetriJet1
87	724701.000	9854563.000	-0.666	BatimetriJet1
88	724690.000	9854559.000	-0.666	BatimetriJet1
89	724578.000	9854547.000	-7.662	BatimetriJet1
90	724570.000	9854556.000	-12.762	BatimetriJet1
91	724565.000	9854564.000	-15.762	BatimetriJet1
92	724570.000	9854570.000	-15.462	BatimetriJet1
93	724576.000	9854575.000	-15.161	BatimetriJet1
94	724581.000	9854577.000	-16.661	BatimetriJet1
95	724587.000	9854577.000	-16.661	BatimetriJet1
96	724608.000	9854581.000	-17.460	BatimetriJet1
97	724623.000	9854584.000	-18.860	BatimetriJet1
98	724635.000	9854590.000	-18.460	BatimetriJet1
99	724645.000	9854596.000	-18.360	BatimetriJet1
100	724654.000	9854603.000	-19.360	BatimetriJet1
101	724663.000	9854611.000	-20.859	BatimetriJet1
102	724672.000	9854618.000	-19.159	BatimetriJet1
103	724681.000	9854625.000	-17.359	BatimetriJet1
104	724690.000	9854633.000	-18.059	BatimetriJet1
105	724699.000	9854641.000	-19.159	BatimetriJet1
106	724708.000	9854649.000	-20.159	BatimetriJet1
107	724717.000	9854657.000	-21.159	BatimetriJet1
108	724725.000	9854666.000	-21.758	BatimetriJet1
109	724734.000	9854672.000	-23.258	BatimetriJet1
110	724739.000	9854679.000	-24.058	BatimetriJet1

No.	Easting	Northing	Elevasi	Deskripsi
111	724740.000	9854685.000	-24.958	BatimetriJet1
112	724740.000	9854696.000	-22.558	BatimetriJet1
113	724736.000	9854701.000	-24.058	BatimetriJet1
114	724725.000	9854700.000	-20.357	BatimetriJet1
115	724713.000	9854694.000	-16.557	BatimetriJet1
116	724706.000	9854686.000	-17.057	BatimetriJet1
117	724697.000	9854677.000	-16.157	BatimetriJet1
118	724688.000	9854667.000	-12.657	BatimetriJet1
119	724683.000	9854659.000	-12.756	BatimetriJet1
120	724675.000	9854650.000	-13.156	BatimetriJet1
121	724670.000	9854641.000	-15.056	BatimetriJet1
122	724663.000	9854633.000	-15.056	BatimetriJet1
123	724657.000	9854626.000	-15.856	BatimetriJet1
124	724650.000	9854619.000	-17.356	BatimetriJet1
125	724640.000	9854609.000	-18.755	BatimetriJet1
126	724635.000	9854601.000	-19.255	BatimetriJet1
127	724630.000	9854595.000	-17.955	BatimetriJet1
128	724625.000	9854589.000	-17.755	BatimetriJet1
129	724618.000	9854582.000	-17.255	BatimetriJet1
130	724607.000	9854577.000	-16.455	BatimetriJet1
131	724596.000	9854571.000	-15.254	BatimetriJet1
132	724585.000	9854567.000	-15.254	BatimetriJet1
133	724573.000	9854561.000	-15.354	BatimetriJet1
134	724565.000	9854556.000	-14.954	BatimetriJet1
135	724558.000	9854554.000	-14.154	BatimetriJet1
136	724551.000	9854551.000	-14.053	BatimetriJet1
137	724545.000	9854549.000	-14.153	BatimetriJet1
138	724529.000	9854546.000	-13.753	BatimetriJet1
139	724518.000	9854542.000	-15.153	BatimetriJet1
140	724506.000	9854541.000	-16.653	BatimetriJet1
141	724495.000	9854537.000	-17.853	BatimetriJet1
142	724484.000	9854534.000	-18.853	BatimetriJet1
143	724477.000	9854529.000	-18.352	BatimetriJet1
144	724471.000	9854529.000	-17.552	BatimetriJet1
145	724468.000	9854526.000	-19.352	BatimetriJet1
146	724463.000	9854528.000	-17.952	BatimetriJet1
147	724467.000	9854531.000	-17.952	BatimetriJet1
148	724681.036	9854552.587	-0.185	BatimetriJet1

No.	Easting	Northing	Elevasi	Deskripsi
1	724075	9853921	-3.018	BatimetriJet3
2	724071	9853944	-11.424	BatimetriJet3
3	724070	9853948	-12.124	BatimetriJet3
4	724076	9853954	-8.325	BatimetriJet3
5	724081	9853967	-7.625	BatimetriJet3
6	724085	9853984	-9.825	BatimetriJet3
7	724088	9853997	-10.125	BatimetriJet3
8	724090	9854007	-9.725	BatimetriJet3
9	724091	9854017	-10.226	BatimetriJet3
10	724092	9854026	-10.126	BatimetriJet3
11	724093	9854034	-9.326	BatimetriJet3
12	724094	9854041	-9.326	BatimetriJet3
13	724094	9854049	-10.126	BatimetriJet3
14	724094	9854057	-10.527	BatimetriJet3
15	724094	9854066	-11.327	BatimetriJet3
16	724094	9854067	-10.628	BatimetriJet3
17	724092	9854082	-11.329	BatimetriJet3
18	724097	9854094	-10.129	BatimetriJet3
19	724096	9854096	-10.729	BatimetriJet3
20	724075	9854082	-16.930	BatimetriJet3
21	724075	9854070	-17.030	BatimetriJet3
22	724075	9854061	-16.930	BatimetriJet3
23	724074	9854051	-16.830	BatimetriJet3
24	724073	9854039	-16.930	BatimetriJet3
25	724072	9854027	-16.230	BatimetriJet3
26	724073	9854014	-16.730	BatimetriJet3
27	724073	9854001	-16.730	BatimetriJet3
28	724071	9853995	-15.831	BatimetriJet3
29	724074	9853987	-14.931	BatimetriJet3
30	724073	9853974	-13.831	BatimetriJet3
31	724071	9853961	-12.231	BatimetriJet3
32	724074	9853947	-10.431	BatimetriJet3
33	724072	9853938	-8.531	BatimetriJet3
34	724073	9853931	-6.031	BatimetriJet3
35	724074	9853927	-5.731	BatimetriJet3

No.	Easting	Northing	Elevasi	Deskripsi
36	724074	9853927	-4.031	BatimetriJet3
37	724059	9853910	-9.732	BatimetriJet3
38	724050	9853899	-12.032	BatimetriJet3
39	724044	9853894	-13.932	BatimetriJet3
40	724039	9853886	-14.632	BatimetriJet3
41	724033	9853878	-15.832	BatimetriJet3
42	724025	9853871	-17.232	BatimetriJet3
43	724022	9853864	-18.132	BatimetriJet3
44	724013	9853854	-18.332	BatimetriJet3
45	724006	9853845	-18.132	BatimetriJet3
46	724003	9853836	-17.632	BatimetriJet3
47	723994	9853829	-17.532	BatimetriJet3
48	723993	9853821	-17.232	BatimetriJet3
49	723990	9853815	-16.832	BatimetriJet3
50	723987	9853814	-16.333	BatimetriJet3
51	723987	9853814	-16.433	BatimetriJet3
52	723973	9853826	-28.135	BatimetriJet3
53	723988	9853840	-27.435	BatimetriJet3
54	724000	9853849	-24.735	BatimetriJet3
55	724006	9853854	-23.435	BatimetriJet3
56	724015	9853859	-21.835	BatimetriJet3
57	724019	9853863	-21.135	BatimetriJet3
58	724026	9853869	-20.135	BatimetriJet3
59	724032	9853875	-18.335	BatimetriJet3
60	724040	9853883	-17.035	BatimetriJet3
61	724048	9853891	-15.535	BatimetriJet3
62	724055	9853898	-14.435	BatimetriJet3
63	724061	9853904	-11.635	BatimetriJet3
64	724066	9853908	-10.535	BatimetriJet3
65	724068	9853912	-9.335	BatimetriJet3
66	724062	9853919	-11.535	BatimetriJet3
67	724061	9853920	-13.236	BatimetriJet3
68	724076	9853933	-4.836	BatimetriJet3
69	724074	9853927	-2.836	BatimetriJet3
70	724075	9853934	-4.736	BatimetriJet3
71	724075	9853937	-6.236	BatimetriJet3
72	724070	9853956	-11.737	BatimetriJet3
73	724072	9853968	-12.837	BatimetriJet3
74	724074	9853979	-13.937	BatimetriJet3

No.	Easting	Northing	Elevasi	Deskripsi
75	724075	9853991	-14.137	BatimetriJet3
76	724079	9854001	-14.937	BatimetriJet3
77	724079	9854010	-14.837	BatimetriJet3
78	724080	9854019	-15.137	BatimetriJet3
79	724080	9854028	-14.937	BatimetriJet3
80	724080	9854037	-15.237	BatimetriJet3
81	724082	9854048	-15.837	BatimetriJet3
82	724084	9854056	-15.737	BatimetriJet3
83	724084	9854068	-15.337	BatimetriJet3
84	724085	9854077	-15.437	BatimetriJet3
85	724086	9854087	-15.137	BatimetriJet3
86	724085	9854098	-14.937	BatimetriJet3
87	724088	9854108	-12.837	BatimetriJet3
88	724095	9854114	-10.837	BatimetriJet3
89	724101	9854121	-8.337	BatimetriJet3
90	724105	9854129	-4.137	BatimetriJet3
91	724104	9854138	-6.137	BatimetriJet3
92	724102	9854148	-6.837	BatimetriJet3
93	724093	9854155	-10.937	BatimetriJet3
94	724081	9854158	-14.637	BatimetriJet3
95	724068	9854161	-17.537	BatimetriJet3
96	724054	9854162	-23.337	BatimetriJet3
97	724042	9854164	-26.037	BatimetriJet3
98	724031	9854165	-28.837	BatimetriJet3
99	724021	9854163	-31.237	BatimetriJet3
100	724013	9854168	-33.137	BatimetriJet3
101	724005	9854172	-34.337	BatimetriJet3
102	723993	9854175	-36.737	BatimetriJet3
103	723982	9854181	-38.937	BatimetriJet3
104	723970	9854184	-40.637	BatimetriJet3
105	723960	9854186	-42.537	BatimetriJet3
106	723948	9854191	-43.837	BatimetriJet3
107	723940	9854192	-45.437	BatimetriJet3
108	723928	9854194	-46.837	BatimetriJet3
109	723919	9854196	-48.137	BatimetriJet3
110	723907	9854198	-48.637	BatimetriJet3
111	723898	9854199	-50.737	BatimetriJet3
112	723889	9854202	-52.037	BatimetriJet3
113	723878	9854201	-53.737	BatimetriJet3

No.	Easting	Northing	Elevasi	Deskripsi
114	723869	9854203	-55.737	BatimetriJet3
115	723856	9854202	-57.537	BatimetriJet3
116	723846	9854205	-58.437	BatimetriJet3
117	723833	9854205	-59.437	BatimetriJet3
118	723821	9854207	-60.237	BatimetriJet3
119	723813	9854205	-61.437	BatimetriJet3
120	723806	9854204	-62.537	BatimetriJet3
121	723799	9854195	-62.737	BatimetriJet3
122	723791	9854184	-61.837	BatimetriJet3
123	723786	9854177	-63.437	BatimetriJet3
124	723773	9854170	-63.537	BatimetriJet3
125	723768	9854167	-63.537	BatimetriJet3
126	723755	9854160	-64.037	BatimetriJet3
127	723752	9854154	-64.637	BatimetriJet3
128	723751	9854146	-63.537	BatimetriJet3
129	723751	9854135	-64.437	BatimetriJet3
130	723750	9854122	-64.937	BatimetriJet3
131	723755	9854115	-64.437	BatimetriJet3
132	723763	9854111	-64.337	BatimetriJet3
133	723774	9854114	-62.937	BatimetriJet3
134	723783	9854112	-62.737	BatimetriJet3
135	723793	9854114	-61.737	BatimetriJet3
136	723804	9854116	-62.137	BatimetriJet3
137	723816	9854119	-61.737	BatimetriJet3
138	723828	9854117	-61.737	BatimetriJet3
139	723839	9854116	-60.937	BatimetriJet3
140	723848	9854116	-60.137	BatimetriJet3
141	723856	9854118	-60.737	BatimetriJet3
142	723865	9854115	-60.737	BatimetriJet3
143	723877	9854109	-58.037	BatimetriJet3
144	723884	9854104	-55.437	BatimetriJet3
145	723896	9854099	-54.237	BatimetriJet3
146	723905	9854093	-53.337	BatimetriJet3
147	723917	9854090	-52.937	BatimetriJet3
148	723926	9854084	-50.437	BatimetriJet3
149	723937	9854081	-50.237	BatimetriJet3
150	723949	9854080	-49.537	BatimetriJet3
151	723957	9854076	-46.837	BatimetriJet3
152	723970	9854074	-45.037	BatimetriJet3

No.	Easting	Northing	Elevasi	Deskripsi
153	723983	9854078	-43.437	BatimetriJet3
154	723997	9854078	-41.737	BatimetriJet3
155	724010	9854081	-40.037	BatimetriJet3
156	724018	9854084	-34.337	BatimetriJet3
157	724026	9854085	-33.637	BatimetriJet3
158	724035	9854087	-32.337	BatimetriJet3
159	724042	9854086	-26.337	BatimetriJet3
160	724050	9854086	-24.237	BatimetriJet3
161	724059	9854083	-24.236	BatimetriJet3
162	724072	9854077	-21.536	BatimetriJet3
163	724075	9854070	-17.236	BatimetriJet3
164	724084	9854065	-15.036	BatimetriJet3
165	724091	9854060	-12.136	BatimetriJet3
166	724098	9854050	-8.536	BatimetriJet3
167	724103	9854039	-5.236	BatimetriJet3
168	724102	9854030	-5.236	BatimetriJet3
169	724102	9854022	-4.436	BatimetriJet3
170	724100	9854016	-4.736	BatimetriJet3
171	724095	9854004	-5.736	BatimetriJet3
172	724093	9853995	-5.336	BatimetriJet3
173	724092	9853982	-4.736	BatimetriJet3
174	724082	9853977	-8.336	BatimetriJet3
175	724071	9853978	-12.636	BatimetriJet3
176	724061	9853985	-16.736	BatimetriJet3
177	724048	9853990	-18.936	BatimetriJet3
178	724036	9853996	-21.136	BatimetriJet3
179	724026	9854001	-21.936	BatimetriJet3
180	724016	9854006	-21.936	BatimetriJet3
181	724005	9854009	-24.136	BatimetriJet3
182	723995	9854013	-28.035	BatimetriJet3
183	723983	9854016	-31.335	BatimetriJet3
184	723973	9854017	-34.635	BatimetriJet3
185	723964	9854023	-37.735	BatimetriJet3
186	723954	9854024	-40.435	BatimetriJet3
187	723941	9854025	-43.135	BatimetriJet3
188	723929	9854022	-45.235	BatimetriJet3
189	723915	9854026	-46.635	BatimetriJet3
190	723904	9854025	-49.035	BatimetriJet3
191	723894	9854023	-50.935	BatimetriJet3

No.	Easting	Northing	Elevasi	Deskripsi
192	723883	9854021	-52.435	BatimetriJet3
193	723874	9854020	-53.835	BatimetriJet3
194	723862	9854020	-55.235	BatimetriJet3
195	723852	9854019	-55.335	BatimetriJet3
196	723843	9854020	-55.635	BatimetriJet3
197	723833	9854022	-56.135	BatimetriJet3
198	723822	9854023	-56.935	BatimetriJet3
199	723812	9854027	-56.435	BatimetriJet3
200	723801	9854030	-57.335	BatimetriJet3
201	723793	9854036	-58.635	BatimetriJet3
202	723784	9854038	-58.335	BatimetriJet3
203	723771	9854041	-59.134	BatimetriJet3
204	723763	9854049	-60.034	BatimetriJet3
205	723751	9854053	-61.534	BatimetriJet3
206	723742	9854056	-61.934	BatimetriJet3
207	723734	9854061	-61.434	BatimetriJet3
208	723721	9854066	-62.534	BatimetriJet3
209	723712	9854066	-62.434	BatimetriJet3
210	723708	9854062	-61.734	BatimetriJet3
211	723700	9854057	-63.934	BatimetriJet3
212	723699	9854044	-61.334	BatimetriJet3
213	723697	9854028	-60.034	BatimetriJet3
214	723693	9854017	-60.034	BatimetriJet3
215	723687	9854007	-60.934	BatimetriJet3
216	723693	9853999	-59.634	BatimetriJet3
217	723696	9853994	-59.334	BatimetriJet3
218	723702	9853987	-60.034	BatimetriJet3
219	723712	9853979	-59.734	BatimetriJet3
220	723724	9853968	-57.933	BatimetriJet3
221	723737	9853963	-59.333	BatimetriJet3
222	723746	9853959	-59.433	BatimetriJet3
223	723753	9853957	-58.233	BatimetriJet3
224	723764	9853952	-58.133	BatimetriJet3
225	723773	9853951	-57.533	BatimetriJet3
226	723784	9853951	-56.633	BatimetriJet3
227	723799	9853948	-57.533	BatimetriJet3
228	723810	9853948	-58.133	BatimetriJet3
229	723821	9853947	-55.333	BatimetriJet3
230	723831	9853945	-55.033	BatimetriJet3

No.	Easting	Northing	Elevasi	Deskripsi
231	723841	9853948	-55.233	BatimetriJet3
232	723852	9853943	-55.633	BatimetriJet3
233	723861	9853946	-54.633	BatimetriJet3
234	723872	9853946	-55.133	BatimetriJet3
235	723883	9853945	-54.432	BatimetriJet3
236	723894	9853943	-54.832	BatimetriJet3
237	723904	9853940	-51.532	BatimetriJet3
238	723912	9853933	-49.832	BatimetriJet3
239	723921	9853930	-48.932	BatimetriJet3
240	723931	9853922	-47.832	BatimetriJet3
241	723939	9853922	-45.332	BatimetriJet3
242	723951	9853920	-42.932	BatimetriJet3
243	723961	9853917	-39.132	BatimetriJet3
244	723974	9853913	-36.532	BatimetriJet3
245	723980	9853913	-32.132	BatimetriJet3
246	723986	9853908	-27.332	BatimetriJet3
247	724001	9853910	-24.732	BatimetriJet3
248	724010	9853908	-22.032	BatimetriJet3
249	724020	9853905	-21.132	BatimetriJet3
250	724032	9853905	-19.332	BatimetriJet3
251	724042	9853901	-16.731	BatimetriJet3
252	724053	9853903	-13.431	BatimetriJet3
253	724059	9853900	-10.131	BatimetriJet3
254	724061	9853898	-7.431	BatimetriJet3
255	724061	9853896	-5.131	BatimetriJet3
256	724058	9853883	-5.531	BatimetriJet3
257	724051	9853873	-7.431	BatimetriJet3
258	724045	9853864	-9.031	BatimetriJet3
259	724039	9853854	-10.031	BatimetriJet3
260	724027	9853846	-12.730	BatimetriJet3
261	724020	9853848	-14.830	BatimetriJet3
262	724010	9853851	-16.930	BatimetriJet3
263	723998	9853855	-18.830	BatimetriJet3
264	723988	9853860	-20.730	BatimetriJet3
265	723976	9853864	-23.130	BatimetriJet3
266	723966	9853869	-25.930	BatimetriJet3
267	723957	9853868	-28.830	BatimetriJet3
268	723947	9853867	-31.530	BatimetriJet3
269	723937	9853868	-33.829	BatimetriJet3

No.	Easting	Northing	Elevasi	Deskripsi
270	723926	9853869	-35.629	BatimetriJet3
271	723918	9853866	-36.929	BatimetriJet3
272	723910	9853867	-38.729	BatimetriJet3
273	723898	9853868	-40.529	BatimetriJet3
274	723889	9853872	-42.629	BatimetriJet3
275	723878	9853877	-44.929	BatimetriJet3
276	723868	9853880	-47.129	BatimetriJet3
277	723861	9853880	-49.828	BatimetriJet3
278	723848	9853890	-51.128	BatimetriJet3
279	723839	9853890	-52.628	BatimetriJet3
280	723827	9853895	-52.628	BatimetriJet3
281	723816	9853897	-53.028	BatimetriJet3
282	723805	9853895	-53.528	BatimetriJet3
283	723793	9853891	-52.528	BatimetriJet3
284	723782	9853887	-53.428	BatimetriJet3
285	723770	9853884	-54.527	BatimetriJet3
286	723760	9853880	-55.727	BatimetriJet3
287	723751	9853876	-56.927	BatimetriJet3
288	723740	9853874	-58.227	BatimetriJet3
289	723735	9853873	-59.427	BatimetriJet3
290	723726	9853872	-60.327	BatimetriJet3
291	723714	9853878	-59.627	BatimetriJet3
292	723707	9853879	-60.327	BatimetriJet3
293	723694	9853884	-61.527	BatimetriJet3
294	723681	9853885	-61.926	BatimetriJet3
295	723672	9853886	-60.226	BatimetriJet3
296	723665	9853881	-60.126	BatimetriJet3
297	723662	9853873	-58.826	BatimetriJet3
298	723660	9853857	-59.826	BatimetriJet3
299	723658	9853844	-58.226	BatimetriJet3
300	723657	9853833	-58.526	BatimetriJet3
301	723658	9853821	-59.026	BatimetriJet3
302	723659	9853812	-55.726	BatimetriJet3
303	723662	9853807	-52.625	BatimetriJet3
304	723668	9853804	-53.525	BatimetriJet3
305	723672	9853795	-54.625	BatimetriJet3
306	723681	9853795	-56.525	BatimetriJet3
307	723697	9853801	-58.225	BatimetriJet3
308	723711	9853801	-59.324	BatimetriJet3

No.	Easting	Northing	Elevasi	Deskripsi
309	723724	9853800	-59.424	BatimetriJet3
310	723736	9853802	-59.224	BatimetriJet3
311	723748	9853800	-58.324	BatimetriJet3
312	723760	9853801	-57.524	BatimetriJet3
313	723769	9853802	-57.824	BatimetriJet3
314	723779	9853798	-56.524	BatimetriJet3
315	723783	9853801	-56.424	BatimetriJet3
316	723787	9853806	-55.723	BatimetriJet3
317	723798	9853812	-56.523	BatimetriJet3
318	723811	9853824	-54.523	BatimetriJet3
319	723823	9853818	-54.523	BatimetriJet3
320	723838	9853821	-55.423	BatimetriJet3
321	723849	9853822	-53.623	BatimetriJet3
322	723861	9853818	-52.822	BatimetriJet3
323	723873	9853821	-50.622	BatimetriJet3
324	723884	9853820	-49.122	BatimetriJet3
325	723894	9853820	-43.522	BatimetriJet3
326	723904	9853819	-42.322	BatimetriJet3
327	723919	9853821	-39.122	BatimetriJet3
328	723928	9853821	-39.622	BatimetriJet3
329	723939	9853825	-37.222	BatimetriJet3
330	723949	9853823	-34.122	BatimetriJet3
331	723959	9853824	-33.722	BatimetriJet3
332	723971	9853822	-28.921	BatimetriJet3
333	723979	9853822	-25.321	BatimetriJet3
334	723988	9853820	-21.921	BatimetriJet3
335	723996	9853818	-19.521	BatimetriJet3
336	724002	9853816	-16.521	BatimetriJet3
337	724009	9853814	-13.321	BatimetriJet3
338	724020	9853813	-10.821	BatimetriJet3
339	724026	9853808	-7.920	BatimetriJet3
340	724026	9853809	-3.820	BatimetriJet3
341	724025	9853801	-2.020	BatimetriJet3
342	724017	9853795	-1.520	BatimetriJet3
343	724013	9853788	-2.419	BatimetriJet3
344	723938	9853723	-19.317	BatimetriJet3
345	723927	9853730	-23.516	BatimetriJet3
346	723917	9853734	-27.216	BatimetriJet3
347	723907	9853741	-30.516	BatimetriJet3

No.	Easting	Northing	Elevasi	Deskripsi
348	723899	9853742	-32.616	BatimetriJet3
349	723888	9853742	-33.916	BatimetriJet3
350	723879	9853737	-35.016	BatimetriJet3
351	723871	9853735	-36.115	BatimetriJet3
352	723859	9853730	-37.315	BatimetriJet3
353	723847	9853729	-39.315	BatimetriJet3
354	723836	9853730	-42.215	BatimetriJet3
355	723828	9853730	-44.415	BatimetriJet3
356	723816	9853732	-46.115	BatimetriJet3
357	723805	9853733	-48.214	BatimetriJet3
358	723795	9853733	-49.714	BatimetriJet3
359	723786	9853737	-50.614	BatimetriJet3
360	723775	9853738	-52.414	BatimetriJet3
361	723764	9853744	-53.614	BatimetriJet3
362	723756	9853748	-53.714	BatimetriJet3
363	723745	9853752	-55.113	BatimetriJet3
364	723735	9853753	-55.813	BatimetriJet3
365	723726	9853748	-55.713	BatimetriJet3
366	723716	9853742	-56.213	BatimetriJet3
367	723704	9853733	-56.813	BatimetriJet3
368	723694	9853727	-56.513	BatimetriJet3
369	723686	9853727	-55.812	BatimetriJet3
370	723682	9853728	-55.212	BatimetriJet3
371	723720	9853672	-54.310	BatimetriJet3
372	723721	9853668	-54.210	BatimetriJet3
373	723723	9853665	-53.510	BatimetriJet3
374	723727	9853663	-53.709	BatimetriJet3
375	723740	9853669	-53.309	BatimetriJet3
376	723750	9853673	-52.509	BatimetriJet3
377	723759	9853677	-52.109	BatimetriJet3
378	723769	9853680	-51.008	BatimetriJet3
379	723783	9853677	-50.308	BatimetriJet3
380	723800	9853675	-48.008	BatimetriJet3
381	723814	9853673	-46.108	BatimetriJet3
382	723825	9853671	-44.607	BatimetriJet3
383	723836	9853669	-42.007	BatimetriJet3
384	723845	9853668	-39.807	BatimetriJet3
385	723855	9853668	-39.107	BatimetriJet3
386	723865	9853668	-36.207	BatimetriJet3

No.	Easting	Northing	Elevasi	Deskripsi
387	723875	9853667	-34.407	BatimetriJet3
388	723885	9853666	-32.507	BatimetriJet3
389	723895	9853666	-28.807	BatimetriJet3
390	723905	9853664	-26.606	BatimetriJet3
391	723914	9853661	-21.606	BatimetriJet3
392	723921	9853655	-16.006	BatimetriJet3
393	723929	9853649	-9.006	BatimetriJet3
394	723932	9853640	-5.006	BatimetriJet3
395	723929	9853631	-4.006	BatimetriJet3
396	723926	9853621	-3.705	BatimetriJet3
397	723920	9853616	-5.705	BatimetriJet3
398	723914	9853609	-5.805	BatimetriJet3
399	723912	9853594	-7.805	BatimetriJet3
400	723912	9853582	-8.805	BatimetriJet3
401	723884	9853576	-24.404	BatimetriJet3
402	723881	9853582	-25.104	BatimetriJet3
403	723877	9853586	-26.103	BatimetriJet3
404	723872	9853590	-27.003	BatimetriJet3
405	723868	9853596	-27.903	BatimetriJet3
406	723861	9853605	-30.603	BatimetriJet3
407	723845	9853611	-31.303	BatimetriJet3
408	723830	9853608	-31.203	BatimetriJet3
409	723810	9853599	-31.203	BatimetriJet3
410	723793	9853590	-31.303	BatimetriJet3
411	723734	9853593	-47.200	BatimetriJet3
412	723731	9853592	-47.400	BatimetriJet3
413	723731	9853592	-47.300	BatimetriJet3
414	723731	9853592	-47.100	BatimetriJet3
415	723731	9853592	-47.000	BatimetriJet3
416	723731	9853592	-46.900	BatimetriJet3
417	723731	9853592	-46.900	BatimetriJet3
418	723731	9853592	-47.299	BatimetriJet3
419	723731	9853592	-46.999	BatimetriJet3
420	723731	9853592	-47.999	BatimetriJet3
421	723767	9853600	-48.198	BatimetriJet3
422	723783	9853605	-48.898	BatimetriJet3
423	723765	9853625	-45.897	BatimetriJet3
424	723761	9853632	-46.497	BatimetriJet3
425	723755	9853633	-46.697	BatimetriJet3

No.	Easting	Northing	Elevasi	Deskripsi
426	723738	9853627	-47.596	BatimetriJet3
427	723638	9853546	-38.390	BatimetriJet3
428	723638	9853545	-38.190	BatimetriJet3
429	723638	9853545	-37.990	BatimetriJet3
430	723638	9853545	-37.590	BatimetriJet3
431	723637	9853540	-37.390	BatimetriJet3
432	723642	9853523	-42.889	BatimetriJet3
433	723647	9853519	-41.589	BatimetriJet3
434	723658	9853524	-36.588	BatimetriJet3
435	723671	9853531	-38.188	BatimetriJet3
436	723680	9853533	-42.088	BatimetriJet3
437	723686	9853533	-45.188	BatimetriJet3
438	723695	9853542	-45.887	BatimetriJet3
439	723708	9853532	-45.587	BatimetriJet3
440	723759	9853527	-42.686	BatimetriJet3
441	723764	9853526	-41.686	BatimetriJet3
442	723773	9853527	-40.886	BatimetriJet3
443	723778	9853524	-39.985	BatimetriJet3
444	723789	9853524	-39.185	BatimetriJet3
445	723800	9853520	-37.085	BatimetriJet3
446	723812	9853521	-34.285	BatimetriJet3
447	723824	9853522	-33.285	BatimetriJet3
448	723835	9853517	-32.784	BatimetriJet3
449	723845	9853514	-32.284	BatimetriJet3
450	723857	9853513	-31.084	BatimetriJet3
451	723867	9853510	-30.084	BatimetriJet3
452	723863	9853513	-28.984	BatimetriJet3
453	723871	9853515	-27.384	BatimetriJet3
454	723877	9853518	-26.984	BatimetriJet3
455	723886	9853515	-25.084	BatimetriJet3
456	723891	9853514	-20.084	BatimetriJet3
457	723901	9853513	-17.283	BatimetriJet3
458	723906	9853515	-13.683	BatimetriJet3
459	723909	9853519	-11.383	BatimetriJet3
460	723912	9853530	-9.983	BatimetriJet3
461	723877	9853542	-22.882	BatimetriJet3
462	723863	9853543	-28.082	BatimetriJet3
463	723850	9853541	-29.981	BatimetriJet3
464	723837	9853542	-31.181	BatimetriJet3

No.	Easting	Northing	Elevasi	Deskripsi
465	723825	9853541	-32.181	BatimetriJet3
466	723816	9853540	-33.381	BatimetriJet3
467	723804	9853539	-33.881	BatimetriJet3
468	723793	9853540	-35.181	BatimetriJet3
469	723781	9853538	-37.780	BatimetriJet3
470	723771	9853539	-39.380	BatimetriJet3
471	723762	9853542	-40.480	BatimetriJet3
472	723752	9853545	-41.380	BatimetriJet3
473	723743	9853548	-43.180	BatimetriJet3
474	723733	9853552	-44.480	BatimetriJet3
475	723725	9853557	-45.179	BatimetriJet3
476	723714	9853560	-45.679	BatimetriJet3
477	723703	9853562	-46.379	BatimetriJet3
478	723693	9853565	-46.879	BatimetriJet3
479	723686	9853566	-46.579	BatimetriJet3
480	723683	9853570	-46.578	BatimetriJet3
481	723682	9853576	-47.378	BatimetriJet3
482	723689	9853582	-49.478	BatimetriJet3
483	723713	9853588	-49.277	BatimetriJet3
484	723716	9853601	-50.477	BatimetriJet3
485	723725	9853613	-51.676	BatimetriJet3
486	723731	9853628	-52.376	BatimetriJet3
487	723736	9853643	-52.076	BatimetriJet3
488	723741	9853654	-53.076	BatimetriJet3
489	723745	9853667	-53.875	BatimetriJet3
490	723749	9853676	-55.575	BatimetriJet3
491	723752	9853689	-53.275	BatimetriJet3
492	723752	9853700	-53.075	BatimetriJet3
493	723752	9853712	-54.175	BatimetriJet3
494	723753	9853723	-55.675	BatimetriJet3
495	723752	9853734	-56.474	BatimetriJet3
496	723748	9853744	-56.474	BatimetriJet3
497	723744	9853754	-57.074	BatimetriJet3
498	723744	9853760	-57.874	BatimetriJet3
499	723721	9853845	-62.573	BatimetriJet3
500	723727	9853853	-61.572	BatimetriJet3
501	723728	9853859	-61.372	BatimetriJet3
502	723727	9853866	-62.272	BatimetriJet3
503	723741	9853881	-60.771	BatimetriJet3

No.	Easting	Northing	Elevasi	Deskripsi
504	723750	9853891	-59.571	BatimetriJet3
505	723755	9853904	-61.171	BatimetriJet3
506	723764	9853965	-58.870	BatimetriJet3
507	723762	9853978	-58.570	BatimetriJet3
508	723761	9853985	-57.969	BatimetriJet3
509	723761	9853994	-58.269	BatimetriJet3
510	723761	9854004	-58.169	BatimetriJet3
511	723761	9854018	-58.869	BatimetriJet3
512	723763	9854032	-60.068	BatimetriJet3
513	723766	9854046	-60.768	BatimetriJet3
514	723769	9854058	-60.468	BatimetriJet3
515	723772	9854068	-60.668	BatimetriJet3
516	723777	9854077	-59.868	BatimetriJet3
517	723782	9854086	-61.567	BatimetriJet3
518	723788	9854095	-61.667	BatimetriJet3
519	723792	9854104	-60.267	BatimetriJet3
520	723795	9854113	-61.067	BatimetriJet3
521	723798	9854122	-62.467	BatimetriJet3
522	723806	9854132	-63.066	BatimetriJet3
523	723816	9854156	-62.866	BatimetriJet3
524	723815	9854155	-63.966	BatimetriJet3
525	723814	9854159	-64.366	BatimetriJet3
526	723818	9854173	-62.466	BatimetriJet3
527	723826	9854173	-62.066	BatimetriJet3
528	723834	9854169	-61.665	BatimetriJet3
529	723894	9854223	-55.864	BatimetriJet3
530	723907	9854221	-50.964	BatimetriJet3
531	723918	9854222	-49.164	BatimetriJet3
532	723904	9854210	-48.264	BatimetriJet3
533	723917	9854189	-48.863	BatimetriJet3
534	723922	9854182	-48.763	BatimetriJet3
535	723933	9854171	-47.363	BatimetriJet3
536	723945	9854162	-46.962	BatimetriJet3
537	723946	9854155	-46.362	BatimetriJet3
538	723946	9854150	-45.562	BatimetriJet3
539	723949	9854147	-44.662	BatimetriJet3
540	723951	9854140	-44.662	BatimetriJet3
541	723936	9854120	-46.061	BatimetriJet3
542	723927	9854109	-47.161	BatimetriJet3

No.	Easting	Northing	Elevasi	Deskripsi
543	723922	9854100	-47.961	BatimetriJet3
544	723919	9854093	-48.661	BatimetriJet3
545	723923	9854082	-48.861	BatimetriJet3
546	723927	9854069	-48.560	BatimetriJet3
547	723929	9854059	-46.660	BatimetriJet3
548	723930	9854051	-45.960	BatimetriJet3
549	723928	9854049	-44.460	BatimetriJet3
550	723937	9854019	-43.659	BatimetriJet3
551	723916	9853993	-46.459	BatimetriJet3
552	723904	9853979	-47.359	BatimetriJet3
553	723897	9853967	-48.158	BatimetriJet3
554	723892	9853959	-48.858	BatimetriJet3
555	723884	9853951	-48.658	BatimetriJet3
556	723880	9853942	-49.258	BatimetriJet3
557	723873	9853931	-49.358	BatimetriJet3
558	723867	9853927	-49.158	BatimetriJet3
559	723843	9853903	-50.257	BatimetriJet3
560	723843	9853803	-44.756	BatimetriJet3
561	723838	9853798	-44.956	BatimetriJet3
562	723835	9853789	-45.555	BatimetriJet3
563	723827	9853778	-47.255	BatimetriJet3
564	723822	9853772	-48.555	BatimetriJet3
565	723821	9853776	-49.455	BatimetriJet3
566	723806	9853747	-49.555	BatimetriJet3
567	723806	9853733	-48.254	BatimetriJet3
568	723805	9853720	-47.654	BatimetriJet3
569	723806	9853705	-46.154	BatimetriJet3
570	723805	9853693	-45.654	BatimetriJet3
571	723806	9853684	-44.654	BatimetriJet3
572	723804	9853668	-44.854	BatimetriJet3
573	723806	9853656	-42.153	BatimetriJet3
574	723806	9853643	-40.853	BatimetriJet3
575	723806	9853630	-39.153	BatimetriJet3
576	723806	9853616	-38.353	BatimetriJet3
577	723807	9853604	-37.552	BatimetriJet3
578	723806	9853593	-37.052	BatimetriJet3
579	723807	9853583	-35.652	BatimetriJet3
580	723810	9853574	-35.452	BatimetriJet3
581	723815	9853569	-35.452	BatimetriJet3

No.	Easting	Northing	Elevasi	Deskripsi
582	723824	9853564	-35.751	BatimetriJet3
583	723833	9853567	-34.051	BatimetriJet3
584	723842	9853564	-32.351	BatimetriJet3
585	723857	9853567	-31.051	BatimetriJet3
586	723870	9853568	-27.350	BatimetriJet3
587	723878	9853569	-25.750	BatimetriJet3
588	723887	9853572	-23.950	BatimetriJet3
589	723896	9853572	-22.950	BatimetriJet3
590	723903	9853580	-17.850	BatimetriJet3
591	723910	9853590	-12.149	BatimetriJet3
592	723917	9853601	-9.349	BatimetriJet3
593	723921	9853612	-8.349	BatimetriJet3
594	723922	9853620	-6.349	BatimetriJet3
595	723928	9853628	-4.848	BatimetriJet3
596	723934	9853638	-4.448	BatimetriJet3
597	723938	9853650	-2.848	BatimetriJet3
598	723945	9853662	-2.748	BatimetriJet3
599	723949	9853671	-2.448	BatimetriJet3
600	723953	9853683	-5.147	BatimetriJet3
601	723958	9853693	-6.147	BatimetriJet3
602	723961	9853702	-5.047	BatimetriJet3
603	723969	9853711	-4.247	BatimetriJet3
604	723972	9853721	-6.347	BatimetriJet3
605	723975	9853728	-7.146	BatimetriJet3
606	723973	9853738	-9.746	BatimetriJet3
607	723973	9853750	-13.346	BatimetriJet3
608	723973	9853762	-16.446	BatimetriJet3
609	723973	9853772	-18.546	BatimetriJet3
610	723974	9853783	-19.945	BatimetriJet3
611	723976	9853793	-21.545	BatimetriJet3
612	723977	9853801	-22.545	BatimetriJet3
613	723979	9853809	-22.045	BatimetriJet3
614	723982	9853815	-20.745	BatimetriJet3
615	723985	9853817	-19.845	BatimetriJet3
616	723985	9853815	-19.044	BatimetriJet3
617	723985	9853814	-18.144	BatimetriJet3
618	724007	9853828	-14.541	BatimetriJet3
619	724015	9853841	-15.141	BatimetriJet3
620	724021	9853847	-15.540	BatimetriJet3

No.	Easting	Northing	Elevasi	Deskripsi
621	724025	9853853	-15.440	BatimetriJet3
622	724032	9853862	-14.740	BatimetriJet3
623	724037	9853865	-13.340	BatimetriJet3
624	724046	9853872	-11.639	BatimetriJet3
625	724051	9853880	-9.839	BatimetriJet3
626	724057	9853889	-7.439	BatimetriJet3
627	724065	9853895	-4.138	BatimetriJet3
628	724070	9853894	-2.230	BatimetriJet3
629	724064	9853910	-6.729	BatimetriJet3
630	724049	9853916	-14.728	BatimetriJet3
631	724040	9853905	-17.228	BatimetriJet3
632	724038	9853898	-18.127	BatimetriJet3
633	724036	9853891	-17.427	BatimetriJet3
634	724036	9853885	-15.427	BatimetriJet3
635	724035	9853884	-14.426	BatimetriJet3
636	724049	9853886	-11.623	BatimetriJet3
637	724029	9853870	-17.323	BatimetriJet3
638	724018	9853860	-19.722	BatimetriJet3
639	724012	9853853	-19.522	BatimetriJet3
640	724008	9853848	-19.322	BatimetriJet3
641	724001	9853840	-20.222	BatimetriJet3
642	723991	9853829	-21.521	BatimetriJet3
643	723981	9853821	-22.021	BatimetriJet3
644	723974	9853813	-23.421	BatimetriJet3
645	723971	9853802	-23.321	BatimetriJet3
646	723967	9853801	-22.920	BatimetriJet3
647	723959	9853802	-25.120	BatimetriJet3
648	723957	9853809	-29.020	BatimetriJet3
649	723958	9853820	-28.919	BatimetriJet3
650	723958	9853835	-32.119	BatimetriJet3
651	723958	9853850	-32.819	BatimetriJet3
652	723960	9853862	-32.418	BatimetriJet3
653	723961	9853876	-33.718	BatimetriJet3
654	723960	9853886	-34.518	BatimetriJet3
655	723961	9853897	-35.218	BatimetriJet3
656	723961	9853909	-36.018	BatimetriJet3
657	723961	9853920	-37.318	BatimetriJet3
658	723961	9853931	-38.017	BatimetriJet3
659	723961	9853941	-37.817	BatimetriJet3

No.	Easting	Northing	Elevasi	Deskripsi
660	723959	9853949	-39.317	BatimetriJet3
661	723962	9853955	-40.717	BatimetriJet3
662	723966	9853963	-40.617	BatimetriJet3
663	723971	9853972	-40.016	BatimetriJet3
664	723977	9853985	-40.116	BatimetriJet3
665	723982	9853998	-39.416	BatimetriJet3
666	723987	9854009	-39.616	BatimetriJet3
667	723991	9854021	-39.216	BatimetriJet3
668	723995	9854030	-40.615	BatimetriJet3
669	723999	9854040	-40.015	BatimetriJet3
670	724004	9854047	-43.315	BatimetriJet3
671	724011	9854053	-42.015	BatimetriJet3
672	724019	9854057	-42.015	BatimetriJet3
673	724030	9854062	-40.515	BatimetriJet3
674	724043	9854068	-33.215	BatimetriJet3
675	724051	9854070	-28.914	BatimetriJet3
676	724060	9854077	-28.014	BatimetriJet3
677	724064	9854084	-28.014	BatimetriJet3
678	724067	9854090	-27.514	BatimetriJet3
679	724072	9854100	-27.114	BatimetriJet3
680	724076	9854112	-25.714	BatimetriJet3
681	724080	9854123	-26.513	BatimetriJet3
682	724084	9854135	-17.213	BatimetriJet3
683	724087	9854145	-16.713	BatimetriJet3
684	724090	9854153	-19.313	BatimetriJet3
685	724094	9854163	-16.013	BatimetriJet3
686	724097	9854172	-12.513	BatimetriJet3
687	724101	9854181	-9.413	BatimetriJet3
688	724100	9854193	-6.712	BatimetriJet3
689	724104	9854205	-5.112	BatimetriJet3
690	724102	9854216	-3.912	BatimetriJet3
691	724100	9854227	-3.812	BatimetriJet3
692	724104	9854238	-2.512	BatimetriJet3

Lampiran 2 Hasil Perhitungan Kedalaman Dasar Laut

Table 22. Hasil perhitungan kedalaman dasar laut

No.	Waktu Pengukuran x (Jam)	Elevasi Muka Air y (m)	z (m)	z + h (m)	koreksi (kr) (m)	z _{kr} (m)
1	10:11:48	1.535	3.00	3.5	0.471	3.018
2	10:16:10	1.530	11.40	11.9	0.466	11.424
3	10:16:24	1.530	12.10	12.6	0.466	12.124
4	10:16:43	1.529	8.30	8.8	0.465	8.325
5	10:17:00	1.529	7.60	8.1	0.465	7.625
6	10:17:12	1.529	9.80	10.3	0.465	9.825
7	10:17:21	1.528	10.10	10.6	0.465	10.125
8	10:17:29	1.528	9.70	10.2	0.465	9.725
9	10:17:37	1.528	10.20	10.7	0.464	10.226
10	10:17:45	1.528	10.10	10.6	0.464	10.126
11	10:17:54	1.528	9.30	9.8	0.464	9.326
12	10:18:05	1.528	9.30	9.8	0.464	9.326
13	10:18:19	1.527	10.10	10.6	0.464	10.126
14	10:18:37	1.527	10.50	11.0	0.463	10.527
15	10:18:59	1.527	11.30	11.8	0.463	11.327
16	10:19:40	1.526	10.60	11.1	0.462	10.628
17	10:21:05	1.525	11.30	11.8	0.461	11.329
18	10:21:21	1.525	10.10	10.6	0.461	10.129
19	10:21:42	1.524	10.70	11.2	0.461	10.729
20	10:21:55	1.524	16.90	17.4	0.460	16.930
21	10:22:03	1.524	17.00	17.5	0.460	17.030
22	10:22:11	1.524	16.90	17.4	0.460	16.930
23	10:22:19	1.524	16.80	17.3	0.460	16.830
24	10:22:27	1.524	16.90	17.4	0.460	16.930
25	10:22:35	1.523	16.20	16.7	0.460	16.230
26	10:22:43	1.523	16.70	17.2	0.460	16.730
27	10:22:50	1.523	16.70	17.2	0.460	16.730
28	10:22:57	1.523	15.80	16.3	0.459	15.831
29	10:23:04	1.523	14.90	15.4	0.459	14.931
30	10:23:12	1.523	13.80	14.3	0.459	13.831
31	10:23:20	1.523	12.20	12.7	0.459	12.231
32	10:23:26	1.523	10.40	10.9	0.459	10.431
33	10:23:32	1.523	8.50	9.0	0.459	8.531
34	10:23:39	1.523	6.00	6.5	0.459	6.031
35	10:23:47	1.523	5.70	6.2	0.459	5.731
36	10:23:57	1.522	4.00	4.5	0.459	4.031
37	10:24:15	1.522	9.70	10.2	0.458	9.732

38	10:24:21	1.522	12.00	12.5	0.458	12.032
39	10:24:26	1.522	13.90	14.4	0.458	13.932
40	10:24:32	1.522	14.60	15.1	0.458	14.632
41	10:24:38	1.522	15.80	16.3	0.458	15.832
42	10:24:44	1.522	17.20	17.7	0.458	17.232
43	10:24:50	1.522	18.10	18.6	0.458	18.132
44	10:24:57	1.522	18.30	18.8	0.458	18.332
45	10:25:04	1.522	18.10	18.6	0.458	18.132
46	10:25:11	1.522	17.60	18.1	0.458	17.632
47	10:25:18	1.521	17.50	18.0	0.458	17.532
48	10:25:25	1.521	17.20	17.7	0.458	17.232
49	10:25:33	1.521	16.80	17.3	0.458	16.832
50	10:25:44	1.521	16.30	16.8	0.457	16.333
51	10:26:13	1.521	16.40	16.9	0.457	16.433
52	10:29:19	1.519	28.10	28.6	0.455	28.135
53	10:29:30	1.519	27.40	27.9	0.455	27.435
54	10:29:35	1.519	24.70	25.2	0.455	24.735
55	10:29:40	1.519	23.40	23.9	0.455	23.435
56	10:29:46	1.519	21.80	22.3	0.455	21.835
57	10:29:52	1.519	21.10	21.6	0.455	21.135
58	10:29:58	1.519	20.10	20.6	0.455	20.135
59	10:30:05	1.519	18.30	18.8	0.455	18.335
60	10:30:13	1.519	17.00	17.5	0.455	17.035
61	10:30:21	1.519	15.50	16.0	0.455	15.535
62	10:30:29	1.519	14.40	14.9	0.455	14.435
63	10:30:37	1.519	11.60	12.1	0.455	11.635
64	10:30:46	1.518	10.50	11.0	0.455	10.535
65	10:30:57	1.518	9.30	9.8	0.455	9.335
66	10:31:15	1.518	11.50	12.0	0.455	11.535
67	10:31:42	1.518	13.20	13.7	0.454	13.236
68	10:33:36	1.517	4.80	5.3	0.454	4.836
69	10:33:50	1.517	2.80	3.3	0.454	2.836
70	10:34:13	1.517	4.70	5.2	0.454	4.736
71	10:34:34	1.517	6.20	6.7	0.454	6.236
72	10:34:48	1.517	11.70	12.2	0.453	11.737
73	10:34:53	1.517	12.80	13.3	0.453	12.837
74	10:34:57	1.517	13.90	14.4	0.453	13.937
75	10:35:01	1.517	14.10	14.6	0.453	14.137
76	10:35:05	1.517	14.90	15.4	0.453	14.937
77	10:35:09	1.517	14.80	15.3	0.453	14.837
78	10:35:14	1.517	15.10	15.6	0.453	15.137
79	10:35:19	1.517	14.90	15.4	0.453	14.937
80	10:35:24	1.517	15.20	15.7	0.453	15.237
81	10:35:30	1.517	15.80	16.3	0.453	15.837
82	10:35:36	1.517	15.70	16.2	0.453	15.737
83	10:35:42	1.517	15.30	15.8	0.453	15.337

84	10:35:48	1.517	15.40	15.9	0.453	15.437
85	10:35:55	1.517	15.10	15.6	0.453	15.137
86	10:36:02	1.517	14.90	15.4	0.453	14.937
87	10:36:09	1.517	12.80	13.3	0.453	12.837
88	10:36:16	1.517	10.80	11.3	0.453	10.837
89	10:36:24	1.517	8.30	8.8	0.453	8.337
90	10:36:33	1.517	4.10	4.6	0.453	4.137
91	10:36:42	1.517	6.10	6.6	0.453	6.137
92	10:36:52	1.517	6.80	7.3	0.453	6.837
93	10:37:02	1.517	10.90	11.4	0.453	10.937
94	10:37:12	1.517	14.60	15.1	0.453	14.637
95	10:37:22	1.517	17.50	18.0	0.453	17.537
96	10:37:31	1.517	23.30	23.8	0.453	23.337
97	10:37:39	1.517	26.00	26.5	0.453	26.037
98	10:37:46	1.517	28.80	29.3	0.453	28.837
99	10:37:53	1.517	31.20	31.7	0.453	31.237
100	10:38:00	1.517	33.10	33.6	0.453	33.137
101	10:38:07	1.517	34.30	34.8	0.453	34.337
102	10:38:15	1.517	36.70	37.2	0.453	36.737
103	10:38:22	1.517	38.90	39.4	0.453	38.937
104	10:38:28	1.517	40.60	41.1	0.453	40.637
105	10:38:33	1.517	42.50	43.0	0.453	42.537
106	10:38:38	1.517	43.80	44.3	0.453	43.837
107	10:38:43	1.517	45.40	45.9	0.453	45.437
108	10:38:48	1.517	46.80	47.3	0.453	46.837
109	10:38:53	1.517	48.10	48.6	0.453	48.137
110	10:38:58	1.517	48.60	49.1	0.453	48.637
111	10:39:03	1.517	50.70	51.2	0.453	50.737
112	10:39:08	1.517	52.00	52.5	0.453	52.037
113	10:39:13	1.517	53.70	54.2	0.453	53.737
114	10:39:19	1.517	55.70	56.2	0.453	55.737
115	10:39:25	1.517	57.50	58.0	0.453	57.537
116	10:39:31	1.517	58.40	58.9	0.453	58.437
117	10:39:37	1.517	59.40	59.9	0.453	59.437
118	10:39:43	1.517	60.20	60.7	0.453	60.237
119	10:39:49	1.517	61.40	61.9	0.453	61.437
120	10:39:55	1.517	62.50	63.0	0.453	62.537
121	10:40:01	1.517	62.70	63.2	0.453	62.737
122	10:40:07	1.517	61.80	62.3	0.453	61.837
123	10:40:13	1.517	63.40	63.9	0.453	63.437
124	10:40:19	1.517	63.50	64.0	0.453	63.537
125	10:40:25	1.517	63.50	64.0	0.453	63.537
126	10:40:31	1.517	64.00	64.5	0.453	64.037
127	10:40:37	1.517	64.60	65.1	0.453	64.637
128	10:40:43	1.517	63.50	64.0	0.453	63.537
129	10:40:49	1.517	64.40	64.9	0.453	64.437

130	10:40:56	1.517	64.90	65.4	0.453	64.937
131	10:41:03	1.517	64.40	64.9	0.453	64.437
132	10:41:10	1.517	64.30	64.8	0.453	64.337
133	10:41:17	1.517	62.90	63.4	0.453	62.937
134	10:41:24	1.517	62.70	63.2	0.453	62.737
135	10:41:32	1.517	61.70	62.2	0.453	61.737
136	10:41:40	1.517	62.10	62.6	0.453	62.137
137	10:41:48	1.517	61.70	62.2	0.453	61.737
138	10:41:56	1.517	61.70	62.2	0.453	61.737
139	10:42:04	1.517	60.90	61.4	0.453	60.937
140	10:42:12	1.517	60.10	60.6	0.453	60.137
141	10:42:20	1.517	60.70	61.2	0.453	60.737
142	10:42:28	1.517	60.70	61.2	0.453	60.737
143	10:42:37	1.517	58.00	58.5	0.453	58.037
144	10:42:46	1.517	55.40	55.9	0.453	55.437
145	10:42:55	1.517	54.20	54.7	0.453	54.237
146	10:43:03	1.517	53.30	53.8	0.453	53.337
147	10:43:11	1.517	52.90	53.4	0.453	52.937
148	10:43:19	1.517	50.40	50.9	0.453	50.437
149	10:43:27	1.517	50.20	50.7	0.453	50.237
150	10:43:35	1.517	49.50	50.0	0.453	49.537
151	10:43:43	1.517	46.80	47.3	0.453	46.837
152	10:43:51	1.517	45.00	45.5	0.453	45.037
153	10:43:58	1.517	43.40	43.9	0.453	43.437
154	10:44:05	1.517	41.70	42.2	0.453	41.737
155	10:44:11	1.517	40.00	40.5	0.453	40.037
156	10:44:17	1.517	34.30	34.8	0.453	34.337
157	10:44:23	1.517	33.60	34.1	0.453	33.637
158	10:44:29	1.517	32.30	32.8	0.453	32.337
159	10:44:36	1.517	26.30	26.8	0.453	26.337
160	10:44:44	1.517	24.20	24.7	0.453	24.237
161	10:44:53	1.517	24.20	24.7	0.454	24.236
162	10:45:02	1.517	21.50	22.0	0.454	21.536
163	10:45:11	1.517	17.20	17.7	0.454	17.236
164	10:45:20	1.517	15.00	15.5	0.454	15.036
165	10:45:29	1.517	12.10	12.6	0.454	12.136
166	10:45:39	1.517	8.50	9.0	0.454	8.536
167	10:45:50	1.517	5.20	5.7	0.454	5.236
168	10:46:00	1.517	5.20	5.7	0.454	5.236
169	10:46:10	1.518	4.40	4.9	0.454	4.436
170	10:46:20	1.518	4.70	5.2	0.454	4.736
171	10:46:31	1.518	5.70	6.2	0.454	5.736
172	10:46:42	1.518	5.30	5.8	0.454	5.336
173	10:46:53	1.518	4.70	5.2	0.454	4.736
174	10:47:04	1.518	8.30	8.8	0.454	8.336
175	10:47:16	1.518	12.60	13.1	0.454	12.636

176	10:47:28	1.518	16.70	17.2	0.454	16.736
177	10:47:39	1.518	18.90	19.4	0.454	18.936
178	10:47:48	1.518	21.10	21.6	0.454	21.136
179	10:47:57	1.518	21.90	22.4	0.454	21.936
180	10:48:05	1.518	21.90	22.4	0.454	21.936
181	10:48:13	1.518	24.10	24.6	0.454	24.136
182	10:48:21	1.518	28.00	28.5	0.455	28.035
183	10:48:29	1.518	31.30	31.8	0.455	31.335
184	10:48:37	1.518	34.60	35.1	0.455	34.635
185	10:48:45	1.518	37.70	38.2	0.455	37.735
186	10:48:53	1.518	40.40	40.9	0.455	40.435
187	10:49:01	1.518	43.10	43.6	0.455	43.135
188	10:49:09	1.519	45.20	45.7	0.455	45.235
189	10:49:16	1.519	46.60	47.1	0.455	46.635
190	10:49:23	1.519	49.00	49.5	0.455	49.035
191	10:49:29	1.519	50.90	51.4	0.455	50.935
192	10:49:35	1.519	52.40	52.9	0.455	52.435
193	10:49:41	1.519	53.80	54.3	0.455	53.835
194	10:49:47	1.519	55.20	55.7	0.455	55.235
195	10:49:53	1.519	55.30	55.8	0.455	55.335
196	10:49:59	1.519	55.60	56.1	0.455	55.635
197	10:50:05	1.519	56.10	56.6	0.455	56.135
198	10:50:12	1.519	56.90	57.4	0.455	56.935
199	10:50:19	1.519	56.40	56.9	0.455	56.435
200	10:50:26	1.519	57.30	57.8	0.455	57.335
201	10:50:33	1.519	58.60	59.1	0.455	58.635
202	10:50:40	1.519	58.30	58.8	0.455	58.335
203	10:50:47	1.519	59.10	59.6	0.456	59.134
204	10:50:54	1.519	60.00	60.5	0.456	60.034
205	10:51:01	1.519	61.50	62.0	0.456	61.534
206	10:51:08	1.519	61.90	62.4	0.456	61.934
207	10:51:15	1.519	61.40	61.9	0.456	61.434
208	10:51:22	1.519	62.50	63.0	0.456	62.534
209	10:51:29	1.520	62.40	62.9	0.456	62.434
210	10:51:36	1.520	61.70	62.2	0.456	61.734
211	10:51:44	1.520	63.90	64.4	0.456	63.934
212	10:51:52	1.520	61.30	61.8	0.456	61.334
213	10:52:01	1.520	60.00	60.5	0.456	60.034
214	10:52:09	1.520	60.00	60.5	0.456	60.034
215	10:52:16	1.520	60.90	61.4	0.456	60.934
216	10:52:23	1.520	59.60	60.1	0.456	59.634
217	10:52:31	1.520	59.30	59.8	0.456	59.334
218	10:52:40	1.520	60.00	60.5	0.456	60.034
219	10:52:49	1.520	59.70	60.2	0.456	59.734
220	10:52:58	1.520	57.90	58.4	0.457	57.933
221	10:53:06	1.520	59.30	59.8	0.457	59.333

222	10:53:13	1.520	59.40	59.9	0.457	59.433
223	10:53:20	1.520	58.20	58.7	0.457	58.233
224	10:53:27	1.521	58.10	58.6	0.457	58.133
225	10:53:34	1.521	57.50	58.0	0.457	57.533
226	10:53:41	1.521	56.60	57.1	0.457	56.633
227	10:53:48	1.521	57.50	58.0	0.457	57.533
228	10:53:55	1.521	58.10	58.6	0.457	58.133
229	10:54:01	1.521	55.30	55.8	0.457	55.333
230	10:54:07	1.521	55.00	55.5	0.457	55.033
231	10:54:13	1.521	55.20	55.7	0.457	55.233
232	10:54:19	1.521	55.60	56.1	0.457	55.633
233	10:54:25	1.521	54.60	55.1	0.457	54.633
234	10:54:31	1.521	55.10	55.6	0.457	55.133
235	10:54:37	1.521	54.40	54.9	0.458	54.432
236	10:54:43	1.521	54.80	55.3	0.458	54.832
237	10:54:49	1.521	51.50	52.0	0.458	51.532
238	10:54:55	1.521	49.80	50.3	0.458	49.832
239	10:55:01	1.521	48.90	49.4	0.458	48.932
240	10:55:07	1.522	47.80	48.3	0.458	47.832
241	10:55:13	1.522	45.30	45.8	0.458	45.332
242	10:55:19	1.522	42.90	43.4	0.458	42.932
243	10:55:26	1.522	39.10	39.6	0.458	39.132
244	10:55:32	1.522	36.50	37.0	0.458	36.532
245	10:55:38	1.522	32.10	32.6	0.458	32.132
246	10:55:44	1.522	27.30	27.8	0.458	27.332
247	10:55:51	1.522	24.70	25.2	0.458	24.732
248	10:55:58	1.522	22.00	22.5	0.458	22.032
249	10:56:05	1.522	21.10	21.6	0.458	21.132
250	10:56:12	1.522	19.30	19.8	0.458	19.332
251	10:56:19	1.522	16.70	17.2	0.459	16.731
252	10:56:26	1.522	13.40	13.9	0.459	13.431
253	10:56:33	1.522	10.10	10.6	0.459	10.131
254	10:56:41	1.523	7.40	7.9	0.459	7.431
255	10:56:51	1.523	5.10	5.6	0.459	5.131
256	10:57:04	1.523	5.50	6.0	0.459	5.531
257	10:57:16	1.523	7.40	7.9	0.459	7.431
258	10:57:26	1.523	9.00	9.5	0.459	9.031
259	10:57:36	1.523	10.00	10.5	0.459	10.031
260	10:57:46	1.523	12.70	13.2	0.460	12.730
261	10:57:56	1.523	14.80	15.3	0.460	14.830
262	10:58:06	1.524	16.90	17.4	0.460	16.930
263	10:58:16	1.524	18.80	19.3	0.460	18.830
264	10:58:25	1.524	20.70	21.2	0.460	20.730
265	10:58:34	1.524	23.10	23.6	0.460	23.130
266	10:58:42	1.524	25.90	26.4	0.460	25.930
267	10:58:50	1.524	28.80	29.3	0.460	28.830

268	10:58:58	1.524	31.50	32.0	0.460	31.530
269	10:59:07	1.524	33.80	34.3	0.461	33.829
270	10:59:16	1.524	35.60	36.1	0.461	35.629
271	10:59:25	1.524	36.90	37.4	0.461	36.929
272	10:59:34	1.525	38.70	39.2	0.461	38.729
273	10:59:44	1.525	40.50	41.0	0.461	40.529
274	10:59:54	1.525	42.60	43.1	0.461	42.629
275	11:00:04	1.525	44.90	45.4	0.461	44.929
276	11:00:14	1.525	47.10	47.6	0.461	47.129
277	11:00:24	1.525	49.80	50.3	0.462	49.828
278	11:00:34	1.525	51.10	51.6	0.462	51.128
279	11:00:44	1.526	52.60	53.1	0.462	52.628
280	11:00:54	1.526	52.60	53.1	0.462	52.628
281	11:01:03	1.526	53.00	53.5	0.462	53.028
282	11:01:12	1.526	53.50	54.0	0.462	53.528
283	11:01:21	1.526	52.50	53.0	0.462	52.528
284	11:01:29	1.526	53.40	53.9	0.462	53.428
285	11:01:37	1.526	54.50	55.0	0.463	54.527
286	11:01:44	1.526	55.70	56.2	0.463	55.727
287	11:01:51	1.526	56.90	57.4	0.463	56.927
288	11:01:58	1.527	58.20	58.7	0.463	58.227
289	11:02:05	1.527	59.40	59.9	0.463	59.427
290	11:02:13	1.527	60.30	60.8	0.463	60.327
291	11:02:21	1.527	59.60	60.1	0.463	59.627
292	11:02:30	1.527	60.30	60.8	0.463	60.327
293	11:02:39	1.527	61.50	62.0	0.463	61.527
294	11:02:48	1.527	61.90	62.4	0.464	61.926
295	11:02:56	1.527	60.20	60.7	0.464	60.226
296	11:03:04	1.527	60.10	60.6	0.464	60.126
297	11:03:13	1.528	58.80	59.3	0.464	58.826
298	11:03:22	1.528	59.80	60.3	0.464	59.826
299	11:03:30	1.528	58.20	58.7	0.464	58.226
300	11:03:37	1.528	58.50	59.0	0.464	58.526
301	11:03:44	1.528	59.00	59.5	0.464	59.026
302	11:03:51	1.528	55.70	56.2	0.464	55.726
303	11:03:59	1.528	52.60	53.1	0.465	52.625
304	11:04:08	1.528	53.50	54.0	0.465	53.525
305	11:04:19	1.529	54.60	55.1	0.465	54.625
306	11:04:34	1.529	56.50	57.0	0.465	56.525
307	11:04:49	1.529	58.20	58.7	0.465	58.225
308	11:05:01	1.529	59.30	59.8	0.466	59.324
309	11:05:11	1.529	59.40	59.9	0.466	59.424
310	11:05:19	1.530	59.20	59.7	0.466	59.224
311	11:05:26	1.530	58.30	58.8	0.466	58.324
312	11:05:33	1.530	57.50	58.0	0.466	57.524
313	11:05:40	1.530	57.80	58.3	0.466	57.824

314	11:05:47	1.530	56.50	57.0	0.466	56.524
315	11:05:55	1.530	56.40	56.9	0.466	56.424
316	11:06:05	1.530	55.70	56.2	0.467	55.723
317	11:06:18	1.531	56.50	57.0	0.467	56.523
318	11:06:30	1.531	54.50	55.0	0.467	54.523
319	11:06:39	1.531	54.50	55.0	0.467	54.523
320	11:06:47	1.531	55.40	55.9	0.467	55.423
321	11:06:54	1.531	53.60	54.1	0.467	53.623
322	11:07:01	1.531	52.80	53.3	0.468	52.822
323	11:07:08	1.531	50.60	51.1	0.468	50.622
324	11:07:14	1.531	49.10	49.6	0.468	49.122
325	11:07:20	1.532	43.50	44.0	0.468	43.522
326	11:07:26	1.532	42.30	42.8	0.468	42.322
327	11:07:32	1.532	39.10	39.6	0.468	39.122
328	11:07:38	1.532	39.60	40.1	0.468	39.622
329	11:07:44	1.532	37.20	37.7	0.468	37.222
330	11:07:50	1.532	34.10	34.6	0.468	34.122
331	11:07:56	1.532	33.70	34.2	0.468	33.722
332	11:08:02	1.532	28.90	29.4	0.469	28.921
333	11:08:08	1.532	25.30	25.8	0.469	25.321
334	11:08:14	1.532	21.90	22.4	0.469	21.921
335	11:08:21	1.533	19.50	20.0	0.469	19.521
336	11:08:28	1.533	16.50	17.0	0.469	16.521
337	11:08:36	1.533	13.30	13.8	0.469	13.321
338	11:08:45	1.533	10.80	11.3	0.469	10.821
339	11:08:56	1.533	7.90	8.4	0.470	7.920
340	11:09:09	1.533	3.80	4.3	0.470	3.820
341	11:09:28	1.534	2.00	2.5	0.470	2.020
342	11:09:47	1.534	1.50	2.0	0.470	1.520
343	11:10:10	1.535	2.40	2.9	0.471	2.419
344	11:12:24	1.537	19.30	19.8	0.473	19.317
345	11:12:34	1.537	23.50	24.0	0.474	23.516
346	11:12:43	1.537	27.20	27.7	0.474	27.216
347	11:12:51	1.538	30.50	31.0	0.474	30.516
348	11:12:59	1.538	32.60	33.1	0.474	32.616
349	11:13:07	1.538	33.90	34.4	0.474	33.916
350	11:13:16	1.538	35.00	35.5	0.474	35.016
351	11:13:25	1.538	36.10	36.6	0.475	36.115
352	11:13:33	1.538	37.30	37.8	0.475	37.315
353	11:13:41	1.539	39.30	39.8	0.475	39.315
354	11:13:49	1.539	42.20	42.7	0.475	42.215
355	11:13:57	1.539	44.40	44.9	0.475	44.415
356	11:14:05	1.539	46.10	46.6	0.475	46.115
357	11:14:13	1.539	48.20	48.7	0.476	48.214
358	11:14:21	1.539	49.70	50.2	0.476	49.714
359	11:14:29	1.540	50.60	51.1	0.476	50.614

360	11:14:37	1.540	52.40	52.9	0.476	52.414
361	11:14:45	1.540	53.60	54.1	0.476	53.614
362	11:14:54	1.540	53.70	54.2	0.476	53.714
363	11:15:03	1.540	55.10	55.6	0.477	55.113
364	11:15:12	1.540	55.80	56.3	0.477	55.813
365	11:15:21	1.541	55.70	56.2	0.477	55.713
366	11:15:30	1.541	56.20	56.7	0.477	56.213
367	11:15:38	1.541	56.80	57.3	0.477	56.813
368	11:15:45	1.541	56.50	57.0	0.477	56.513
369	11:15:52	1.541	55.80	56.3	0.478	55.812
370	11:16:00	1.541	55.20	55.7	0.478	55.212
371	11:17:38	1.544	54.30	54.8	0.480	54.310
372	11:17:45	1.544	54.20	54.7	0.480	54.210
373	11:17:55	1.544	53.50	54.0	0.480	53.510
374	11:18:10	1.544	53.70	54.2	0.481	53.709
375	11:18:26	1.545	53.30	53.8	0.481	53.309
376	11:18:39	1.545	52.50	53.0	0.481	52.509
377	11:18:51	1.545	52.10	52.6	0.481	52.109
378	11:19:04	1.545	51.00	51.5	0.482	51.008
379	11:19:16	1.546	50.30	50.8	0.482	50.308
380	11:19:26	1.546	48.00	48.5	0.482	48.008
381	11:19:34	1.546	46.10	46.6	0.482	46.108
382	11:19:41	1.546	44.60	45.1	0.483	44.607
383	11:19:47	1.546	42.00	42.5	0.483	42.007
384	11:19:53	1.547	39.80	40.3	0.483	39.807
385	11:19:59	1.547	39.10	39.6	0.483	39.107
386	11:20:05	1.547	36.20	36.7	0.483	36.207
387	11:20:11	1.547	34.40	34.9	0.483	34.407
388	11:20:17	1.547	32.50	33.0	0.483	32.507
389	11:20:23	1.547	28.80	29.3	0.483	28.807
390	11:20:29	1.547	26.60	27.1	0.484	26.606
391	11:20:36	1.547	21.60	22.1	0.484	21.606
392	11:20:43	1.548	16.00	16.5	0.484	16.006
393	11:20:50	1.548	9.00	9.5	0.484	9.006
394	11:20:58	1.548	5.00	5.5	0.484	5.006
395	11:21:06	1.548	4.00	4.5	0.484	4.006
396	11:21:14	1.548	3.70	4.2	0.485	3.705
397	11:21:22	1.549	5.70	6.2	0.485	5.705
398	11:21:31	1.549	5.80	6.3	0.485	5.805
399	11:21:39	1.549	7.80	8.3	0.485	7.805
400	11:21:47	1.549	8.80	9.3	0.485	8.805
401	11:22:26	1.550	24.40	24.9	0.486	24.404
402	11:22:30	1.550	25.10	25.6	0.486	25.104
403	11:22:35	1.550	26.10	26.6	0.487	26.103
404	11:22:41	1.550	27.00	27.5	0.487	27.003
405	11:22:48	1.551	27.90	28.4	0.487	27.903

406	11:22:56	1.551	30.60	31.1	0.487	30.603
407	11:23:02	1.551	31.30	31.8	0.487	31.303
408	11:23:05	1.551	31.20	31.7	0.487	31.203
409	11:23:08	1.551	31.20	31.7	0.487	31.203
410	11:23:14	1.551	31.30	31.8	0.487	31.303
411	11:25:02	1.554	47.20	47.7	0.490	47.200
412	11:25:04	1.554	47.40	47.9	0.490	47.400
413	11:25:06	1.554	47.30	47.8	0.490	47.300
414	11:25:08	1.554	47.10	47.6	0.490	47.100
415	11:25:10	1.554	47.00	47.5	0.490	47.000
416	11:25:13	1.554	46.90	47.4	0.490	46.900
417	11:25:16	1.554	46.90	47.4	0.490	46.900
418	11:25:19	1.554	47.30	47.8	0.491	47.299
419	11:25:23	1.554	47.00	47.5	0.491	46.999
420	11:25:28	1.554	48.00	48.5	0.491	47.999
421	11:26:21	1.556	48.20	48.7	0.492	48.198
422	11:26:26	1.556	48.90	49.4	0.492	48.898
423	11:27:01	1.557	45.90	46.4	0.493	45.897
424	11:27:08	1.557	46.50	47.0	0.493	46.497
425	11:27:16	1.557	46.70	47.2	0.493	46.697
426	11:27:24	1.557	47.60	48.1	0.494	47.596
427	11:31:22	1.564	38.40	38.9	0.500	38.390
428	11:31:26	1.564	38.20	38.7	0.500	38.190
429	11:31:31	1.564	38.00	38.5	0.500	37.990
430	11:31:38	1.564	37.60	38.1	0.500	37.590
431	11:31:47	1.564	37.40	37.9	0.500	37.390
432	11:32:05	1.565	42.90	43.4	0.501	42.889
433	11:32:18	1.565	41.60	42.1	0.501	41.589
434	11:32:31	1.565	36.60	37.1	0.502	36.588
435	11:32:42	1.566	38.20	38.7	0.502	38.188
436	11:32:51	1.566	42.10	42.6	0.502	42.088
437	11:33:00	1.566	45.20	45.7	0.502	45.188
438	11:33:09	1.566	45.90	46.4	0.503	45.887
439	11:33:18	1.567	45.60	46.1	0.503	45.587
440	11:34:03	1.568	42.70	43.2	0.504	42.686
441	11:34:08	1.568	41.70	42.2	0.504	41.686
442	11:34:14	1.568	40.90	41.4	0.504	40.886
443	11:34:20	1.568	40.00	40.5	0.505	39.985
444	11:34:27	1.569	39.20	39.7	0.505	39.185
445	11:34:34	1.569	37.10	37.6	0.505	37.085
446	11:34:41	1.569	34.30	34.8	0.505	34.285
447	11:34:47	1.569	33.30	33.8	0.505	33.285
448	11:34:52	1.569	32.80	33.3	0.506	32.784
449	11:34:57	1.569	32.30	32.8	0.506	32.284
450	11:35:01	1.569	31.10	31.6	0.506	31.084
451	11:35:05	1.570	30.10	30.6	0.506	30.084

452	11:35:08	1.570	29.00	29.5	0.506	28.984
453	11:35:12	1.570	27.40	27.9	0.506	27.384
454	11:35:16	1.570	27.00	27.5	0.506	26.984
455	11:35:21	1.570	25.10	25.6	0.506	25.084
456	11:35:26	1.570	20.10	20.6	0.506	20.084
457	11:35:32	1.570	17.30	17.8	0.507	17.283
458	11:35:39	1.571	13.70	14.2	0.507	13.683
459	11:35:47	1.571	11.40	11.9	0.507	11.383
460	11:35:56	1.571	10.00	10.5	0.507	9.983
461	11:36:25	1.572	22.90	23.4	0.508	22.882
462	11:36:33	1.572	28.10	28.6	0.508	28.082
463	11:36:41	1.572	30.00	30.5	0.509	29.981
464	11:36:48	1.572	31.20	31.7	0.509	31.181
465	11:36:54	1.573	32.20	32.7	0.509	32.181
466	11:37:00	1.573	33.40	33.9	0.509	33.381
467	11:37:06	1.573	33.90	34.4	0.509	33.881
468	11:37:12	1.573	35.20	35.7	0.509	35.181
469	11:37:18	1.573	37.80	38.3	0.510	37.780
470	11:37:24	1.573	39.40	39.9	0.510	39.380
471	11:37:30	1.574	40.50	41.0	0.510	40.480
472	11:37:36	1.574	41.40	41.9	0.510	41.380
473	11:37:42	1.574	43.20	43.7	0.510	43.180
474	11:37:48	1.574	44.50	45.0	0.510	44.480
475	11:37:54	1.574	45.20	45.7	0.511	45.179
476	11:38:00	1.574	45.70	46.2	0.511	45.679
477	11:38:07	1.575	46.40	46.9	0.511	46.379
478	11:38:13	1.575	46.90	47.4	0.511	46.879
479	11:38:19	1.575	46.60	47.1	0.511	46.579
480	11:38:26	1.575	46.60	47.1	0.512	46.578
481	11:38:34	1.575	47.40	47.9	0.512	47.378
482	11:38:47	1.576	49.50	50.0	0.512	49.478
483	11:39:19	1.577	49.30	49.8	0.513	49.277
484	11:39:30	1.577	50.50	51.0	0.513	50.477
485	11:39:41	1.577	51.70	52.2	0.514	51.676
486	11:39:50	1.578	52.40	52.9	0.514	52.376
487	11:39:57	1.578	52.10	52.6	0.514	52.076
488	11:40:04	1.578	53.10	53.6	0.514	53.076
489	11:40:10	1.578	53.90	54.4	0.515	53.875
490	11:40:16	1.578	55.60	56.1	0.515	55.575
491	11:40:22	1.579	53.30	53.8	0.515	53.275
492	11:40:28	1.579	53.10	53.6	0.515	53.075
493	11:40:34	1.579	54.20	54.7	0.515	54.175
494	11:40:40	1.579	55.70	56.2	0.515	55.675
495	11:40:46	1.579	56.50	57.0	0.516	56.474
496	11:40:52	1.579	56.50	57.0	0.516	56.474
497	11:40:58	1.580	57.10	57.6	0.516	57.074

498	11:41:04	1.580	57.90	58.4	0.516	57.874
499	11:41:47	1.581	62.60	63.1	0.517	62.573
500	11:41:53	1.581	61.60	62.1	0.518	61.572
501	11:42:00	1.581	61.40	61.9	0.518	61.372
502	11:42:08	1.582	62.30	62.8	0.518	62.272
503	11:42:28	1.582	60.80	61.3	0.519	60.771
504	11:42:38	1.583	59.60	60.1	0.519	59.571
505	11:42:48	1.583	61.20	61.7	0.519	61.171
506	11:43:20	1.584	58.90	59.4	0.520	58.870
507	11:43:28	1.584	58.60	59.1	0.520	58.570
508	11:43:36	1.584	58.00	58.5	0.521	57.969
509	11:43:45	1.585	58.30	58.8	0.521	58.269
510	11:43:54	1.585	58.20	58.7	0.521	58.169
511	11:44:04	1.585	58.90	59.4	0.521	58.869
512	11:44:13	1.585	60.10	60.6	0.522	60.068
513	11:44:21	1.586	60.80	61.3	0.522	60.768
514	11:44:28	1.586	60.50	61.0	0.522	60.468
515	11:44:34	1.586	60.70	61.2	0.522	60.668
516	11:44:40	1.586	59.90	60.4	0.522	59.868
517	11:44:46	1.586	61.60	62.1	0.523	61.567
518	11:44:52	1.587	61.70	62.2	0.523	61.667
519	11:44:58	1.587	60.30	60.8	0.523	60.267
520	11:45:04	1.587	61.10	61.6	0.523	61.067
521	11:45:10	1.587	62.50	63.0	0.523	62.467
522	11:45:16	1.587	63.10	63.6	0.524	63.066
523	11:45:25	1.588	62.90	63.4	0.524	62.866
524	11:45:28	1.588	64.00	64.5	0.524	63.966
525	11:45:31	1.588	64.40	64.9	0.524	64.366
526	11:45:40	1.588	62.50	63.0	0.524	62.466
527	11:45:47	1.588	62.10	62.6	0.524	62.066
528	11:45:54	1.588	61.70	62.2	0.525	61.665
529	11:46:35	1.590	55.90	56.4	0.526	55.864
530	11:46:41	1.590	51.00	51.5	0.526	50.964
531	11:46:46	1.590	49.20	49.7	0.526	49.164
532	11:46:51	1.590	48.30	48.8	0.526	48.264
533	11:47:12	1.591	48.90	49.4	0.527	48.863
534	11:47:19	1.591	48.80	49.3	0.527	48.763
535	11:47:26	1.591	47.40	47.9	0.527	47.363
536	11:47:31	1.591	47.00	47.5	0.528	46.962
537	11:47:35	1.591	46.40	46.9	0.528	46.362
538	11:47:39	1.592	45.60	46.1	0.528	45.562
539	11:47:44	1.592	44.70	45.2	0.528	44.662
540	11:47:49	1.592	44.70	45.2	0.528	44.662
541	11:48:04	1.592	46.10	46.6	0.529	46.061
542	11:48:12	1.593	47.20	47.7	0.529	47.161
543	11:48:18	1.593	48.00	48.5	0.529	47.961

544	11:48:24	1.593	48.70	49.2	0.529	48.661
545	11:48:31	1.593	48.90	49.4	0.529	48.861
546	11:48:38	1.593	48.60	49.1	0.530	48.560
547	11:48:44	1.594	46.70	47.2	0.530	46.660
548	11:48:50	1.594	46.00	46.5	0.530	45.960
549	11:48:58	1.594	44.50	45.0	0.530	44.460
550	11:49:08	1.594	43.70	44.2	0.531	43.659
551	11:49:26	1.595	46.50	47.0	0.531	46.459
552	11:49:34	1.595	47.40	47.9	0.531	47.359
553	11:49:41	1.595	48.20	48.7	0.532	48.158
554	11:49:47	1.595	48.90	49.4	0.532	48.858
555	11:49:53	1.596	48.70	49.2	0.532	48.658
556	11:49:59	1.596	49.30	49.8	0.532	49.258
557	11:50:04	1.596	49.40	49.9	0.532	49.358
558	11:50:09	1.596	49.20	49.7	0.532	49.158
559	11:50:14	1.596	50.30	50.8	0.533	50.257
560	11:51:07	1.598	44.80	45.3	0.534	44.756
561	11:51:12	1.598	45.00	45.5	0.534	44.956
562	11:51:17	1.598	45.60	46.1	0.535	45.555
563	11:51:23	1.598	47.30	47.8	0.535	47.255
564	11:51:28	1.599	48.60	49.1	0.535	48.555
565	11:51:34	1.599	49.50	50.0	0.535	49.455
566	11:51:41	1.599	49.60	50.1	0.535	49.555
567	11:51:48	1.599	48.30	48.8	0.536	48.254
568	11:51:55	1.599	47.70	48.2	0.536	47.654
569	11:52:01	1.600	46.20	46.7	0.536	46.154
570	11:52:07	1.600	45.70	46.2	0.536	45.654
571	11:52:13	1.600	44.70	45.2	0.536	44.654
572	11:52:19	1.600	44.90	45.4	0.536	44.854
573	11:52:26	1.600	42.20	42.7	0.537	42.153
574	11:52:33	1.601	40.90	41.4	0.537	40.853
575	11:52:40	1.601	39.20	39.7	0.537	39.153
576	11:52:47	1.601	38.40	38.9	0.537	38.353
577	11:52:53	1.601	37.60	38.1	0.538	37.552
578	11:52:59	1.601	37.10	37.6	0.538	37.052
579	11:53:05	1.602	35.70	36.2	0.538	35.652
580	11:53:11	1.602	35.50	36.0	0.538	35.452
581	11:53:18	1.602	35.50	36.0	0.538	35.452
582	11:53:25	1.602	35.80	36.3	0.539	35.751
583	11:53:33	1.603	34.10	34.6	0.539	34.051
584	11:53:41	1.603	32.40	32.9	0.539	32.351
585	11:53:49	1.603	31.10	31.6	0.539	31.051
586	11:53:56	1.603	27.40	27.9	0.540	27.350
587	11:54:03	1.603	25.80	26.3	0.540	25.750
588	11:54:10	1.604	24.00	24.5	0.540	23.950
589	11:54:17	1.604	23.00	23.5	0.540	22.950

590	11:54:25	1.604	17.90	18.4	0.540	17.850
591	11:54:33	1.604	12.20	12.7	0.541	12.149
592	11:54:41	1.605	9.40	9.9	0.541	9.349
593	11:54:48	1.605	8.40	8.9	0.541	8.349
594	11:54:55	1.605	6.40	6.9	0.541	6.349
595	11:55:02	1.605	4.90	5.4	0.542	4.848
596	11:55:09	1.606	4.50	5.0	0.542	4.448
597	11:55:16	1.606	2.90	3.4	0.542	2.848
598	11:55:23	1.606	2.80	3.3	0.542	2.748
599	11:55:29	1.606	2.50	3.0	0.542	2.448
600	11:55:35	1.606	5.20	5.7	0.543	5.147
601	11:55:41	1.607	6.20	6.7	0.543	6.147
602	11:55:47	1.607	5.10	5.6	0.543	5.047
603	11:55:53	1.607	4.30	4.8	0.543	4.247
604	11:55:59	1.607	6.40	6.9	0.543	6.347
605	11:56:05	1.607	7.20	7.7	0.544	7.146
606	11:56:12	1.608	9.80	10.3	0.544	9.746
607	11:56:19	1.608	13.40	13.9	0.544	13.346
608	11:56:25	1.608	16.50	17.0	0.544	16.446
609	11:56:30	1.608	18.60	19.1	0.544	18.546
610	11:56:35	1.608	20.00	20.5	0.545	19.945
611	11:56:40	1.608	21.60	22.1	0.545	21.545
612	11:56:45	1.609	22.60	23.1	0.545	22.545
613	11:56:51	1.609	22.10	22.6	0.545	22.045
614	11:56:57	1.609	20.80	21.3	0.545	20.745
615	11:57:04	1.609	19.90	20.4	0.545	19.845
616	11:57:13	1.609	19.10	19.6	0.546	19.044
617	11:57:33	1.610	18.20	18.7	0.546	18.144
618	11:59:00	1.613	14.60	15.1	0.549	14.541
619	11:59:09	1.613	15.20	15.7	0.549	15.141
620	11:59:16	1.613	15.60	16.1	0.550	15.540
621	11:59:23	1.614	15.50	16.0	0.550	15.440
622	11:59:30	1.614	14.80	15.3	0.550	14.740
623	11:59:38	1.614	13.40	13.9	0.550	13.340
624	11:59:47	1.614	11.70	12.2	0.551	11.639
625	11:59:56	1.615	9.90	10.4	0.551	9.839
626	12:00:06	1.615	7.50	8.0	0.551	7.439
627	12:00:16	1.615	4.20	4.7	0.552	4.138
628	12:04:51	1.624	2.30	2.8	0.560	2.230
629	12:05:23	1.625	6.80	7.3	0.561	6.729
630	12:05:40	1.626	14.80	15.3	0.562	14.728
631	12:05:51	1.626	17.30	17.8	0.562	17.228
632	12:06:01	1.626	18.20	18.7	0.563	18.127
633	12:06:12	1.627	17.50	18.0	0.563	17.427
634	12:06:26	1.627	15.50	16.0	0.563	15.427
635	12:06:53	1.628	14.50	15.0	0.564	14.426

636	12:08:13	1.631	11.70	12.2	0.567	11.623
637	12:08:30	1.631	17.40	17.9	0.567	17.323
638	12:08:39	1.631	19.80	20.3	0.568	19.722
639	12:08:46	1.632	19.60	20.1	0.568	19.522
640	12:08:53	1.632	19.40	19.9	0.568	19.322
641	12:09:01	1.632	20.30	20.8	0.568	20.222
642	12:09:09	1.632	21.60	22.1	0.569	21.521
643	12:09:17	1.633	22.10	22.6	0.569	22.021
644	12:09:24	1.633	23.50	24.0	0.569	23.421
645	12:09:31	1.633	23.40	23.9	0.569	23.321
646	12:09:38	1.633	23.00	23.5	0.570	22.920
647	12:09:46	1.634	25.20	25.7	0.570	25.120
648	12:09:57	1.634	29.10	29.6	0.570	29.020
649	12:10:10	1.634	29.00	29.5	0.571	28.919
650	12:10:22	1.635	32.20	32.7	0.571	32.119
651	12:10:32	1.635	32.90	33.4	0.571	32.819
652	12:10:40	1.635	32.50	33.0	0.572	32.418
653	12:10:47	1.636	33.80	34.3	0.572	33.718
654	12:10:52	1.636	34.60	35.1	0.572	34.518
655	12:10:57	1.636	35.30	35.8	0.572	35.218
656	12:11:02	1.636	36.10	36.6	0.572	36.018
657	12:11:07	1.636	37.40	37.9	0.572	37.318
658	12:11:12	1.636	38.10	38.6	0.573	38.017
659	12:11:17	1.636	37.90	38.4	0.573	37.817
660	12:11:23	1.637	39.40	39.9	0.573	39.317
661	12:11:29	1.637	40.80	41.3	0.573	40.717
662	12:11:36	1.637	40.70	41.2	0.573	40.617
663	12:11:43	1.637	40.10	40.6	0.574	40.016
664	12:11:51	1.638	40.20	40.7	0.574	40.116
665	12:11:57	1.638	39.50	40.0	0.574	39.416
666	12:12:02	1.638	39.70	40.2	0.574	39.616
667	12:12:07	1.638	39.30	39.8	0.574	39.216
668	12:12:11	1.638	40.70	41.2	0.575	40.615
669	12:12:15	1.638	40.10	40.6	0.575	40.015
670	12:12:19	1.638	43.40	43.9	0.575	43.315
671	12:12:24	1.639	42.10	42.6	0.575	42.015
672	12:12:29	1.639	42.10	42.6	0.575	42.015
673	12:12:35	1.639	40.60	41.1	0.575	40.515
674	12:12:40	1.639	33.30	33.8	0.575	33.215
675	12:12:44	1.639	29.00	29.5	0.576	28.914
676	12:12:48	1.639	28.10	28.6	0.576	28.014
677	12:12:53	1.640	28.10	28.6	0.576	28.014
678	12:12:58	1.640	27.60	28.1	0.576	27.514
679	12:13:04	1.640	27.20	27.7	0.576	27.114
680	12:13:09	1.640	25.80	26.3	0.576	25.714
681	12:13:13	1.640	26.60	27.1	0.577	26.513

682	12:13:17	1.640	17.30	17.8	0.577	17.213
683	12:13:21	1.640	16.80	17.3	0.577	16.713
684	12:13:25	1.641	19.40	19.9	0.577	19.313
685	12:13:30	1.641	16.10	16.6	0.577	16.013
686	12:13:35	1.641	12.60	13.1	0.577	12.513
687	12:13:41	1.641	9.50	10.0	0.577	9.413
688	12:13:47	1.641	6.80	7.3	0.578	6.712
689	12:13:52	1.641	5.20	5.7	0.578	5.112
690	12:13:56	1.642	4.00	4.5	0.578	3.912
691	12:14:00	1.642	3.90	4.4	0.578	3.812
692	12:14:04	1.642	2.60	3.1	0.578	2.512
693	12:14:48	1.643	26.50	27.0	0.580	26.410
694	12:14:52	1.643	26.90	27.4	0.580	26.810
695	12:14:56	1.644	28.70	29.2	0.580	28.610
696	12:15:00	1.644	29.00	29.5	0.580	28.910
697	12:15:04	1.644	29.80	30.3	0.580	29.710
698	12:15:08	1.644	30.40	30.9	0.580	30.310
699	12:15:12	1.644	29.50	30.0	0.580	29.410
700	12:15:16	1.644	32.20	32.7	0.580	32.110
701	12:15:20	1.644	30.70	31.2	0.581	30.609
702	12:15:24	1.644	32.40	32.9	0.581	32.309
703	12:15:28	1.645	29.90	30.4	0.581	29.809
704	12:15:32	1.645	29.30	29.8	0.581	29.209
705	12:15:36	1.645	31.50	32.0	0.581	31.409
706	12:15:40	1.645	19.60	20.1	0.581	19.509
707	12:15:44	1.645	22.60	23.1	0.581	22.509
708	12:15:48	1.645	24.30	24.8	0.581	24.209
709	12:15:52	1.645	26.10	26.6	0.582	26.008
710	12:15:56	1.645	26.00	26.5	0.582	25.908
711	12:16:01	1.646	24.70	25.2	0.582	24.608
712	12:16:06	1.646	21.50	22.0	0.582	21.408
713	12:16:11	1.646	21.50	22.0	0.582	21.408
714	12:16:16	1.646	21.10	21.6	0.582	21.008
715	12:16:21	1.646	22.30	22.8	0.583	22.207
716	12:16:25	1.646	20.90	21.4	0.583	20.807
717	12:16:28	1.646	21.70	22.2	0.583	21.607
718	12:16:31	1.647	22.00	22.5	0.583	21.907
719	12:16:34	1.647	22.00	22.5	0.583	21.907
720	12:17:02	1.648	17.80	18.3	0.584	17.706
721	12:17:07	1.648	16.00	16.5	0.584	15.906
722	12:17:12	1.648	15.60	16.1	0.584	15.506
723	12:17:17	1.648	14.90	15.4	0.584	14.806
724	12:17:22	1.648	14.80	15.3	0.584	14.706
725	12:17:27	1.648	15.10	15.6	0.585	15.005
726	12:17:32	1.649	16.30	16.8	0.585	16.205
727	12:17:38	1.649	18.10	18.6	0.585	18.005

728	12:17:44	1.649	17.90	18.4	0.585	17.805
729	12:17:51	1.649	17.80	18.3	0.585	17.705
730	12:17:59	1.649	17.80	18.3	0.586	17.704
731	12:18:08	1.650	18.00	18.5	0.586	17.904
732	12:18:17	1.650	18.90	19.4	0.586	18.804
733	12:18:22	1.650	18.80	19.3	0.586	18.704
734	12:18:27	1.650	18.10	18.6	0.587	18.003
735	12:18:32	1.650	17.00	17.5	0.587	16.903
736	12:18:37	1.651	15.50	16.0	0.587	15.403
737	12:18:42	1.651	12.80	13.3	0.587	12.703
738	12:18:47	1.651	11.70	12.2	0.587	11.603
739	12:18:52	1.651	11.40	11.9	0.587	11.303
740	12:18:57	1.651	11.60	12.1	0.588	11.502
741	12:19:01	1.651	11.80	12.3	0.588	11.702
742	12:19:06	1.651	11.30	11.8	0.588	11.202
743	12:19:11	1.652	11.20	11.7	0.588	11.102
744	12:19:17	1.652	11.20	11.7	0.588	11.102
745	12:19:23	1.652	9.80	10.3	0.588	9.702
746	12:19:30	1.652	9.80	10.3	0.589	9.701
747	12:19:38	1.653	11.40	11.9	0.589	11.301
748	12:19:47	1.653	17.50	18.0	0.589	17.401
749	12:19:57	1.653	17.50	18.0	0.589	17.401
750	12:20:08	1.653	18.80	19.3	0.590	18.700
751	12:20:18	1.654	5.40	5.9	0.590	5.300
752	12:20:26	1.654	5.30	5.8	0.590	5.200
753	12:20:33	1.654	6.80	7.3	0.591	6.699
754	12:20:40	1.654	9.10	9.6	0.591	8.999
755	12:20:47	1.655	11.30	11.8	0.591	11.199
756	12:20:54	1.655	13.50	14.0	0.591	13.399
757	12:21:01	1.655	16.40	16.9	0.591	16.299
758	12:21:08	1.655	19.00	19.5	0.592	18.898
759	12:21:15	1.656	20.20	20.7	0.592	20.098
760	12:21:22	1.656	19.20	19.7	0.592	19.098
761	12:21:29	1.656	20.40	20.9	0.592	20.298
762	12:21:36	1.656	19.70	20.2	0.593	19.597
763	12:21:43	1.656	19.00	19.5	0.593	18.897
764	12:21:50	1.657	17.60	18.1	0.593	17.497
765	12:21:57	1.657	16.00	16.5	0.593	15.897
766	12:22:04	1.657	14.20	14.7	0.593	14.097
767	12:23:34	1.660	17.80	18.3	0.596	17.694
768	12:24:03	1.661	18.40	18.9	0.597	18.293
769	12:24:25	1.662	19.60	20.1	0.598	19.492
770	12:24:30	1.662	20.20	20.7	0.598	20.092
771	12:24:35	1.662	20.70	21.2	0.598	20.592
772	12:24:40	1.662	20.50	21.0	0.598	20.392
773	12:27:00	1.666	14.90	15.4	0.603	14.787

774	12:30:40	1.673	21.10	21.6	0.609	20.981
775	12:30:43	1.673	15.40	15.9	0.609	15.281
776	12:30:46	1.673	15.50	16.0	0.610	15.380
777	12:30:48	1.673	21.40	21.9	0.610	21.280
778	12:30:59	1.674	21.80	22.3	0.610	21.680
779	12:31:16	1.674	21.40	21.9	0.610	21.280
780	12:31:31	1.675	21.20	21.7	0.611	21.079
781	12:31:45	1.675	20.80	21.3	0.611	20.679
782	12:31:56	1.675	20.40	20.9	0.612	20.278
783	12:32:05	1.676	19.10	19.6	0.612	18.978
784	12:32:14	1.676	18.00	18.5	0.612	17.878
785	12:32:22	1.676	18.10	18.6	0.612	17.978
786	12:32:30	1.676	17.70	18.2	0.613	17.577
787	12:32:38	1.677	17.80	18.3	0.613	17.677
788	12:33:10	1.678	15.40	15.9	0.614	15.276
789	12:33:20	1.678	14.60	15.1	0.614	14.476
790	12:33:30	1.678	13.70	14.2	0.614	13.576
791	12:33:41	1.678	12.90	13.4	0.615	12.775
792	12:33:52	1.679	13.00	13.5	0.615	12.875
793	12:34:04	1.679	12.30	12.8	0.615	12.175
794	12:34:18	1.680	3.70	4.2	0.616	3.574
795	12:34:38	1.680	3.90	4.4	0.616	3.774
796	12:35:48	1.682	10.50	11.0	0.618	10.372
797	12:35:53	1.682	11.00	11.5	0.619	10.871
798	12:35:58	1.682	10.80	11.3	0.619	10.671
799	12:36:03	1.683	11.80	12.3	0.619	11.671
800	12:36:09	1.683	14.30	14.8	0.619	14.171
801	12:36:16	1.683	14.20	14.7	0.619	14.071
802	12:36:24	1.683	15.10	15.6	0.619	14.971
803	12:36:35	1.684	9.00	9.5	0.620	8.870
804	12:36:51	1.684	1.30	1.8	0.620	1.170
805	12:38:51	1.687	1.10	1.6	0.624	0.966
806	12:39:03	1.688	0.80	1.3	0.624	0.666
807	12:39:14	1.688	0.80	1.3	0.624	0.666
808	12:41:13	1.691	7.80	8.3	0.628	7.662
809	12:41:21	1.692	12.90	13.4	0.628	12.762
810	12:41:29	1.692	15.90	16.4	0.628	15.762
811	12:41:38	1.692	15.60	16.1	0.628	15.462
812	12:41:47	1.692	15.30	15.8	0.629	15.161
813	12:41:58	1.693	16.80	17.3	0.629	16.661
814	12:42:13	1.693	16.80	17.3	0.629	16.661
815	12:42:27	1.693	17.60	18.1	0.630	17.460
816	12:42:36	1.694	19.00	19.5	0.630	18.860
817	12:42:43	1.694	18.60	19.1	0.630	18.460
818	12:42:49	1.694	18.50	19.0	0.630	18.360
819	12:42:55	1.694	19.50	20.0	0.630	19.360

820	12:43:01	1.694	21.00	21.5	0.631	20.859
821	12:43:06	1.694	19.30	19.8	0.631	19.159
822	12:43:11	1.695	17.50	18.0	0.631	17.359
823	12:43:16	1.695	18.20	18.7	0.631	18.059
824	12:43:21	1.695	19.30	19.8	0.631	19.159
825	12:43:26	1.695	20.30	20.8	0.631	20.159
826	12:43:31	1.695	21.30	21.8	0.631	21.159
827	12:43:36	1.695	21.90	22.4	0.632	21.758
828	12:43:41	1.695	23.40	23.9	0.632	23.258
829	12:43:46	1.696	24.20	24.7	0.632	24.058
830	12:43:52	1.696	25.10	25.6	0.632	24.958
831	12:43:59	1.696	22.70	23.2	0.632	22.558
832	12:44:06	1.696	24.20	24.7	0.632	24.058
833	12:44:14	1.696	20.50	21.0	0.633	20.357
834	12:44:22	1.697	16.70	17.2	0.633	16.557
835	12:44:30	1.697	17.20	17.7	0.633	17.057
836	12:44:37	1.697	16.30	16.8	0.633	16.157
837	12:44:44	1.697	12.80	13.3	0.633	12.657
838	12:44:50	1.697	12.90	13.4	0.634	12.756
839	12:44:56	1.697	13.30	13.8	0.634	13.156
840	12:45:02	1.698	15.20	15.7	0.634	15.056
841	12:45:08	1.698	15.20	15.7	0.634	15.056
842	12:45:14	1.698	16.00	16.5	0.634	15.856
843	12:45:20	1.698	17.50	18.0	0.634	17.356
844	12:45:26	1.698	18.90	19.4	0.635	18.755
845	12:45:32	1.698	19.40	19.9	0.635	19.255
846	12:45:38	1.699	18.10	18.6	0.635	17.955
847	12:45:45	1.699	17.90	18.4	0.635	17.755
848	12:45:52	1.699	17.40	17.9	0.635	17.255
849	12:46:00	1.699	16.60	17.1	0.635	16.455
850	12:46:08	1.699	15.40	15.9	0.636	15.254
851	12:46:15	1.700	15.40	15.9	0.636	15.254
852	12:46:22	1.700	15.50	16.0	0.636	15.354
853	12:46:29	1.700	15.10	15.6	0.636	14.954
854	12:46:36	1.700	14.30	14.8	0.636	14.154
855	12:46:43	1.700	14.20	14.7	0.637	14.053
856	12:46:51	1.700	14.30	14.8	0.637	14.153
857	12:47:00	1.701	13.90	14.4	0.637	13.753
858	12:47:05	1.701	15.30	15.8	0.637	15.153
859	12:47:09	1.701	16.80	17.3	0.637	16.653
860	12:47:13	1.701	18.00	18.5	0.637	17.853
861	12:47:17	1.701	19.00	19.5	0.637	18.853
862	12:47:21	1.701	18.50	19.0	0.638	18.352
863	12:47:26	1.701	17.70	18.2	0.638	17.552
864	12:47:32	1.702	19.50	20.0	0.638	19.352
865	12:47:39	1.702	18.10	18.6	0.638	17.952

866	12:47:47	1.702	18.10	18.6	0.638	17.952
-----	----------	-------	-------	------	-------	--------